

**GODIŠNJA PROVJERA  
AUTOMATSKIH MJERNIH SUSTAVA  
ZA KONTINUIRANO MJERENJE  
EMISIJA U ZRAK TE PLOMIN 2**



**Zagreb, 2024.**





**EKONERG - Institut za energetiku i zaštitu okoliša, d.o.o.**

Koranska 5, Zagreb, tel. 01/6000-111

Naručitelj:

**HEP PROIZVODNJA d.o.o.**

Sektor za termoelektrane

Pogon TE Plomin

Plomin luka 50

52234 Plomin Luka

Radni nalog:

I-02-2218\_28

Naslov:

**GODIŠNJA PROVJERA AUTOMATSKIH MJERNIH SUSTAVA  
ZA KONTINUIRANO MJERENJE EMISIJA U ZRAK TE PLOMIN 2**

Ispitivanja proveli:

Andrej Slavica, mag. ing. mech.

Borna Glückselig, mag. ing. agr.

Darko Glückselig, teh.

Antonije Škvorić, teh.

Obrada rezultata mjerena:

Andrej Slavica, mag. ing. mech.

Direktor odjela za mjerena i analitiku:

A handwritten signature in blue ink, appearing to read 'Bojan Abramović'.

Bojan Abramović, dipl. ing.

Direktor:

A handwritten signature in blue ink, appearing to read 'Elvis Cukor'.

Elvis Cukor, dipl. ing. stroj., MBA

Zagreb, 31. listopad 2024.



## **SADRŽAJ**

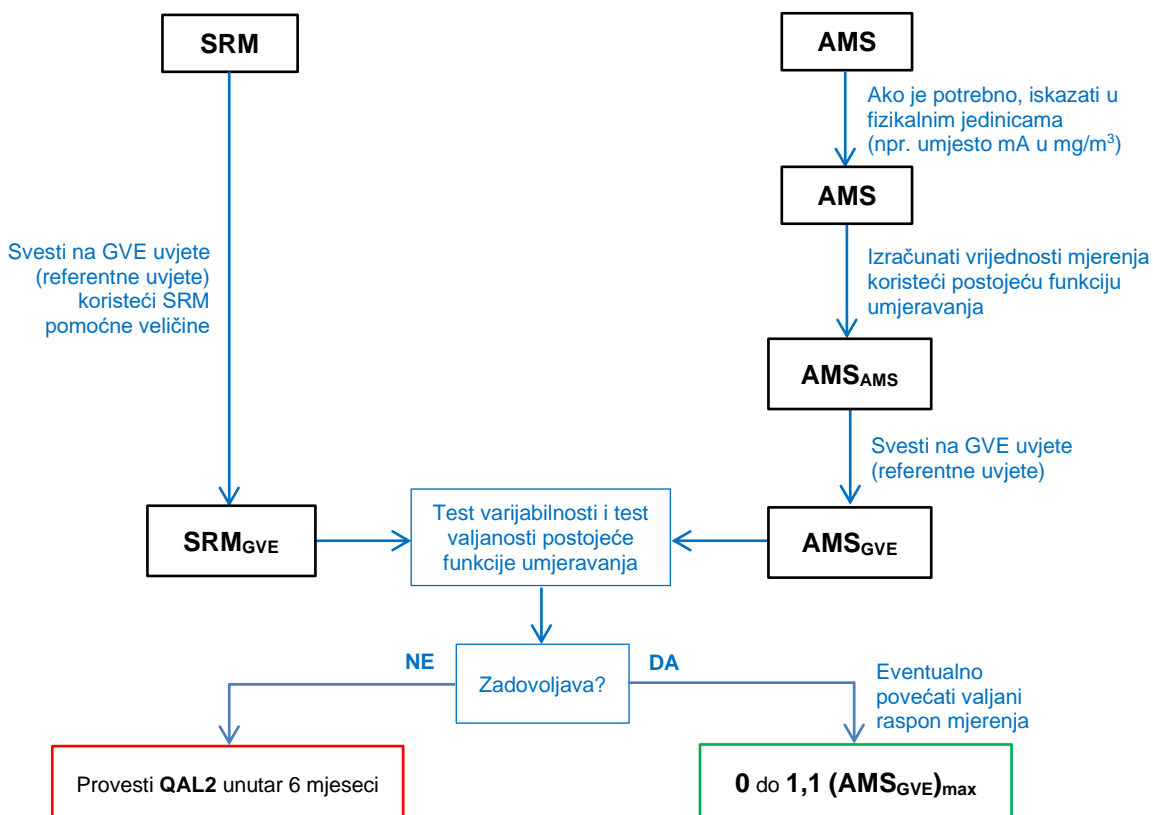
<b>1. UVOD .....</b>	<b>2</b>
<b>2. AUTOMATSKI MJERNI SUSTAVI .....</b>	<b>3</b>
<b>2.1. MJERNI UREĐAJI.....</b>	<b>5</b>
2.1.1. Mjerjenje temperature dimnih plinova Pt100 osjetnikom .....	5
2.1.2. Mjerjenje brzine uređajem DURAG D-FL 220.....	5
2.1.3. Mjerjenje emisije krutih čestica uređajem DURAG D-R 320.....	6
2.1.4. Mjerjenje CO, NO, SO <sub>2</sub> i O <sub>2</sub> analizatorom Siemens ULTRAMAT 23 .....	7
<b>2.2. AMS RAČUNALO .....</b>	<b>8</b>
<b>3. REZULTATI .....</b>	<b>9</b>
<b>3.1. MJERNI PRESJEK PRIJE REA .....</b>	<b>11</b>
3.1.1. Mjerjenje temperature uređajem Pt100.....	13
3.1.2. Mjerjenje O <sub>2</sub> uređajem Siemens ULTRAMAT 23 .....	14
3.1.3. Provjera konstante vlažnosti dimnih plinova .....	15
3.1.4. Mjerjenje emisije krutih čestica uređajem DURAG D-R 320.....	16
3.1.5. Mjerjenje brzine i protoka uređajem DURAG D-FL 220.....	17
3.1.6. Mjerjenje NO <sub>x</sub> uređajem Siemens ULTRAMAT 23 .....	18
3.1.7. Mjerjenje SO <sub>2</sub> uređajem Siemens ULTRAMAT 23.....	19
3.1.8. Mjerjenje CO uređajem Siemens ULTRAMAT 23.....	20
<b>3.2. MJERNI PRESJEK NAKON REA .....</b>	<b>21</b>
3.2.1. Mjerjenje temperature uređajem Pt100.....	22
3.2.2. Mjerjenje O <sub>2</sub> uređajem Siemens ULTRAMAT 23 .....	23
3.2.3. Provjera konstante vlažnosti dimnih plinova .....	24
3.2.4. Mjerjenje emisije krutih čestica uređajem DURAG D-R 320.....	25
3.2.5. Mjerjenje NO <sub>x</sub> uređajem Siemens ULTRAMAT 23 .....	26
3.2.6. Mjerjenje SO <sub>2</sub> uređajem Siemens ULTRAMAT 23.....	27
3.2.7. Mjerjenje CO uređajem Siemens ULTRAMAT 23.....	28
<b>4. ZAKLJUČAK.....</b>	<b>29</b>
<b>KRATICE I INDEKSI.....</b>	<b>31</b>
<b>POJMOVNIK.....</b>	<b>33</b>

## **PRILOG**

- A. L1-I-02-2218\_28/24 EKONERG - Laboratorij za mjerjenje emisija: Izvještaj o mjerenu emisija iz mjernih presjeka prije i nakon postrojenja za odsumporavanje dimnih plinova TE Plomin 2, 31. listopad 2024.

## 1. UVOD

Godišnja provjera uređaja automatskih mjernih sustava (AMS) za kontinuirano mjerjenje emisija u dimovodnim kanalima prije i nakon postrojenja za odsumporavanje dimnih plinova TE Plomin 2 (AMS prije REA i AMS nakon REA) provedena je prema postupku AST (engl. *Annual Surveillance Test*) norme HRN EN 14181:2014. Dijagram toka godišnje provjere (AST) dan je na sl. 1, a pregled AMS uređaja dan je u tab. 1 i tab. 2.



Sl. 1: Dijagram toka godišnje provjere AMS uređaja prema AST HRN EN 14181:2014

Tab. 1: Pregled AMS uređaja TE Plomin 2 - mjerni presjek prije postrojenja za odsumporavanje dimnih plinova (AMS prije REA)

Mjerena veličina	AMS uređaj
Vlažni plinovi (stanje u ispustu)	protok (brzina), $Q$ DURAG D-FL 220 (serijski broj: 1265313) DURAG D-FL 220 (serijski broj: 1291403) <sup>1)</sup>
	temperatura, $\vartheta$ termometar Pt100
	krute čestice, $PM$ DURAG D-R 320 (serijski broj: 1253255)
	vlažnost plinova, $H_2O$ konstanta (8,4 %) u algoritmu emisijskog računala DURAG D-EMS 2000
Suhi plinovi (normirano stanje)	ugljikov monoksid, $CO$
	dušikov monoksid, $NO$
	sumporov dioksid, $SO_2$
	kisik, $O_2$
ekstraktivni višekomponentni analizatorski sustav Siemens ULTRAMAT 23 (serijski broj: N1H9453)	

<sup>1)</sup> sekundarni uređaj za mjerjenje protoka (brzine) dimnih plinova

*Tab. 2: Pregled AMS uređaja TE Plomin 2 - mjerni presjek nakon postrojenja za odsumporavanje dimnih plinova (AMS nakon REA)*

Mjerena veličina		AMS uređaj
Vlažni plinovi (stanje u ispustu)	temperatura, $\vartheta$	termometar Pt100
	krute čestice, $PM$	DURAG D-R 320 (serijski broj: 1247031)
	vlažnost plinova, $H_2O$	konstanta (10 %) u algoritmu emisijskog računala DURAG D-EMS 2000
Suhi plinovi (normirano stanje)	ugljikov monoksid, $CO$	
	dušikov monoksid, $NO$	
	sumporov dioksid, $SO_2$	ekstraktivni višekomponentni analizatorski sustav Siemens ULTRAMAT 23 (serijski broj: N1K9381)
	kisik, $O_2$	

Kao što se vidi iz dijagrama toka na sl. 1, AST postupak (godišnja provjera) temelji se na usporedbi rezultata paralelnih mjerena između AMS uređaja i kontrolnih mjerena koja su provedena standardnim referentnim metodama (skraćeno SRM).

Kontrolna mjerena: volumnog udjela vodene pare u dimnim plinovima ( $H_2O$ , %), brzine dimnih plinova ( $v$ , m/s), temperature dimnih plinova ( $\vartheta$ , °C), masene koncentracije krutih čestica u dimnim plinovima ( $PM$ , mg/m<sup>3</sup>), volumnog udjela ugljičnog monoksida u suhim dimnim plinovima ( $CO$ , ppm), volumnog udjela dušikovih oksida u suhim dimnim plinovima ( $NO_x$ , ppm), volumnog udjela sumporovog dioksida u suhim dimnim plinovima ( $SO_2$ , ppm) i volumnog udjela kisika u suhim dimnim plinovima ( $O_2$ , %) proveo je *Laboratorij za mjerjenje emisija* tvrtke EKONERG d.o.o.

EKONERG d.o.o., *Odjel za mjerjenja i analitiku, Laboratorij za mjerjenje emisija* akreditirani je ispitni laboratorij prema normi HRN EN ISO/IEC 17025:2017 od strane *Hrvatske akreditacijske agencije* u području opisanom u prilogu *Potvrde o akreditaciji* br. 1194. Rješenjem *Ministarstva zaštite okoliša i energetike*<sup>1</sup> od 12. lipnja 2019. godine, EKONERG-u je dozvoljeno obavljanje provjere ispravnosti mjernih sustava za kontinuirano mjerjenje emisija onečišćujućih tvari u zrak iz nepokretnih izvora sukladno zahtjevima norme HRN EN 14181 za 10 referentnih metoda ([mingor.gov.hr](http://mingor.gov.hr)).

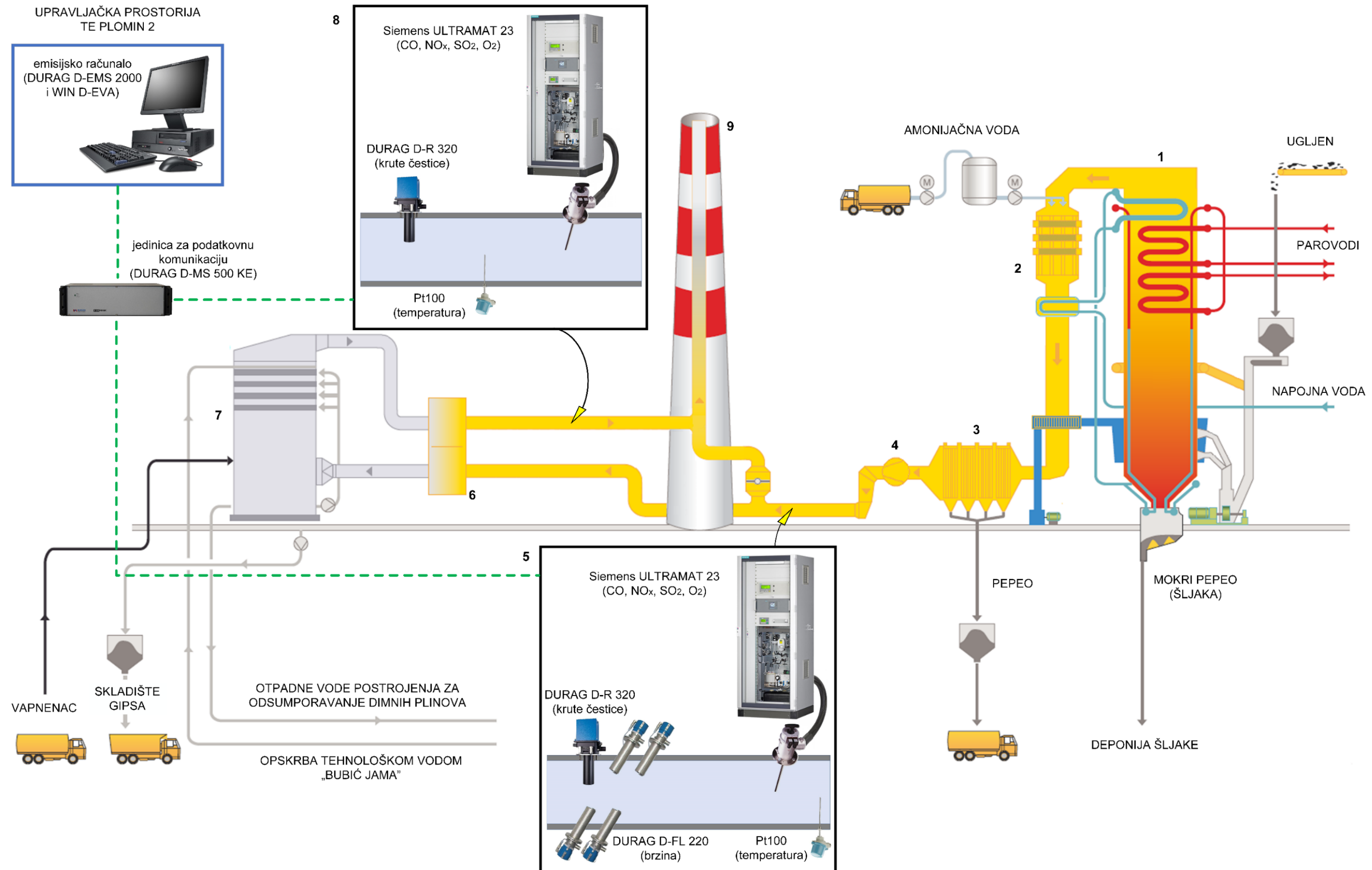
Opis postrojenja TE Plomin 2, tehničke značajke izvora emisija, primijenjene metode mjerena i korišteni kontrolni mjerni uređaji te rezultati kontrolnih mjerena dati su u izvještaju *Laboratorija za mjerjenje emisija u Prilogu A*. Sastavni dio izvještaja *Laboratorija za mjerjenje emisija* je i plan mjerena u kojem je opisan izgled mjernih mjesta, oblik i dimenzije mjernih presjeka, broj mjernih linija i raspored točaka mjerena po mjernoj ravnini svakog mjernog presjeka.

## 2. AUTOMATSKI MJERNI SUSTAVI

Automatski mjerni sustavi TE Plomin 2 obuhvaćaju uređaje za kontinuirano mjerjenje emisija u dimovodnim kanalima prije i nakon postrojenja za odsumporavanje dimnih plinova (njem. *Rauchgasentschwefelungsanlagen* - REA; tzv. **AMS prije REA** i **AMS nakon REA**).

Izmjereni signali AMS uređaja se putem sustava za prijenos i pretvorbu podataka proslijeđuju zajedničkom računalu koje je smješteno u upravljačkoj prostoriji TE Plomin 2 gdje se vrši obrada, prikaz, izvješćivanje i pohrana izmjerениh emisijskih veličina. Shematski prikaz parnog kotla TE Plomin 2, sustava odvodnje i obrade dimnih plinova te uređaja automatskih mjernih sustava dan je na sl. 2.

<sup>1</sup> Temeljem članka 34. i članka 35. Zakona o ustrojstvu i djelokrugu tijela državne uprave („Narodne novine“, broj 85/20), od 22. srpnja 2020. *Ministarstvo zaštite okoliša i energetike* nastavlja s radom kao *Ministarstvo gospodarstva i održivog razvoja*. Temeljem članka 15. Zakona o ustrojstvu i djelokrugu tijela državne uprave („Narodne novine“, broj 57/2024), od 16. svibnja 2024. *Ministarstvo zaštite okoliša i zelene tranzicije* preuzima poslove iz djelokruga dosadašnjeg *Ministarstva gospodarstva i održivog razvoja*.



Sl. 2: Shematski prikaz parnog kotla, sustava odvodnje i obrade dimnih plinova i uređaja automatskih mjernih sustava TE Plomin 2

1: parni kotao; 2: reaktor za selektivnu katalitičku redukciju dušikovih oksida (SCR DeNOx uređaj); 3: elektrostatski otprašivač; 4: ventilator dimnih plinova; 5: automatski mjerni sustav prije postrojenja za odсумпоравање димних плинова (AMS приje REA);  
6: regenerativni zagrijivač dimnih plinova (REGAVO); 7: postrojenje za odсумпоравање димних плинова (REA); 8: automatski mjerni sustav nakon postrojenja za odсумпоравање димних плинова (AMS nakon REA); 9: ispust Z1 dimnih plinova (dimnjak)

## 2.1. Mjerni uređaji

Za mjerjenje volumnih udjela plinovitih tvari u oba mjerna presjeka koristi se ekstraktivna metoda, dok se masena koncentracija krutih čestica, brzina i temperatura dimnih plinova mjeri izravno u dimovodnim kanalima (engl. *on site*, lat. *in-situ*). Postavke mjernih uređaja dane su tab. 3 i tab. 4.

Tab. 3: Postavke AMS uređaja prije REA (14. listopad 2024.)

Emisijska veličina	Proporcionalnost analognog signala 4 - 20 mA	Kalibracijski koeficijenti uređaja	Napomena
CO	0 - 1 000 mg/m <sub>n</sub> <sup>3</sup> sdp	-	
NO	0 - 2 000 mg/m <sub>n</sub> <sup>3</sup> sdp	-	
SO <sub>2</sub>	0 - 2 000 mg/m <sub>n</sub> <sup>3</sup> sdp	-	
O <sub>2</sub>	0 - 21 % <sub>sdp</sub>	-	
ϑ	0 - 200 °C	-	
PM	0 - 200 mg/m <sup>3</sup> isp	$a_0 = 0; a_1 = 0,00723$	$PM = a_0 + a_1 \cdot SL; SL = \text{engl. StrayLight}$
Q	0 - 1 500 000 m <sup>3</sup> isp/h	$a_0 = 0; a_1 = 1,0886; a_2 = 0; a_3 = 0$	$Q_{\text{cal}} = a_0 + a_1 \cdot Q + a_2 \cdot Q^2 + a_3 \cdot Q^3$
$Q_{\text{sekundarni}}$	-	-	Uređaj je bio neispravan.

Tab. 4: Postavke AMS uređaja nakon REA (14. listopad 2024.)

Emisijska veličina	Proporcionalnost analognog signala 4 - 20 mA	Kalibracijski koeficijenti uređaja	Napomena
CO	0 - 1 000 mg/m <sub>n</sub> <sup>3</sup> sdp	-	
NO	0 - 2 000 mg/m <sub>n</sub> <sup>3</sup> sdp	-	
SO <sub>2</sub>	0 - 2 000 mg/m <sub>n</sub> <sup>3</sup> sdp	-	
O <sub>2</sub>	0 - 21 % <sub>sdp</sub>	-	
ϑ	0 - 200 °C	-	
PM	0 - 200 mg/m <sup>3</sup> isp	$a_0 = 0; a_1 = 0,008$	$PM = a_0 + a_1 \cdot SL; SL = \text{engl. StrayLight}$

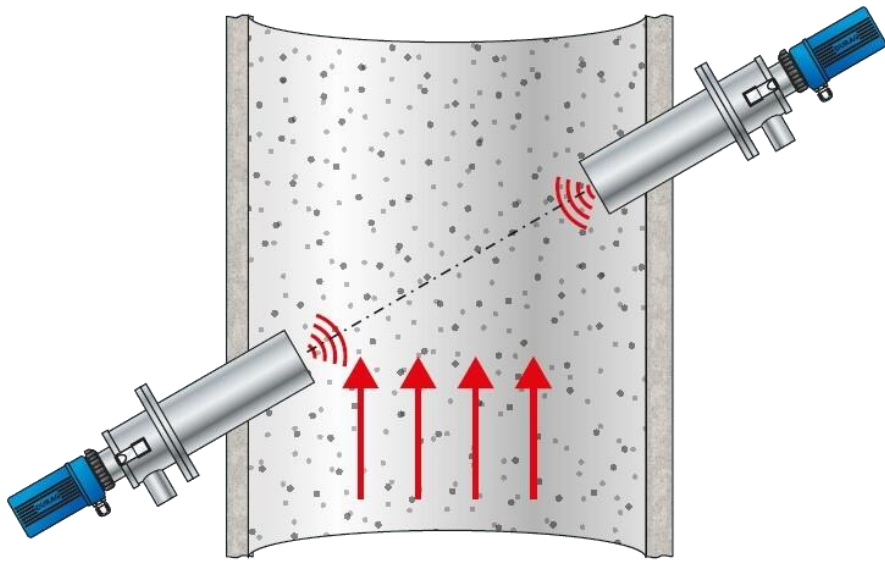
### 2.1.1. Mjerenje temperature dimnih plinova Pt100 osjetnikom

Mjerenje temperature dimnih plinova vrši se u dimovodnim kanalima prije i nakon postrojenja za odsumporavanje dimnih plinova (AMS prije REA i AMS nakon REA) otpornim termometrima Pt100.

Metoda mjerjenja temperature otpornim termometrom zasniva se na fizikalnom svojstvu promjene električnog otpora metala (platina, od tuda oznaka Pt) s temperaturom. Kod temperature 0 °C otporni termometar tipa Pt100 ima električni otpor 100 Ω. Kroz otporni termometar se provodi konstantna električna struja koja generira pad napona ovisan o otporu, a time i o temperaturi. Mjerenjem naponskog signala za poznatu struju izračunava se otpor, odnosno temperatura. Kako se uslijed prolaska električne struje kroz osjetnik razvija Jouleova toplina, dolazi do povišenja temperature samog otpornog elementa zbog čega je temperatura koja se detektira osjetnikom veća od stvarne temperature medija. Greška uslijed samozagrijavanja ovisi o izvedbi otpornog osjetnika (klasi), a može se kretati od zanemarivih vrijednosti pa do 1 °C.

### 2.1.2. Mjerenje brzine uređajem DURAG D-FL 220

Mjerenje brzine (protoka) dimnih plinova vrši se u dimovodnom kanalu prije postrojenja za odsumporavanje dimnih plinova (AMS prije REA) ultrazvučnim neekstraktivnim (lat. *in-situ*) uređajem DURAG D-FL 220 koji je shematski prikazan na sl. 3. Na istom segmentu dimovodnog kanala ugrađen je još jedan DURAG D-FL 220 koji služi kao sekundarni (rezervni) uređaj za mjerjenje brzine (protoka) dimnih plinova.



Sl. 3: Shematski prikaz principa mjerena brzine uređajem DURAG D-FL 220

Uređaj se u ispust uobičajeno postavlja pod kutom od  $45^\circ$  u odnosu na smjer strujanja. Sonda mjernog uređaja sadrži dva nasuprotno postavljena piezoelektrička ultrazvučna elementa koji imaju funkciju odašiljača (odašilje ultrazvučni val kroz ispust prema nasuprotno smještenom prijemniku) i prijemnika (detektira ultrazvučni val koji kroz ispust odašilje nasuprotno smješteni odašiljač).

Ultrazvučni val koji je odaslan u smjeru strujanja ima veću brzinu od ultrazvučnog vala koji je odaslan suprotno smjeru strujanja u ispustu. Kako je put koji odaslan ultrazvučni val prijeđe u oba slučaja isti (razmak između piezoelektričkih ultrazvučnih elemenata), val koji je odaslan u smjeru strujanja će taj put prijeći za kraće vrijeme (engl. *downstream time of flight*) u odnosu na val koji je odaslan suprotno smjeru strujanja (engl. *upstream time of flight*). Brzina strujanja u ispustu je proporcionalna razlici tih vremena, a računa se prema sljedećem izrazu:

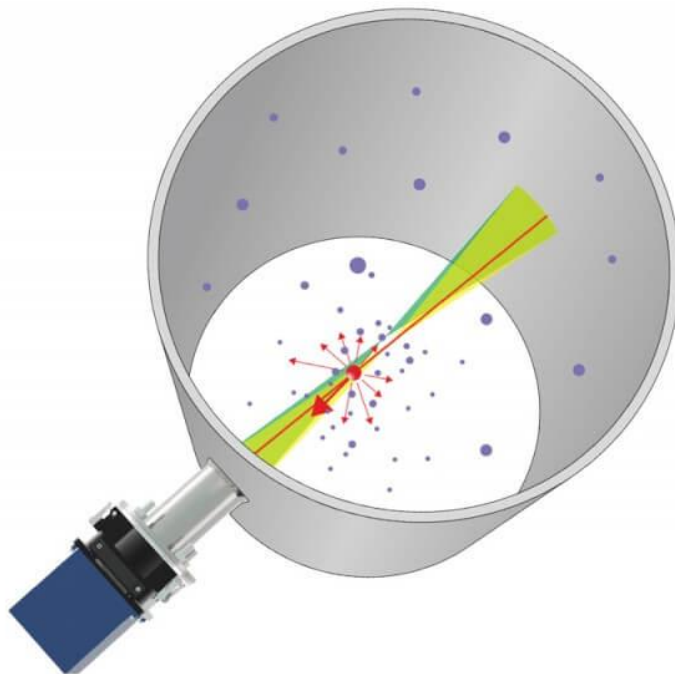
$$v = \frac{L}{2 \cdot \cos \alpha} \cdot \frac{t_u - t_d}{t_u \cdot t_d}, \quad (1)$$

gdje je:

- $v$ , m/s; brzina strujanja u ispustu,
- $L$ , m; razmak između piezoelektričkih ultrazvučnih elemenata,
- $\alpha$ , °; postavni kut sonde (kut između osi sonde i uzdužne osi ispusta),
- $t_u$ , s; vrijeme (mjereno uređajem) potrebno da ultrazvuk prevali put između ultrazvučnih elemenata u smjeru suprotnom od strujanja dimnih plinova,
- $t_d$ , s; vrijeme (mjereno uređajem) potrebno da ultrazvuk prevali put između ultrazvučnih elemenata u smjeru strujanja dimnih plinova.

### 2.1.3. Mjerenje emisije krutih čestica uređajem DURAG D-R 320

Mjerenje masene koncentracije krutih čestica vrši se u dimovodnim kanalima prije i nakon postrojenja za odsumporavanje dimnih plinova (AMS prije REA i AMS nakon REA) optičkim neekstraktivnim (lat. *in-situ*) uređajima DURAG D-R 320 koji je shematski prikazan na sl. 4.



Sl. 4 Optički uređaj DURAG D-R 320 za mjerjenje masene koncentracije krutih čestica

Princip rada uređaja je sljedeći: odašiljač odašilje zraku monokromatske crvene svjetlosti u tok dimnih plinova gdje zraka osvjetjava čestice prašine u mjernom volumenu dimnih plinova. Svjetlost se raspršuje na česticama te također stvara i neželjenu pozadinsku svjetlost nastalu refleksijom od plašta ispusta. Raspršena i pozadinska svjetlost detektiraju se u polovici integriranog dvojnog detektora. Istodobno, druga polovica detektora prima samo pozadinsku svjetlost iz istog područja mjernog volumena. Nakon oduzimanja pozadinske svjetlosti od ukupnog signala preostaje samo raspršeno svjetlo proporcionalno koncentraciji čestica u mjernom volumenu (Bouguerov ili Lambert-Beerov zakon apsorpcije). Zbog automatske kompenzacije pozadinskog svjetla nije potreban apsorber. Kako oba dijela integriranog dvostrukog detektora dijele iste optičke jedinice, nije potrebno niti usklađivanje optičkih putova.

#### 2.1.4. Mjerjenje CO, NO, SO<sub>2</sub> i O<sub>2</sub> analizatorom Siemens ULTRAMAT 23

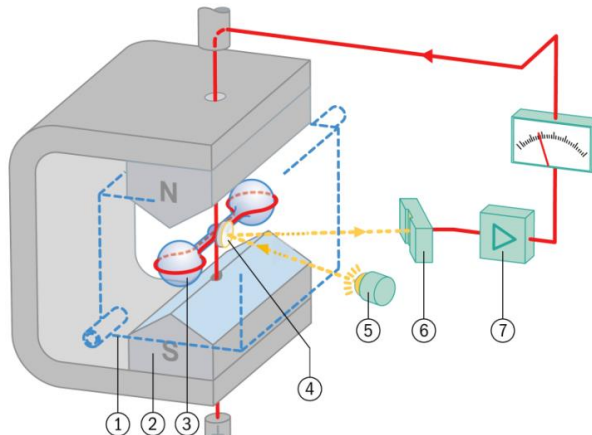
Mjerjenje volumnih udjela  $CO$ ,  $NO$  ( $NO_x$  kao  $NO$ ),  $SO_2$  i  $O_2$  u suhim dimnim plinovima uzorkovanih prije i nakon postrojenja za odsumporavanje dimnih plinova (AMS prije REA i AMS nakon REA) vrši se pomoću višekomponentnih analizatora ekstraktivnog tipa Siemens ULTRAMAT 23 koji je prikazan na sl. 5.



Sl. 5: Siemens ULTRAMAT 23

Siemens ULTRAMAT 23 mjeri volumne udjele  $CO$ ,  $NO$  i  $SO_2$  metodom ne-disperzivne infracrvene apsorpcije (engl. *Non-Dispersive Infra-Red - NDIR*). NDIR metoda se zasniva na pojavi da molekule plinova sastavljene od različitih atoma apsorbiraju infracrveno zračenje različitih valnih duljina.

Molekule kisika ne apsorbiraju infracrveno zračenje jer se sastoje od istih atoma te se za mjerjenje volumnog udjela  $O_2$  u modulu Siemens ULTRAMAT 23 koristi paramagnetska metoda koja je shematski prikazana na sl. 6. Propuštanjem dimnih plinova kroz magnetsko polje koje se mijenja zbog paramagnetskih svojstava kisika rezultira zakretanjem dijamagnetskog<sup>2</sup> utega (dvije šuplje sfere na sl. 6). Uređaj optičko-elektronički kompenzira zakret utega, a mjerljivi napor kompenzacije je proporcionalan koncentraciji  $O_2$ .



Sl. 6: Modul s paramagnetskom metodom mjerena  $O_2$

- 1: merna čelija;
- 2: magnetsko polje;
- 3: ovješeni dijamagnetski uteg;
- 4: zrcalo;
- 5: izvor svjetlosti;
- 6: detektor;
- 7: kompenzaciski pojačalo

## 2.2. AMS RAČUNALO

Mjerni uređaji oba mjerna sustava povezani su analognom vezom (putem jedinice za podatkovnu komunikaciju DURAG D-MS 500 KE) sa zajedničkim AMS računalom (emisijsko računalo s programom DURAG D-EMS 2000 i WIN D-EVA).

AMS računalo s programom DURAG D-EMS 2000 služi za obradu, prikaz, izvješćivanje i pohranu izmjerениh emisijskih veličina. Kako je svaki analogni strujni signal (4 mA - 20 mA) izmjereni veličina ( $CO$ ,  $NO$ ,  $SO_2$ ,  $O_2$ ,  $Q$ ,  $PM$  i  $\vartheta$ ) lineariziran, to znači da su i digitalni signali ovih veličina također linearni. Stoga za izračun tzv. „sirovih“ fizičkih veličina računalo koristi jednadžbe pravca (tzv. regresijske pravce) koji se određuju umjeravanjem. Računalo vrši preračun „sirovih“ fizičkih emisijskih veličina na referentne uvjete koji odgovaraju volumenu suhih plinova ( $H_2O = 0\%$ ) kod referentnog sadržaja kisika ( $O_2 = 6\%$ ) pri  $0\text{ }^{\circ}\text{C}$  i  $1013,25\text{ hPa}$ . Računalo potom računa tzv. provjerene vrijednosti emisija tako što od važećih<sup>3</sup> vrijednosti emisija svedenih na referentne uvjete oduzme mjernu nesigurnost. Ovako izračunate provjerene srednje satne vrijednosti se uspoređuju s graničnim vrijednostima emisija (GVE). Postavke algoritma za izračun emisijskih veličina dane su u tab. 5. Tumač oznaka mjernih jedinica (npr.  $\%_{sdp}$ ,  $m^3_{isp}$ ) dan je u poglavljju KRATICE I INDEKSI.

<sup>2</sup> Dijamagnetične tvari u vanjskom magnetskom polju formiraju kružno gibanje elektrona oko jezgre što rezultira magnetskim poljem suprotnim vanjskom magnetskom polju. Stoga magnetsko polje odbija dijamagnetične tvari.

<sup>3</sup> Izuzimaju se vrijednosti izmjerene tijekom upuštanja u rad i prestanka rada postrojenja.

Tab. 5: Izračun emisijskih veličina u algoritmu emisijskog računala (14. listopad 2024.)

Mjerni sustav	Mjerena veličina	Proporcionalnost analognog signala 4 - 20 mA	Izračun mjerene („sirove“) vrijednosti	Korekcijski koeficijenti za svođenje na referentne (GVE) uvjete		
				$k_{O_2}$	$k_{H_2O}$	$k_\vartheta$
AMS prije REA	CO	0 - 1 000 mg/m <sup>3</sup> <sub>sdp</sub>	CO = 62,5 · (mA) - 250	DA	-	-
	NO	0 - 2 150 mg/m <sup>3</sup> <sub>sdp</sub>	NO = 134,3625 · (mA) - 537,45	-	-	-
	NO <sub>x</sub>	-	NO <sub>x</sub> = NO · 1,53	DA	-	-
	SO <sub>2</sub>	0 - 2 149 mg/m <sup>3</sup> <sub>sdp</sub>	SO <sub>2</sub> = 134,2875 · (mA) - 537,15	DA	-	-
	O <sub>2</sub>	0 - 21 % <sub>sdp</sub>	O <sub>2</sub> = 1,3125 · (mA) - 5,25	-	-	-
	ϑ	0 - 200 °C	ϑ = 12,5 · (mA) - 50	-	-	-
	PM	0 - 200 mg/m <sup>3</sup> <sub>isp</sub>	PM = 12,5 · (mA) - 50	DA	DA	DA
	Q	0 - 1 500 000 m <sup>3</sup> <sub>isp</sub> /h	Q = 93 750 · (mA) - 375 000	DA	DA	DA
	H <sub>2</sub> O	-	H <sub>2</sub> O = 8,4 %	-	-	-
AMS nakon REA	CO	0 - 1 000 mg/m <sup>3</sup> <sub>sdp</sub>	CO = 62,5 · (mA) - 250	DA	-	-
	NO	0 - 2 000 mg/m <sup>3</sup> <sub>sdp</sub>	NO = 125 · (mA) - 500	-	-	-
	NO <sub>x</sub>	-	NO <sub>x</sub> = NO · 1,53	DA	-	-
	SO <sub>2</sub>	0 - 2 832 mg/m <sup>3</sup> <sub>sdp</sub>	SO <sub>2</sub> = 176,975 · (mA) - 707,9	DA	-	-
	O <sub>2</sub>	0 - 21 % <sub>sdp</sub>	O <sub>2</sub> = 1,3125 · (mA) - 5,25	-	-	-
	ϑ	0 - 200 °C	ϑ = 12,5 · (mA) - 50	-	-	-
	PM	0 - 200 mg/m <sup>3</sup> <sub>isp</sub>	PM = 12,5 · (mA) - 50	DA	DA	DA
	H <sub>2</sub> O	-	H <sub>2</sub> O = 10 %	-	-	-

**OZNAKE UZ KOREKCIJSKE KOEFICIJENTE**

DA: korekcijski koeficijent se koristi i treba ga koristiti,

NE: korekcijski koeficijent se ne koristi i treba ga koristiti,

- : korekcijski koeficijent se ne koristi i ne treba ga koristiti.

Preračun koncentracija plinovitih onečišćujućih tvari (CO, NO<sub>x</sub> i SO<sub>2</sub>) na referentne uvjete vrši se množenjem izmjerene („sirove“) vrijednosti s korekcijskim koeficijentom  $k_{O_2}$ . Preračun koncentracije krutih čestica (PM) na referentne uvjete vrši se množenjem izmjerene vrijednosti s koeficijentima  $k_\vartheta$ ,  $k_{H_2O}$  i  $k_{O_2}$ , a preračun protoka dimnih plinova (Q) na referentne uvjete vrši se dijeljenjem izmjerene vrijednosti s koeficijentima  $k_\vartheta$ ,  $k_{H_2O}$  i  $k_{O_2}$ . Pri tome se korekcijski koeficijenti računaju na sljedeći način:

$$k_{O_2} = \frac{21 \% - 6 \%}{21 \% - O_2}; \quad k_{H_2O} = \frac{100 \%}{100 \% - H_2O}; \quad k_\vartheta = \frac{\vartheta + 273,15}{273,15}, \quad (2)$$

gdje je:

O<sub>2</sub>; %; mjereni volumni udio kisika u suhim dimnim plinovima,H<sub>2</sub>O; %; volumni udio vodene pare (vlage) u vlažnim dimnim plinovima,

ϑ; °C; temperatura dimnih plinova.

### 3. REZULTATI

Godišnja provjera (AST) temelji se na rezultatima paralelnih mjeranja, a utvrđuje ispravnost mjerjenja AMS uređaja prema rezultatima testa valjanosti regresijskog pravca određenog tijekom umjeravanja i testa varijabilnosti.

*Uredbom o graničnim vrijednostima emisija onečišćujućih tvari u zrak iz nepokretnih izvora (NN 42/2021), odnosno Direktivi 2010/75/EU od 24. studenog 2010. o industrijskim emisijama (integrirano sprečavanje i kontrola onečišćenja) propisane su polovine dvostranih 95 %-tih intervala pouzdanosti AMS uređaja koje su iskazane kao postotci (P) od graničnih vrijednosti emisija (GVE).*

Kako je mjerna nesigurnost polovina ukupnog intervala pouzdanosti ( $I$ ), tada se propisana standardna devijacija  $\sigma_0$  računa na sljedeći način:

$$\sigma_0 = \frac{I}{2 \cdot 1,96} = \frac{P \cdot GVE}{1,96}. \quad (3)$$

$GVE$  i mjerna nesigurnost  $\sigma_0$  iskazane su kod referentnog stanja što znači da i testovi varijabilnosti i valjanosti regresijskog pravca AMS uređaja moraju biti provedeni s rezultatima paralelnih mjerena svedenim na referentne uvjete.

Kako  $GVE$  za  $O_2$  i  $H_2O$  nije propisana, korištena je takozvana virtualna granična vrijednost emisije prema preporuci *Technical Guidance Note M20 Version 2.4, Quality assurance of continuous emission monitoring systems - application of EN 14181 and BS EN 13284-2 (Environment Agency, April 2012)*.

Radi određivanja intervala pouzdanosti AMS uređaja za mjerjenje brzine, korištena je dozvoljena kombinirana mjerna nesigurnost AMS uređaja DURAG D-FL 220 prema QAL1 tipskom odobrenju koja sukladno zahtjevu norme EN 15267-3 iznosi 7,5 % mjernog raspona. Dakle, za standardnu devijaciju ( $\sigma_0$ ) protoka dimnih plinova usvojena je mjerna nesigurnost ( $u_Q$ ) određena prema sljedećem izrazu:

$$u_Q = \frac{7,5 \% \cdot 144\,000 \text{ m/h} \cdot 15,504 \text{ m}^2}{1,96} = 85\,430 \text{ m}^3_{\text{isp}}/\text{h}, \quad (4)$$

gdje je:

- $u_Q; \text{ m}^3_{\text{isp}}/\text{h}$ ; kombinirana mjerna nesigurnost AMS uređaja DURAG D-FL 220 za mjerjenje protoka dimnih plinova u ispustu,
- 144 000 m/h; mjerni raspon brzine uređaja DURAG D-FL 220 (40 m/s),
- 15,504 m<sup>2</sup>; površina poprečnog mjernog presjeka dimovodnog kanala (AMS prije REA).

Kako uređaji za mjerjenje temperature nisu tipični uređaj za mjerjenje emisija te zato nemaju niti QAL1 tipsko odobrenje, mjerna nesigurnost AMS uređaja za mjerjenje temperature dimnih plinova ( $u_\vartheta$ ) određena prema sljedećem izrazu:

$$u_\vartheta = \sqrt{\left(\frac{2,6 \text{ } ^\circ\text{C}}{\sqrt{3}}\right)^2 + \left(\frac{4,0 \text{ } ^\circ\text{C}}{\sqrt{3}}\right)^2} = 2,75 \text{ } ^\circ\text{C}, \quad (5)$$

gdje je:

- $u_\vartheta; \text{ } ^\circ\text{C}$ ; kombinirana mjerna nesigurnost AMS uređaja Pt100 za mjerjenje temperature dimnih plinova u ispustu,
- 2,6  $^\circ\text{C}$ ; granična greška otpornog termometra Pt100 klase C kod 200  $^\circ\text{C}$  prema IEC 60751:2009<sup>4</sup>,
- 4,0  $^\circ\text{C}$ ; procijenjena granična greška uređaja za prijenos i obradu signala otpornog termometra Pt100.

---

<sup>4</sup> HRN EN 60751:2009: Industrijski platinasti otpornički termometri i platinasta toplinska osjetila (osjetila temperature) (IEC 60751:2008; EN 60751:2008).

Pregled korištenih mjernih nesigurnosti dan je u tab. 6. Rezultati AST su dani u nastavku po mjernim presjecima i AMS uređajima.

Tab. 6: Propisane i korištene mjerne nesigurnosti pojedinih AMS mjerjenih veličina

Mjerni sustav	Veličina	GVE	P	Mjerni raspon	Proširena merna nesigurnost	$\sigma_0$
AMS prije REA	$H_2O$	30 % <sub>vdp</sub> <sup>1)</sup>	10 %		± 3,0 % <sub>vdp</sub>	± 1,53 % <sub>vdp</sub>
	$\vartheta$			0 - 200 °C		± 2,75 °C
	$O_2$	21 % <sub>sdp</sub> <sup>1)</sup>	10 %		± 2,1 % <sub>sdp</sub>	± 1,07 % <sub>sdp</sub>
	$CO$	50 mg/m <sup>3</sup> <sub>ref</sub>	10 %		± 5 mg/m <sup>3</sup> <sub>ref</sub>	± 2,55 mg/m <sup>3</sup> <sub>ref</sub>
	$NO_x$	200 mg/m <sup>3</sup> <sub>ref</sub>	20 %		± 40 mg/m <sup>3</sup> <sub>ref</sub>	± 20,41 mg/m <sup>3</sup> <sub>ref</sub>
	$SO_2$		15 % <sup>2)</sup>	2 000 mg/m <sub>n</sub> <sup>3</sup> <sub>sdp</sub>		± 153,06 mg/m <sup>3</sup> <sub>ref</sub>
	$PM$	20 mg/m <sup>3</sup> <sub>ref</sub>	30 %		± 6 mg/m <sup>3</sup> <sub>ref</sub>	± 3,06 mg/m <sup>3</sup> <sub>ref</sub>
	$Q$					± 85 430 m <sup>3</sup> <sub>isp/h</sub>
AMS nakon REA	$H_2O$	30 % <sub>vdp</sub> <sup>1)</sup>	10 %		± 3,0 % <sub>vdp</sub>	± 1,53 % <sub>vdp</sub>
	$\vartheta$			0 - 200 °C		± 2,75 °C
	$O_2$	21 % <sub>sdp</sub> <sup>1)</sup>	10 %		± 2,1 % <sub>sdp</sub>	± 1,07 % <sub>sdp</sub>
	$CO$	50 mg/m <sup>3</sup> <sub>ref</sub>	10 %		± 5 mg/m <sup>3</sup> <sub>ref</sub>	± 2,55 mg/m <sup>3</sup> <sub>ref</sub>
	$NO_x$	200 mg/m <sup>3</sup> <sub>ref</sub>	20 %		± 40 mg/m <sup>3</sup> <sub>ref</sub>	± 20,41 mg/m <sup>3</sup> <sub>ref</sub>
	$SO_2$	200 mg/m <sup>3</sup> <sub>ref</sub>	20 %		± 40 mg/m <sup>3</sup> <sub>ref</sub>	± 20,41 mg/m <sup>3</sup> <sub>ref</sub>
	$PM$	20 mg/m <sup>3</sup> <sub>ref</sub>	30 %		± 6 mg/m <sup>3</sup> <sub>ref</sub>	± 3,06 mg/m <sup>3</sup> <sub>ref</sub>

<sup>1)</sup> Virtualna GVE prema Technical Guidance Note M20 Version 2.4, Quality assurance of continuous emission monitoring systems - application of EN 14181 and BS EN 13284-2, Environment Agency, April 2012

### 3.1. MJERNI PRESJEK PRIJE REA

15. listopada 2024. godine EKONERG-ov Laboratorij za mjerjenje emisija je u mernom presjeku prije REA izvršio pet paralelnih mjerena (M1-M5): temperature ( $\vartheta$ ), volumnog udjela vodene pare ( $H_2O$ ), protoka dimnih plinova ( $Q$ ), masene koncentracije krutih čestica ( $PM$ ) te volumnih udjela  $SO_2$ ,  $CO$ ,  $NO_x$  i  $O_2$  u suhim dimnim plinovima. Izmjerene vrijednosti sekundarnog AMS uređaja za mjerjenje protoka nisu prikupljene jer je uređaj bio neispravan. Pregled izmjerениh, tzv. „sirovih“ vrijednosti paralelnih mjerena SRM i AMS uređaja dan je u tab. 7 i tab. 8.

Tab. 7: Emisije iz mernog presjeka prije REA izmjerene SRM uređajima

SRM (prije REA)	$\vartheta$	$H_2O$	$Q$	$PM$	$O_2$	$CO$	$NO_x$ kao $NO$	$SO_2$
	°C	% <sub>vdp</sub>	m <sup>3</sup> <sub>isp/h</sub>	mg/m <sup>3</sup> <sub>isp</sub>	% <sub>sdp</sub>	mg/m <sub>n</sub> <sup>3</sup> <sub>sdp</sub>	mg/m <sub>n</sub> <sup>3</sup> <sub>sdp</sub>	mg/m <sub>n</sub> <sup>3</sup> <sub>sdp</sub>
M1	136	9,67	1 094 184	8,8	6,54	10,6	91	1 553
M2	136	8,81	1 092 366	9,5	6,49	11,8	88	1 609
M3	137	7,93	1 125 917	11,6	6,91	12,8	89	1 556
M4	138	8,23	1 131 075	10,0	6,22	15,0	74	1 560
M5	138	8,16	1 131 021	10,2	6,19	16,9	85	1 571

Tab. 8: Emisije iz mernog presjeka prije REA izmjerene AMS uređajima

AMS (prije REA)	$\vartheta$	$Q$	$Q_{\text{sekundarni}}$	$PM$	$O_2$	$CO$	$NO_x$ kao $NO$	$SO_2$
	°C	m <sup>3</sup> <sub>isp/h</sub>	m <sup>3</sup> <sub>isp/h</sub>	mg/m <sup>3</sup> <sub>isp</sub>	% <sub>sdp</sub>	mg/m <sub>n</sub> <sup>3</sup> <sub>sdp</sub>	mg/m <sub>n</sub> <sup>3</sup> <sub>sdp</sub>	mg/m <sub>n</sub> <sup>3</sup> <sub>sdp</sub>
M1	137	1 090 201	-	9,9	6,46	10,1	93	1 523
M2	137	1 087 461	-	10,8	6,42	11,2	91	1 590
M3	138	1 118 182	-	12,2	6,84	12,6	91	1 517
M4	139	1 134 658	-	11,4	6,16	14,7	76	1 525
M5	139	1 119 675	-	11,6	6,12	16,5	89	1 550

Pregled vrijednosti paralelnih mjerena SRM i AMS uređaja svedenih na referentne (GVE) uvjete (volumen suhih plinova kod referentnog  $O_2$  od 6 % pri 0 °C i 1013,25 hPa) potrebne za testove varijabilnosti i valjanosti linearnih regresija dan je u tab. 9 i tab. 10. Kako pomoćne veličine ( $\vartheta$ ,  $O_2$  i  $H_2O$ ) ne bi utjecale na prolaznost pojedinih AMS uređaja kod testova varijabilnosti i valjanosti linearnih regresija, prilikom svodenja tzv. „sirovih“ vrijednosti AMS uređaja na referentne (GVE) uvjete korištene su vrijednosti pomoćnih veličina mjerene SRM uređajima. Dakle, umjesto vrijednosti AMS uređaja iz tab. 10 korištene su „sirove“ vrijednosti AMS uređaja svedene na referentne uvjete korištenjem vrijednosti pomoćnih veličina mjerjenih SRM uređajima.

*Tab. 9: Emisije iz presjeka prije REA mjerene SRM uređajima svedene na referentne uvjete*

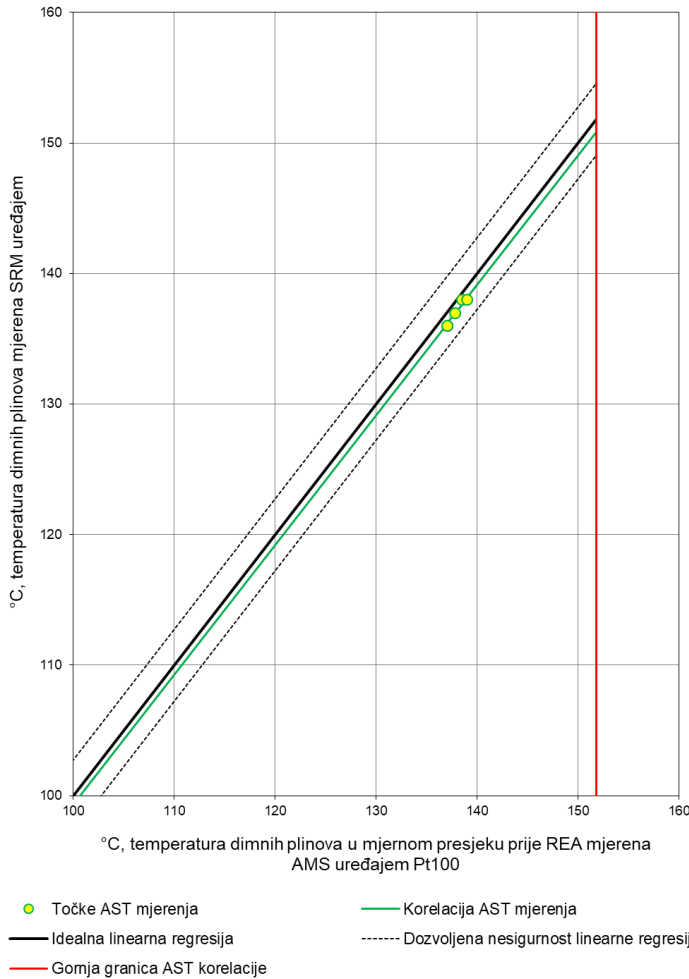
SRM (prije REA)	<i>Q</i>	<i>PM</i>	<i>CO</i>	<i>NO<sub>x</sub></i>	<i>SO<sub>2</sub></i>
	$m^3_{ref}/h$	$mg/m^3_{ref}$	$mg/m^3_{ref}$	$mg/m^3_{ref}$	$mg/m^3_{ref}$
M1	655 720	14,8	11,0	144	1 610
M2	663 073	15,6	12,1	140	1 664
M3	669 742	19,4	13,6	145	1 656
M4	701 661	16,2	15,2	115	1 584
M5	703 404	16,4	17,1	132	1 591

*Tab. 10: Emisije iz presjeka prije REA mjerene AMS uređajima svedene na referentne uvjete*

AMS (prije REA)	<i>Q</i>	<i>PM</i>	<i>CO</i>	<i>NO<sub>x</sub></i>	<i>SO<sub>2</sub></i>
	$m^3_{ref}/h$	$mg/m^3_{ref}$	$mg/m^3_{ref}$	$mg/m^3_{ref}$	$mg/m^3_{ref}$
M1	644 412	16,8	10,5	147	1 572
M2	684 037	17,5	11,5	143	1 636
M3	642 721	21,3	13,3	148	1 606
M4	682 435	19,0	14,9	118	1 541
M5	674 488	19,3	16,6	137	1 563

### 3.1.1. Mjerenje temperature uređajem Pt100

Na sl. 7 je prikazan odnos idealnog regresijskog pravca (AMS = SRM) i korelacije utvrđene na temelju rezultata pet (M1-M5) valjanih paralelnih mjerena i jedne dodatne, tzv. surogat točke. U tab. 11 su dani rezultati testova varijabilnosti i valjanosti linearne regresije.



Sl. 7: Odnos utvrđene AST korelacije i idealnog regresijskog pravca AMS uređaja Pt100 za mjerjenje temperature u mjernom presjeku prije REA

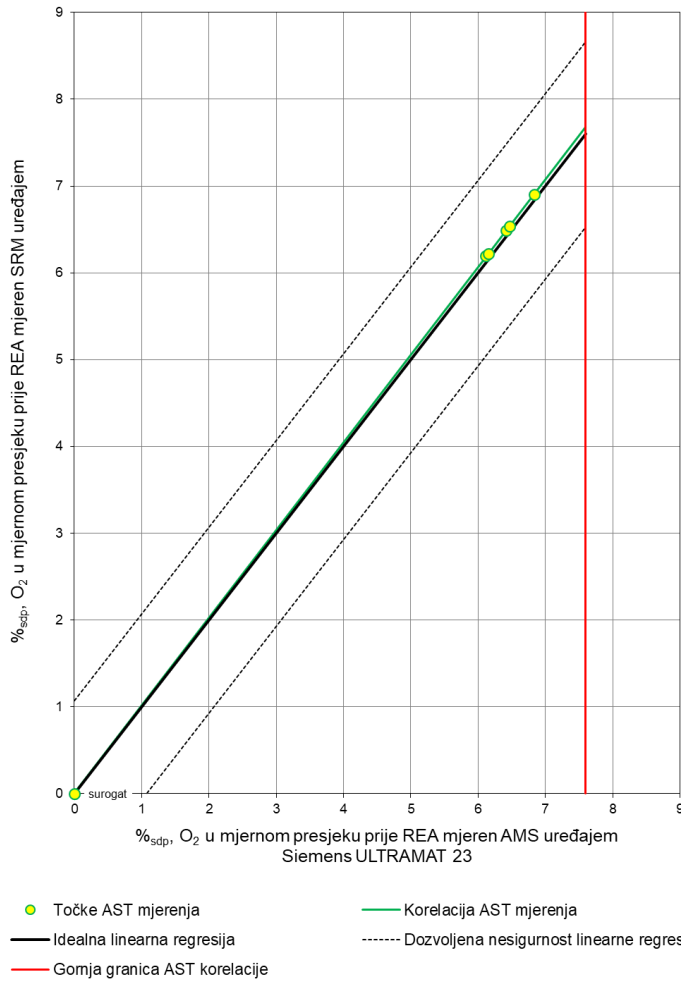
Tab. 11: Test varijabilnosti i test valjanosti linearne regresije AMS uređaja Pt100 za mjerjenje temperature u mjernom presjeku prije REA

AMS = $a_{QAL2} + b_{QAL2} \cdot \text{AMS}_{\text{old}}$				AST test varijabilnosti				AST test valjanosti linearne regresije			
AMS = $\min + \frac{\max - \min}{16 \text{ mA}} \cdot (x - 4 \text{ mA})$				$s_D \leq 1,5 \cdot \sigma_0 \cdot k_v$				$ D_{sr}  \leq \frac{t_{0,95;(N-1)} \cdot s_D}{\sqrt{N}} + \sigma_0$			
$a_{QAL2}$	$b_{QAL2}$	$\min$	$\max$	$s_D$	$\sigma_0$	$k_v$	$1,5 \cdot \sigma_0 \cdot k_v$	$ D_{sr} $	$t_{0,95;(N-1)}$	$\frac{t_{0,95;(N-1)} \cdot s_D}{\sqrt{N}} + \sigma_0$	
°C	-	°C	°C	0,23	2,75	0,92	3,78	0,87	2,13	2,97	
0	1	0	200	Zadovoljava				Zadovoljava			

Kao što se vidi iz tab. 11, AMS uređaj Pt100 za mjerjenje temperature u mjernom presjeku prije REA uspješno prolazi testove varijabilnosti i valjanosti linearne regresije. Postojeći regresijski pravac je valjan u rasponu od 0 °C do 155 °C. Ovaj raspon, utvrđen tijekom prošlog umjeravanja (QAL2), veći je od valjanog raspona mjerjenja utvrđenog tijekom AST-a.

### 3.1.2. Mjerenje O<sub>2</sub> uređajem Siemens ULTRAMAT 23

Na sl. 8 je prikazan odnos idealnog regresijskog pravca (AMS = SRM) i korelacije utvrđene na temelju rezultata pet (M1-M5) valjanih paralelnih mjerenja i jedne dodatne, tzv. surogat točke. U tab. 12 su dani rezultati testova varijabilnosti i valjanosti linearne regresije.



Sl. 8: Odnos utvrđene AST korelaciјe i idealnog regresijskog pravca AMS uređaja Siemens ULTRAMAT 23 za mjerjenje O<sub>2</sub> u suhim dimnim plinovima mjernog presjeka prije REA

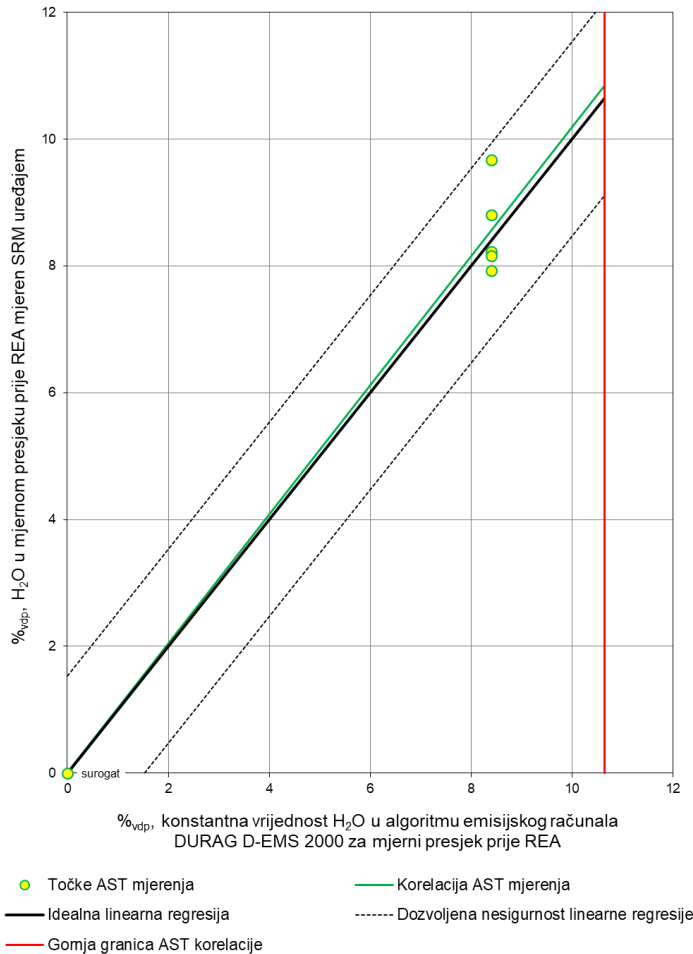
Tab. 12: Test varijabilnosti i test valjanosti linearne regresije AMS uređaja Siemens ULTRAMAT 23 za mjerjenje O<sub>2</sub> u suhim dimnim plinovima mjernog presjeka prije REA

AMS = $a_{QAL2} + b_{QAL2} \cdot AMS_{old}$				AST test varijabilnosti				AST test valjanosti linearne regresije			
AMS = $min + \frac{max - min}{16 \text{ mA}} \cdot (x - 4 \text{ mA})$				$s_D \leq 1,5 \cdot \sigma_0 \cdot k_v$				$ D_{sr}  \leq \frac{t_{0,95;(N-1)} \cdot s_D}{\sqrt{N}} + \sigma_0$			
$a_{QAL2}$	$b_{QAL2}$	$min$	$max$	$s_D$	$\sigma_0$	$k_v$	$1,5 \cdot \sigma_0 \cdot k_v$	$ D_{sr} $	$t_{0,95;(N-1)}$	$\frac{t_{0,95;(N-1)} \cdot s_D}{\sqrt{N}} + \sigma_0$	
0,01	-	0,01	1,07	0,92	0,92	0,92	1,47	0,07	2,13	1,08	
0	1	0	21	Zadovoljava				Zadovoljava			

Kao što se vidi iz tab. 12, AMS uređaj Siemens ULTRAMAT 23 za mjerjenje O<sub>2</sub> u suhim dimnim plinovima mjernog presjeka prije REA uspješno prolazi testove varijabilnosti i valjanosti linearne regresije. Postojeći regresijski pravac je valjan u rasponu od 0 %<sub>sdp</sub> do 7,6 %<sub>sdp</sub>. Ovaj raspon, utvrđen tijekom AST postupka, veći je od raspona mjerjenja (0 %<sub>sdp</sub> do 6,9 %<sub>sdp</sub>) utvrđenog tijekom prošlog umjeravanja (QAL2).

### 3.1.3. Provjera konstante vlažnosti dimnih plinova

Na sl. 9 je prikazan odnos idealnog regresijskog pravca (AMS = SRM) i korelacije utvrđene na temelju rezultata pet (M1-M5) valjanih paralelnih mjerena i jedne dodatne, tzv. surogat točke. U tab. 13 su dani rezultati testova varijabilnosti i valjanosti fiktivne linearne regresije.



Sl. 9: Odnos utvrđene AST korelacije i idealnog regresijskog pravca za usvojenu konstantu vlažnosti dimnih plinova u mjernom presjeku prije REA

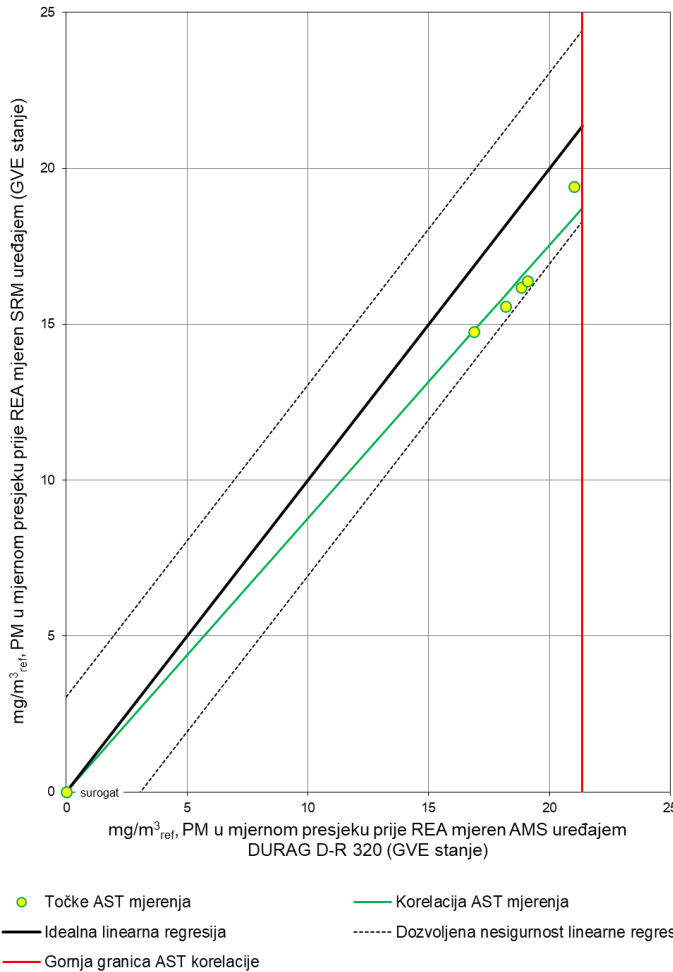
Tab. 13: Test varijabilnosti i test valjanosti fiktivne linearne regresije za usvojenu konstantu vlažnosti dimnih plinova u mjernom presjeku prije REA

AMS = $a_{QAL2} + b_{QAL2} \cdot \text{AMS}_{\text{old}}$ AMS = 8,4 %				AST test varijabilnosti				AST test valjanosti linearne regresije			
				$s_D \leq 1,5 \cdot \sigma_0 \cdot k_v$				$ D_{sr}  \leq \frac{t_{0,95;(N-1)} \cdot s_D}{\sqrt{N}} + \sigma_0$			
$a_{QAL2}$	$b_{QAL2}$	<i>min</i>	<i>max</i>	$s_D$	$\sigma_0$	$k_v$	$1,5 \cdot \sigma_0 \cdot k_v$	$ D_{sr} $	$t_{0,95;(N-1)}$	$\frac{t_{0,95;(N-1)} \cdot s_D}{\sqrt{N}} + \sigma_0$	
%vdp	-	%vdp	%vdp	0,70	1,53	0,92	2,10	0,16	2,13	2,20	
0	1	-	-	Zadovoljava				Zadovoljava			

Kao što se vidi iz tab. 13, usvojena konstanta vlažnosti dimnih plinova ( $H_2O$ ) u mjernom presjeku prije REA uspješno prolazi testove varijabilnosti i valjanosti linearne regresije. Postojeća konstantna vrijednost  $H_2O = 8,4 \%_{vdp}$  koja je upisana u algoritmu emisijskog računala DURAG D-EMS 2000 se može zadržati.

### 3.1.4. Mjerenje emisije krutih čestica uređajem DURAG D-R 320

Na sl. 10 je prikazan odnos idealnog regresijskog pravca (AMS = SRM) i korelacije utvrđene na temelju rezultata pet (M1-M5) valjanih paralelnih mjerenja i jedne dodatne, tzv. surogat točke. U tab. 14 su dani rezultati testova varijabilnosti i valjanosti linearne regresije.



Sl. 10: Odnos utvrđene AST korelacije i idealnog regresijskog pravca AMS uređaja DURAG D-R 320 za mjerenje PM u mjernom presjeku prije REA

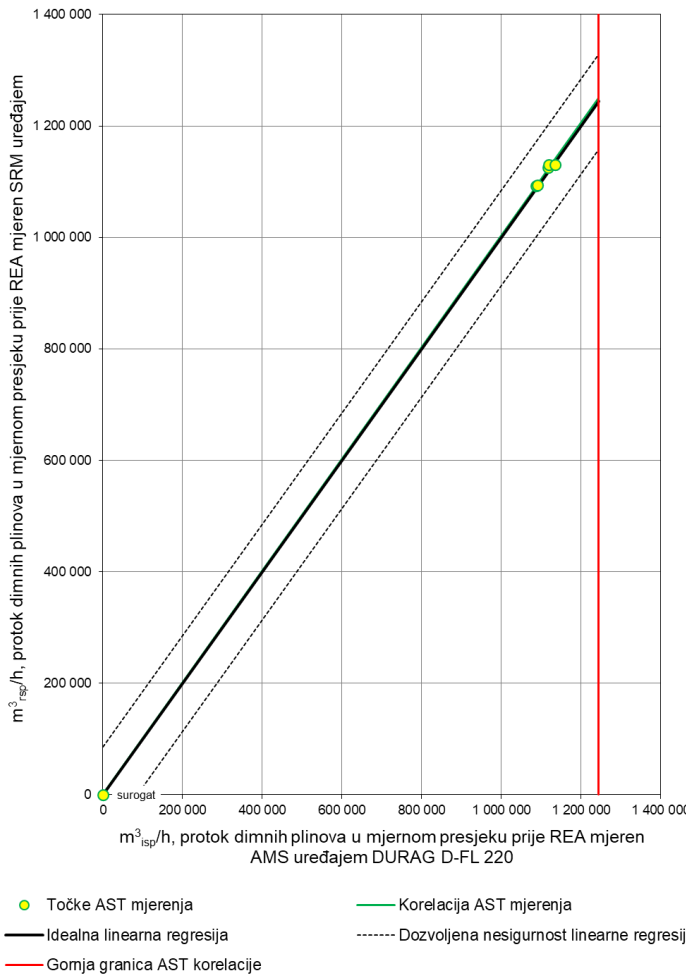
Tab. 14: Test varijabilnosti i test valjanosti linearne regresije AMS uređaja DURAG D-R 320 za mjerenje PM u mjernom presjeku prije REA

AMS = $a_{QAL2} + b_{QAL2} \cdot \text{AMS}_{\text{old}}$				AST test varijabilnosti				AST test valjanosti linearne regresije		
				$s_D \leq 1,5 \cdot \sigma_0 \cdot k_v$				$ D_{sr}  \leq \frac{t_{0,95;(N-1)} \cdot s_D}{\sqrt{N}} + \sigma_0$		
$a_{QAL2}$	$b_{QAL2}$	$a_0$	$a_1$	$s_D$	$\sigma_0$	$k_v$	$1,5 \cdot \sigma_0 \cdot k_v$	$ D_{sr} $	$t_{0,95;(N-1)}$	$\frac{t_{0,95;(N-1)} \cdot s_D}{\sqrt{N}} + \sigma_0$
mg/m <sup>3</sup> <sub>isp</sub>	-	mg/m <sup>3</sup> <sub>isp</sub>	mg/m <sup>3</sup> <sub>isp</sub>	0,47	3,06	0,92	4,21	2,34	2,13	3,51
0	0,4128	0	0,00723	Zadovoljava				Zadovoljava		

Kao što se vidi iz tab. 14, AMS uređaj DURAG D-R 320 za mjerenje masene koncentracije krutih čestica (PM) u mjernom presjeku prije REA uspješno prolazi testove varijabilnosti i valjanosti linearne regresije. Postojeći regresijski pravac je valjan u rasponu od 0 mg/m<sup>3</sup><sub>ref</sub> do 20,4 mg/m<sup>3</sup><sub>ref</sub>. Ovaj raspon, utvrđen tijekom AST postupka, veći je od raspona mjerjenja (0 mg/m<sup>3</sup><sub>ref</sub> do 18,5 mg/m<sup>3</sup><sub>ref</sub>) utvrđenog tijekom prošlog umjeravanja (QAL2).

### 3.1.5. Mjerenje brzine i protoka uređajem DURAG D-FL 220

Na sl. 11 je prikazan odnos idealnog regresijskog pravca (AMS = SRM) i korelacije utvrđene na temelju rezultata pet (M1-M5) valjanih paralelnih mjerena i jedne dodatne, tzv. surogat točke. U tab. 15 su dani rezultati testova varijabilnosti i valjanosti linearne regresije.



Sl. 11: Odnos utvrđene AST korelacije i idealnog regresijskog pravca AMS uređaja DURAG D-FL 220 za mjerenje brzine i protoka dimnih plinova u mjernom presjeku prije REA

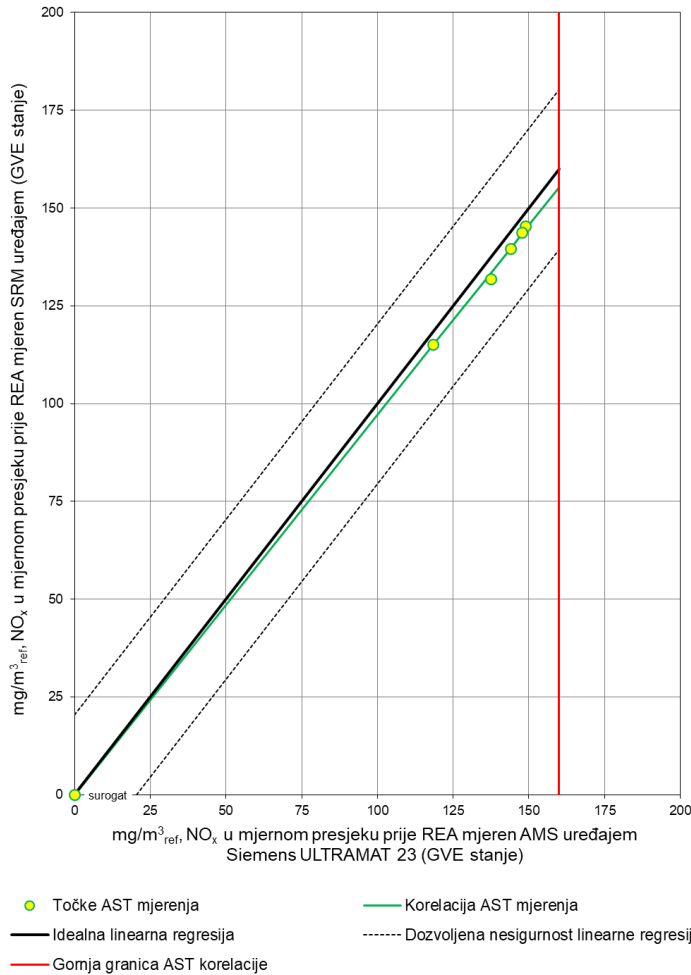
Tab. 15: Test varijabilnosti i test valjanosti linearne regresije AMS uređaja DURAG D-FL 220 za mjerenje brzine i volumnog protoka dimnih plinova u mjernom presjeku prije REA

AMS = $a_{QAL2} + b_{QAL2} \cdot \text{AMS}_{\text{old}}$ AMS = $(a_0 + a_1 \cdot v) \cdot 15,504 \text{ m}^2$				AST test varijabilnosti				AST test valjanosti linearne regresije		
				$s_D \leq 1,5 \cdot \sigma_0 \cdot k_v$				$ D_{sr}  \leq \frac{t_{0,95;(N-1)} \cdot s_D}{\sqrt{N}} + \sigma_0$		
$a_{QAL2}$	$b_{QAL2}$	$a_0$	$a_1$	$s_D$	$\sigma_0$	$k_v$	$1,5 \cdot \sigma_0 \cdot k_v$	$ D_{sr} $	$t_{0,95;(N-1)}$	$\frac{t_{0,95;(N-1)} \cdot s_D}{\sqrt{N}} + \sigma_0$
$\text{m}^3_{\text{isp}}/\text{h}$	-	m/s	-	5 532	85 430	0,92	117 389	4 877	2,13	90 704
0	1,0564	0	1,0886	Zadovoljava				Zadovoljava		

Kao što se vidi iz tab. 15, AMS uređaj DURAG D-FL 220 za mjerenje brzine i volumnog protoka dimnih plinova u mjernom presjeku prije REA uspješno prolazi testove varijabilnosti i valjanosti linearne regresije. Postojeći regresijski pravac je valjan u rasponu od  $0 \text{ m}^3_{\text{isp}}/\text{h}$  do  $1 244 182 \text{ m}^3_{\text{isp}}/\text{h}$ . Ovaj raspon, utvrđen tijekom AST postupka, veći je od raspona mjerena ( $0 \text{ m}^3_{\text{isp}}/\text{h}$  do  $1 242 034 \text{ m}^3_{\text{isp}}/\text{h}$ ) utvrđenog tijekom prošlog umjeravanja (QAL2).

### 3.1.6. Mjerenje NO<sub>x</sub> uređajem Siemens ULTRAMAT 23

Na sl. 12 je prikazan odnos idealnog regresijskog pravca (AMS = SRM) i korelacije utvrđene na temelju rezultata pet (M1-M5) valjanih paralelnih mjerenja i jedne dodatne, tzv. surogat točke. U tab. 16 su dani rezultati testova varijabilnosti i valjanosti linearne regresije.



Sl. 12: Odnos utvrđene AST korelacijske i idealnog regresijskog pravca AMS uređaja Siemens ULTRAMAT 23 za mjerjenje NO<sub>x</sub> u suhim dimnim plinovima mjernog presjeka prije REA

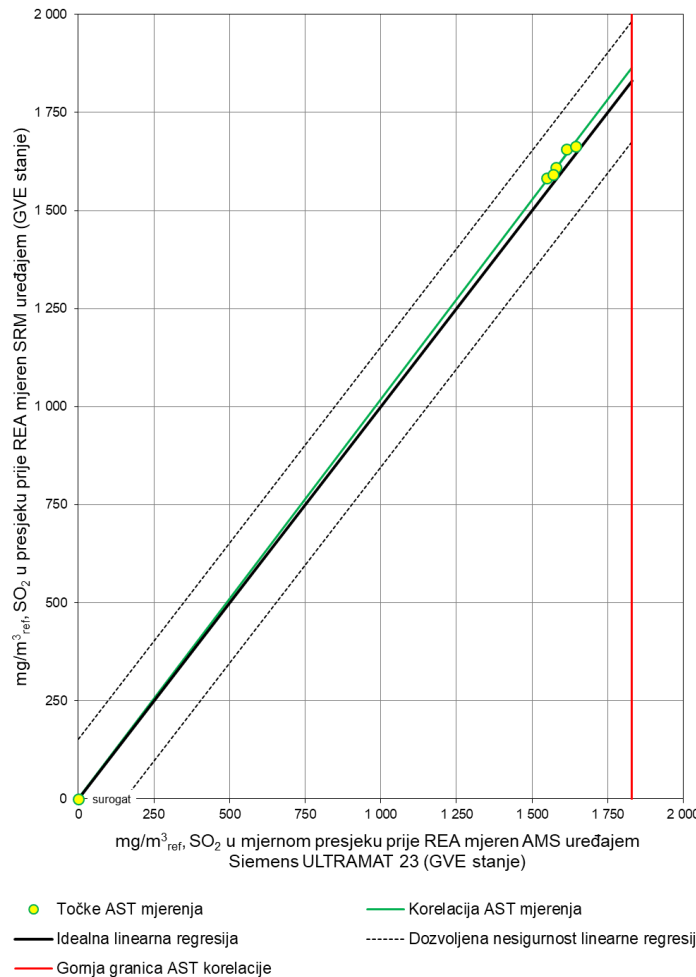
Tab. 16: Test varijabilnosti i test valjanosti linearne regresije AMS uređaja Siemens ULTRAMAT 23 za mjerjenje NO<sub>x</sub> (NO<sub>x</sub> kao NO) u suhim dimnim plinovima mjernog presjeka prije REA

AMS = $a_{\text{QAL2}} + b_{\text{QAL2}} \cdot \text{AMS}_{\text{old}}$				AST test varijabilnosti				AST test valjanosti linearne regresije		
AMS = $\min + \frac{\max - \min}{16 \text{ mA}} \cdot (x - 4 \text{ mA})$				$S_D \leq 1,5 \cdot \sigma_0 \cdot k_v$				$ D_{sr}  \leq \frac{t_{0,95;(N-1)} \cdot S_D}{\sqrt{N}} + \sigma_0$		
$a_{\text{QAL2}}$	$b_{\text{QAL2}}$	$\min$	$\max$	$S_D$	$\sigma_0$	$k_v$	$1,5 \cdot \sigma_0 \cdot k_v$	$ D_{sr} $	$t_{0,95;(N-1)}$	$\frac{t_{0,95;(N-1)} \cdot S_D}{\sqrt{N}} + \sigma_0$
mg/m <sub>n</sub> <sup>3</sup> <sub>sdp</sub>	-	mg/m <sub>n</sub> <sup>3</sup> <sub>sdp</sub>	mg/m <sub>n</sub> <sup>3</sup> <sub>sdp</sub>	0,96	20,41	0,92	28,04	4,06	2,13	21,32
0	1,0749	0	2 150	Zadovoljava				Zadovoljava		

Kao što se vidi iz tab. 16, AMS uređaj Siemens ULTRAMAT 23 za mjerjenje NO<sub>x</sub> kao NO u suhim dimnim plinovima mjernog presjeka prije REA uspješno prolazi testove varijabilnosti i valjanosti linearne regresije. Postojeći regresijski pravac je valjan u rasponu od 0  $\text{mg}/\text{m}^3_{\text{ref}}$  do 192  $\text{mg}/\text{m}^3_{\text{ref}}$ . Ovaj raspon, utvrđen tijekom prošlog umjeravanja (QAL2), veći je od valjanog raspona mjerjenja utvrđenog tijekom AST-a.

### 3.1.7. Mjerenje SO<sub>2</sub> uređajem Siemens ULTRAMAT 23

Na sl. 13 je prikazan odnos idealnog regresijskog pravca (AMS = SRM) i korelacije utvrđene na temelju rezultata pet (M1-M5) valjanih paralelnih mjerena i jedne dodatne, tzv. surogat točke. U tab. 17 su dani rezultati testova varijabilnosti i valjanosti linearne regresije.



Sl. 13: Odnos utvrđene AST korelaciјe i idealnog regresijskog pravca AMS uređaja Siemens ULTRAMAT 23 za mјerenje SO<sub>2</sub> u suhim dimnim plinovima mjernog presjeka prije REA

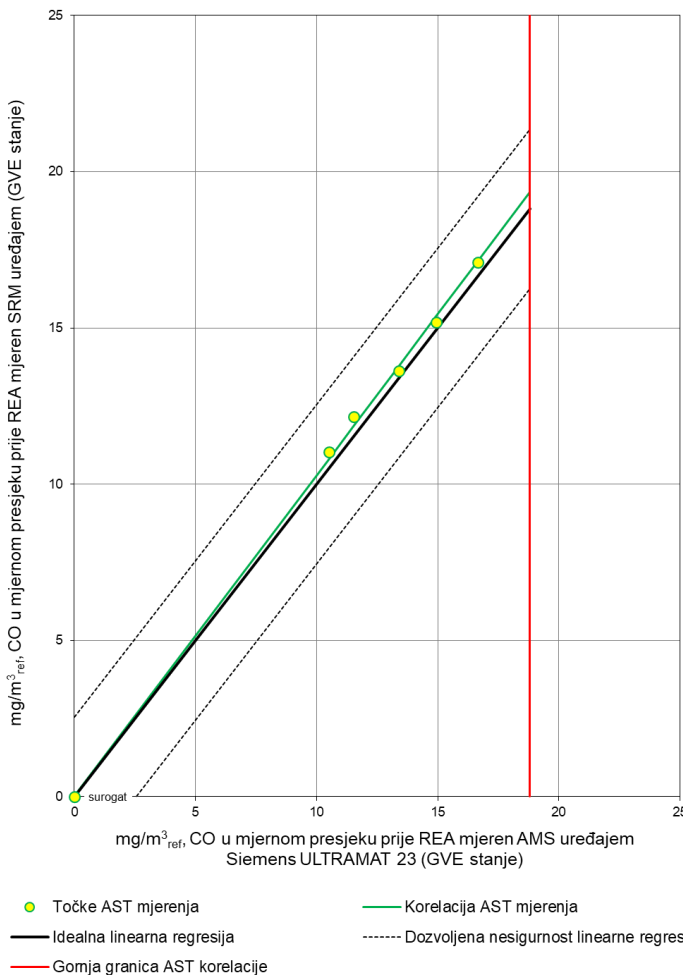
Tab. 17: Test varijabilnosti i test valjanosti linearne regresije AMS uređaja Siemens ULTRAMAT 23 za mјerenje SO<sub>2</sub> u suhim plinovima mjernog presjeka prije REA

$AMS = a_{QAL2} + b_{QAL2} \cdot AMS_{old}$ $AMS = min + \frac{max - min}{16 mA} \cdot (x - 4 mA)$				AST test varijabilnosti				AST test valjanosti linearne regresije			
				$s_D \leq 1,5 \cdot \sigma_0 \cdot k_v$				$ D_{sr}  \leq \frac{t_{0,95;(N-1)} \cdot s_D}{\sqrt{N}} + \sigma_0$			
$a_{QAL2}$	$b_{QAL2}$	$min$	$max$	$s_D$	$\sigma_0$	$k_v$	$1,5 \cdot \sigma_0 \cdot k_v$	$ D_{sr} $	$t_{0,95;(N-1)}$	$\frac{t_{0,95;(N-1)} \cdot s_D}{\sqrt{N}} + \sigma_0$	
mg/m <sup>3</sup> <sub>sdp</sub>	-	mg/m <sup>3</sup> <sub>sdp</sub>	mg/m <sup>3</sup> <sub>sdp</sub>	9,6	153,1	0,92	210,3	29,7	2,13	162,2	
0	1,0743	0	2 149	Zadovoljava				Zadovoljava			

Kao što se vidi iz tab. 17, AMS uređaj Siemens ULTRAMAT 23 za mјerenje SO<sub>2</sub> u suhim dimnim plinovima mjernog presjeka prije REA uspješno prolazi testove varijabilnosti i valjanosti linearne regresije. Postojeći regresijski pravac je valjan u rasponu od 0 mg/m<sup>3</sup><sub>ref</sub> do 1 933 mg/m<sup>3</sup><sub>ref</sub>. Ovaj raspon, utvrđen tijekom prošlog umjeravanja (QAL2), veći je od valjanog raspona mјerenja utvrđenog tijekom AST-a.

### 3.1.8. Mjerenje CO uređajem Siemens ULTRAMAT 23

Na sl. 14 je prikazan odnos idealnog regresijskog pravca (AMS = SRM) i korelacije utvrđene na temelju rezultata pet (M1-M5) valjanih paralelnih mjerenja i jedne dodatne, tzv. surogat točke. U tab. 18 su dani rezultati testova varijabilnosti i valjanosti linearne regresije.



Sl. 14: Odnos utvrđene AST korelacijske i idealnog regresijskog pravca AMS uređaja Siemens ULTRAMAT 23 za mjerenje CO u suhim dimnim plinovima mjernog presjeka prije REA

Tab. 18: Test varijabilnosti i test valjanosti linearne regresije AMS uređaja Siemens ULTRAMAT 23 za mjerenje CO u suhim dimnim plinovima mjernog presjeka prije REA

$\text{AMS} = a_{\text{QAL2}} + b_{\text{QAL2}} \cdot \text{AMS}_{\text{old}}$				AST test varijabilnosti				AST test valjanosti linearne regresije		
				$s_D \leq 1,5 \cdot \sigma_0 \cdot k_v$				$ D_{sr}  \leq \frac{t_{0,95;(N-1)} \cdot s_D}{\sqrt{N}} + \sigma_0$		
$a_{\text{QAL2}}$	$b_{\text{QAL2}}$	$\text{min}$	$\text{max}$	$s_D$	$\sigma_0$	$k_v$	$1,5 \cdot \sigma_0 \cdot k_v$	$ D_{sr} $	$t_{0,95;(N-1)}$	$\frac{t_{0,95;(N-1)} \cdot s_D}{\sqrt{N}} + \sigma_0$
mg/m³ <sub>sdp</sub>	-	mg/m³ <sub>sdp</sub>	mg/m³ <sub>sdp</sub>	0,17	2,55	0,92	3,51	0,41	2,13	2,71
0	1	0	1 000	Zadovoljava				Zadovoljava		

Kao što se vidi iz tab. 18, AMS uređaj Siemens ULTRAMAT 23 za mjerenje CO u suhim dimnim plinovima mjernog presjeka prije REA uspješno prolazi testove varijabilnosti i valjanosti linearne regresije. Postojeći regresijski pravac je valjan u rasponu od  $0 \text{ mg}/\text{m}^3_{\text{ref}}$  do  $7,3 \text{ mg}/\text{m}^3_{\text{ref}}$ . Ovaj raspon, utvrđen tijekom AST postupka, veći je od raspona mjerjenja ( $0 \text{ mg}/\text{m}^3_{\text{ref}}$  do  $6,6 \text{ mg}/\text{m}^3_{\text{ref}}$ ) utvrđenog tijekom prošlog umjeravanja (QAL2).

### 3.2. MJERNI PRESJEK NAKON REA

16. listopada 2024 godine EKONERG-ov Laboratorij za mjerjenje emisija je u mjernom presjeku nakon REA izvršio pet paralelnih mjerena (M1-M5): temperature ( $\vartheta$ ), volumnog udjela vodene pare ( $H_2O$ ), protoka dimnih plinova ( $Q$ ), masene koncentracije krutih čestica ( $PM$ ) te volumnih udjela  $SO_2$ ,  $CO$ ,  $NO_x$  i  $O_2$  u suhim dimnim plinovima. Pregled izmjerene, tzv. „sirovih“ vrijednosti paralelnih mjerena SRM i AMS uređaja dan je u tab. 19 i tab. 20.

Tab. 19: Emisije iz mjernog presjeka nakon REA izmjerene SRM uređajima

SRM (nakon REA)	$\vartheta$	$H_2O$	$PM$	$O_2$	$CO$	$NO_x$ kao $NO$	$SO_2$
	°C	% <sub>vdp</sub>	mg/m <sup>3</sup> <sub>isp</sub>	% <sub>sdp</sub>	mg/m <sup>3</sup> <sub>n sdp</sub>	mg/m <sup>3</sup> <sub>n sdp</sub>	mg/m <sup>3</sup> <sub>n sdp</sub>
M1	88	9,88	1,4	6,42	10,2	82	24
M2	89	11,27	1,5	6,52	9,0	79	34
M3	89	10,03	1,4	6,64	7,9	81	46
M4	93	10,26	1,5	6,56	7,3	79	41
M5	94	10,40	1,6	6,73	6,9	90	40

Tab. 20: Emisija iz mjernog presjeka nakon REA izmjerene AMS uređajima

AMS (nakon REA)	$\vartheta$	$PM$	$O_2$	$CO$	$NO_x$ kao $NO$	$SO_2$
	°C	mg/m <sup>3</sup> <sub>isp</sub>	% <sub>sdp</sub>	mg/m <sup>3</sup> <sub>n sdp</sub>	mg/m <sup>3</sup> <sub>n sdp</sub>	mg/m <sup>3</sup> <sub>n sdp</sub>
M1	87	1,0	6,58	6,3	86	12
M2	87	1,0	6,67	5,7	84	24
M3	88	1,0	6,81	5,4	85	39
M4	91	1,1	6,72	5,3	84	33
M5	92	1,2	6,89	5,0	95	31

Pregled vrijednosti paralelnih mjerena SRM i AMS uređaja svedenih na referentne (GVE) uvjete (volumen suhih plinova kod referentnog  $O_2$  od 6 % pri 0 °C i 1013,25 hPa) potrebne za testove varijabilnosti i valjanosti linearnih regresija dan je u tab. 21 i tab. 22. Kako pomoćne veličine ( $p$ ,  $\vartheta$ ,  $O_2$  i  $H_2O$ ) ne bi utjecale na prolaznost pojedinih AMS uređaja kod testova varijabilnosti i valjanosti linearnih regresija, prilikom svođenja tzv. „sirovih“ vrijednosti AMS uređaja na referentne (GVE) uvjete korištene su vrijednosti pomoćnih veličina mjerene SRM uređajima.

Tab. 21: Emisije iz presjeka nakon REA mjerene SRM uređajima svedene na referentne uvjete

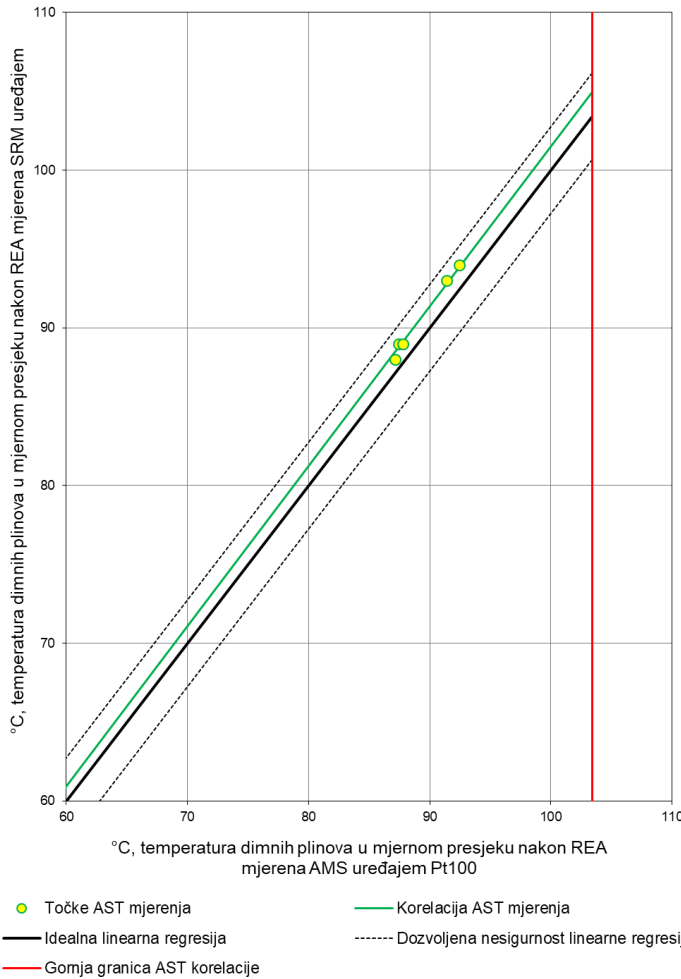
SRM (nakon REA)	$PM$	$CO$	$NO_x$	$SO_2$
	mg/m <sup>3</sup> <sub>ref</sub>	mg/m <sup>3</sup> <sub>ref</sub>	mg/m <sup>3</sup> <sub>ref</sub>	mg/m <sup>3</sup> <sub>ref</sub>
M1	2,1	10,5	129	25
M2	2,2	9,4	126	35
M3	2,1	8,2	130	48
M4	2,3	7,6	126	43
M5	2,5	7,3	145	42

Tab. 22: Emisije iz presjeka nakon REA mjerene AMS uređajima svedene na referentne uvjete

AMS (nakon REA)	$PM$	$CO$	$NO_x$	$SO_2$
	mg/m <sup>3</sup> <sub>ref</sub>	mg/m <sup>3</sup> <sub>ref</sub>	mg/m <sup>3</sup> <sub>ref</sub>	mg/m <sup>3</sup> <sub>ref</sub>
M1	1,5	6,6	137	12
M2	1,5	6,0	134	25
M3	1,4	5,6	140	42
M4	1,8	5,6	136	35
M5	1,8	5,3	153	33

### 3.2.1. Mjerenje temperature uređajem Pt100

Na sl. 15 je prikazan odnos idealnog regresijskog pravca (AMS = SRM) i korelacije utvrđene na temelju rezultata pet (M1-M5) valjanih paralelnih mjerenja i jedne dodatne, tzv. surogat točke. U tab. 23 su dani rezultati testova varijabilnosti i valjanosti linearne regresije.



Sl. 15: Odnos utvrđene AST korelacije i idealnog regresijskog pravca AMS uređaja Pt100 za mjerjenje temperature u mjernom presjeku nakon REA

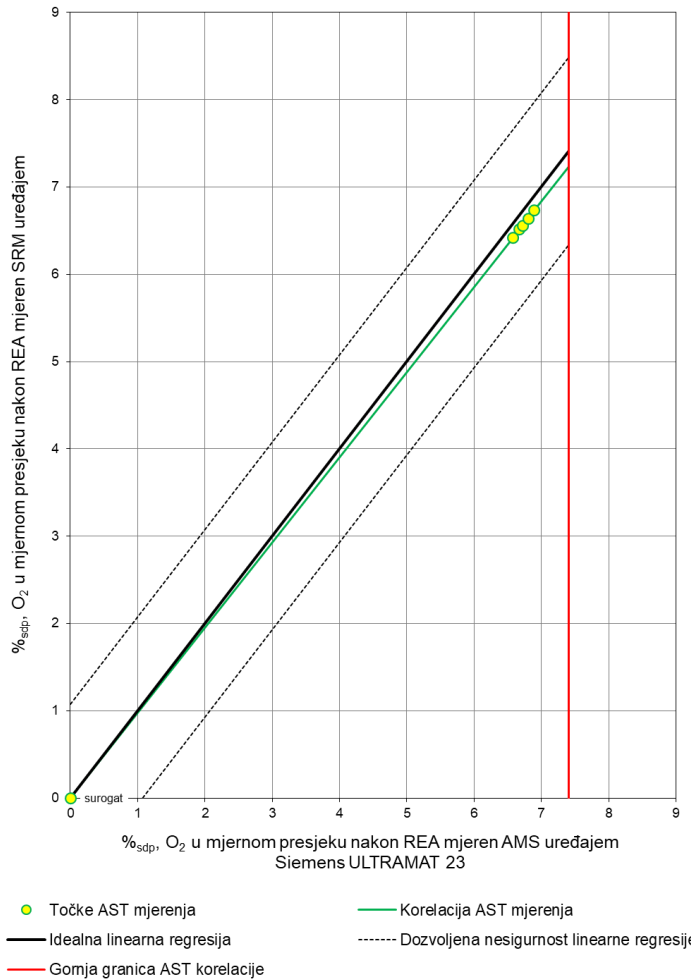
Tab. 23: Test varijabilnosti i test valjanosti linearne regresije AMS uređaja Pt100 za mjerjenje temperature u mjernom presjeku nakon REA

AMS = $a_{QAL2} + b_{QAL2} \cdot AMS_{old}$				AST test varijabilnosti				AST test valjanosti linearne regresije		
AMS = $min + \frac{max - min}{16 \text{ mA}} \cdot (x - 4 \text{ mA})$				$s_D \leq 1,5 \cdot \sigma_0 \cdot k_v$				$ D_{sr}  \leq \frac{t_{0,95;(N-1)} \cdot s_D}{\sqrt{N}} + \sigma_0$		
$a_{QAL2}$	$b_{QAL2}$	$min$	$max$	$s_D$	$\sigma_0$	$k_v$	$1,5 \cdot \sigma_0 \cdot k_v$	$ D_{sr} $	$t_{0,95;(N-1)}$	$\frac{t_{0,95;(N-1)} \cdot s_D}{\sqrt{N}} + \sigma_0$
°C	-	°C	°C	0,31	2,75	0,92	3,78	1,35	2,13	3,05
0	1	0	200	Zadovoljava				Zadovoljava		

Kao što se vidi iz tab. 23, AMS uređaj Pt100 za mjerjenje temperature u mjernom presjeku nakon REA uspješno prolazi testove varijabilnosti i valjanosti linearne regresije. Postojeći regresijski pravac je valjan u rasponu od 0 °C do 107 °C. Ovaj raspon, utvrđen tijekom prošlog umjeravanja (QAL2), veći je od valjanog raspona mjerjenja utvrđenog tijekom AST-a.

### 3.2.2. Mjerenje O<sub>2</sub> uređajem Siemens ULTRAMAT 23

Na sl. 16 je prikazan odnos idealnog regresijskog pravca (AMS = SRM) i korelacije utvrđene na temelju rezultata pet (M1-M5) valjanih paralelnih mjerena i jedne dodatne, tzv. surogat točke. U tab. 24 su dani rezultati testova varijabilnosti i valjanosti linearne regresije.



Sl. 16: Odnos utvrđene AST korelacije i idealnog regresijskog pravca AMS uređaja Siemens ULTRAMAT 23 za mjerjenje O<sub>2</sub> u suhim dimnim plinovima mjernog presjeka nakon REA

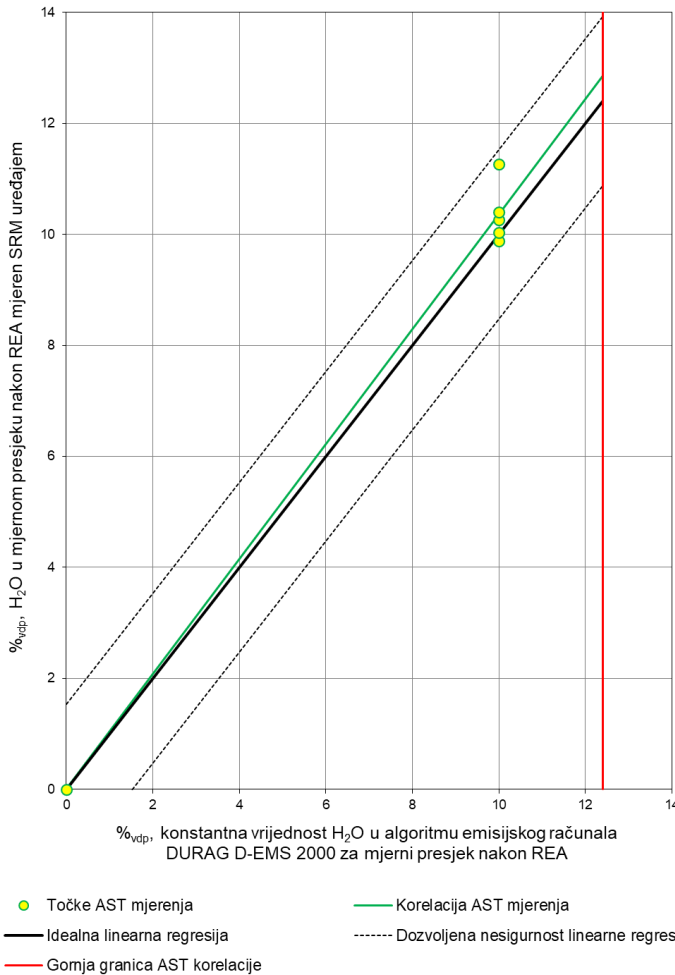
Tab. 24: Test varijabilnosti i test valjanosti linearne regresije AMS uređaja Siemens ULTRAMAT 23 za mjerjenje O<sub>2</sub> u suhim dimnim plinovima mjernog presjeka nakon REA

$AMS = a_{QAL2} + b_{QAL2} \cdot AMS_{old}$				AST test varijabilnosti				AST test valjanosti linearne regresije			
				$s_D \leq 1,5 \cdot \sigma_0 \cdot k_v$				$ D_{sr}  \leq \frac{t_{0,95;(N-1)} \cdot s_D}{\sqrt{N}} + \sigma_0$			
$a_{QAL2}$	$b_{QAL2}$	$min$	$max$	$s_D$	$\sigma_0$	$k_v$	$1,5 \cdot \sigma_0 \cdot k_v$	$ D_{sr} $	$t_{0,95;(N-1)}$	$\frac{t_{0,95;(N-1)} \cdot s_D}{\sqrt{N}} + \sigma_0$	
%sdp	-	%sdp	%sdp	0,01	1,07	0,92	1,47	0,16	2,13	1,08	
0	1	0	21	Zadovoljava				Zadovoljava			

Kao što se vidi iz tab. 24, AMS uređaj Siemens ULTRAMAT 23 za mjerjenje O<sub>2</sub> u suhim dimnim plinovima mjernog presjeka nakon REA uspješno prolazi test varijabilnosti. Postojeći regresijski pravac je valjan u rasponu od 0 %sdp do 7,4 %sdp. Ovaj raspon, utvrđen tijekom AST postupka, veći je od raspona mjerena (0 %sdp do 6,7 %sdp) utvrđenog tijekom prošlog umjeravanja (QAL2).

### 3.2.3. Provjera konstante vlažnosti dimnih plinova

Na sl. 17 je prikazan odnos idealnog regresijskog pravca (AMS = SRM) i korelacije utvrđene na temelju rezultata pet (M1-M5) valjanih paralelnih mjerena i jedne dodatne, tzv. surogat točke. U tab. 25 su dani rezultati testova varijabilnosti i valjanosti fiktivne linearne regresije.



Sl. 17: Odnos utvrđene AST korelacije i idealnog regresijskog pravca za usvojenu konstantu vlažnosti dimnih plinova u mjernom presjeku nakon REA

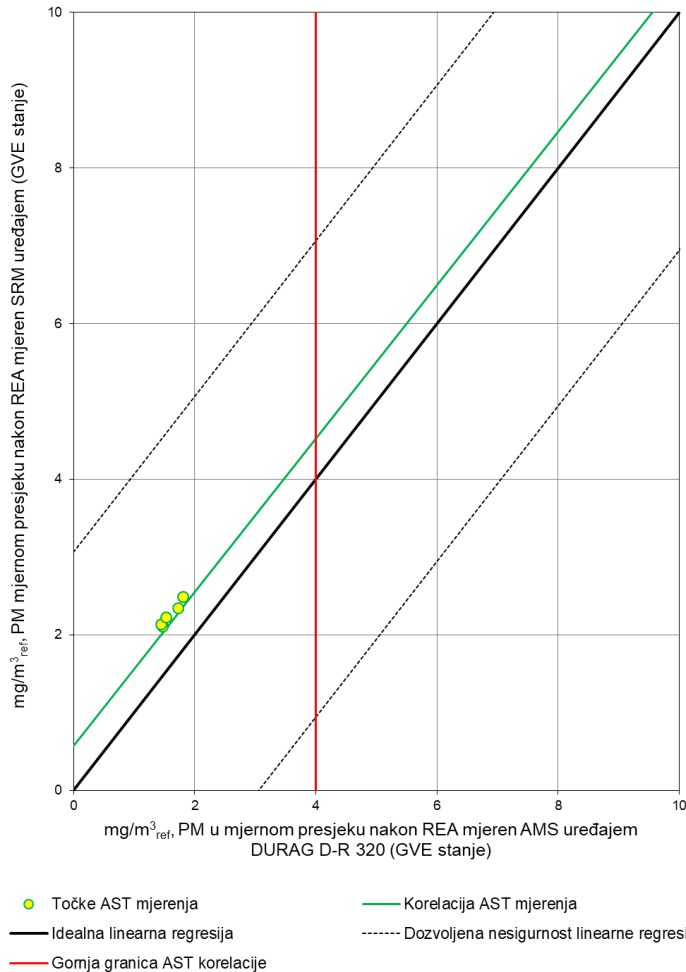
Tab. 25: Test varijabilnosti i test valjanosti fiktivne linearne regresije za usvojenu konstantu vlažnosti dimnih plinova u mjernom presjeku nakon REA

AMS = $a_{QAL2} + b_{QAL2} \cdot \text{AMS}_{\text{old}}$ AMS = 10 %				AST test varijabilnosti				AST test valjanosti linearne regresije		
				$S_D \leq 1,5 \cdot \sigma_0 \cdot k_v$				$ D_{sr}  \leq \frac{t_{0,95;(N-1)} \cdot S_D}{\sqrt{N}} + \sigma_0$		
$a_{QAL2}$	$b_{QAL2}$	<i>min</i>	<i>max</i>	$S_D$	$\sigma_0$	$k_v$	$1,5 \cdot \sigma_0 \cdot k_v$	$ D_{sr} $	$t_{0,95;(N-1)}$	$\frac{t_{0,95;(N-1)} \cdot S_D}{\sqrt{N}} + \sigma_0$
%vdp	-	%vdp	%vdp	0,54	1,53	0,92	2,10	0,37	2,13	2,05
0	1	-	-	Zadovoljava				Zadovoljava		

Kao što se vidi iz tab. 25, usvojena konstanta vlažnosti dimnih plinova ( $H_2O$ ) u mjernom presjeku nakon REA uspješno prolazi testove varijabilnosti i valjanosti linearne regresije. Postojeća konstantna vrijednost  $H_2O = 10 \%_{vdp}$  koja je upisana u algoritmu emisijskog računala DURAG D-EMS 2000 se može zadržati.

### 3.2.4. Mjerenje emisije krutih čestica uređajem DURAG D-R 320

Na sl. 18 je prikazan odnos idealnog regresijskog pravca (AMS = SRM) i korelacije utvrđene na temelju rezultata pet (M1-M5) valjanih paralelnih mjerena i jedne dodatne, tzv. surogat točke. U tab. 26 su dani rezultati testova varijabilnosti i valjanosti linearne regresije.



Sl. 18: Odnos utvrđene AST korelacije i idealnog regresijskog pravca AMS uređaja DURAG D-R 320 za mjerjenje PM u mjernom presjeku nakon REA

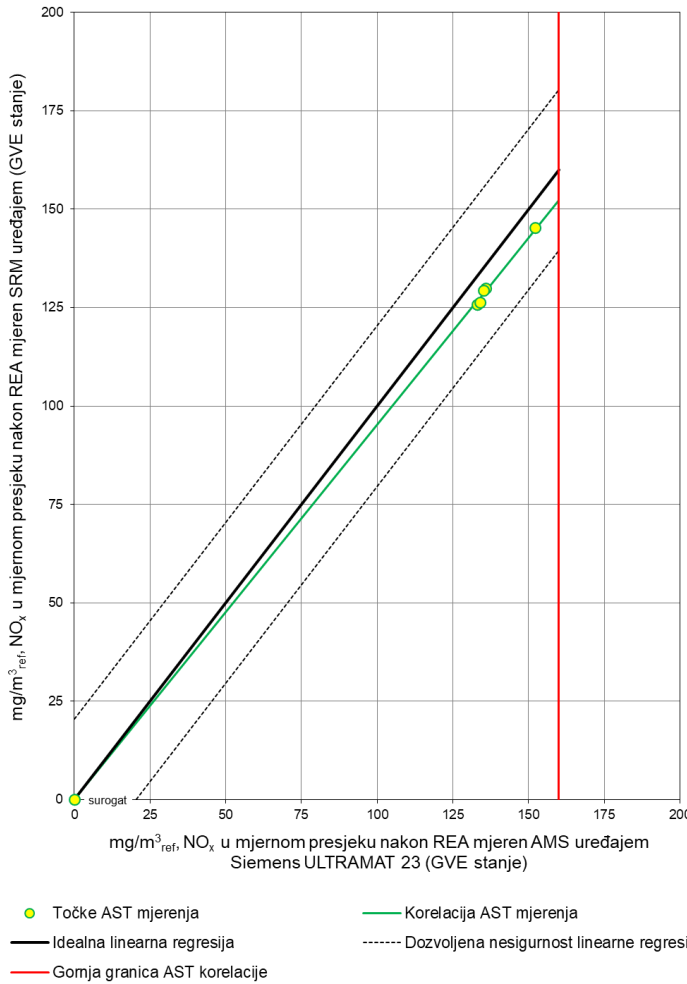
Tab. 26: Test varijabilnosti i test valjanosti linearne regresije AMS uređaja DURAG D-R 320 za mjerjenje PM u mjernom presjeku nakon REA

AMS = $a_{QAL2} + b_{QAL2} \cdot \text{AMS}_{\text{old}}$				AST test varijabilnosti				AST test valjanosti linearne regresije			
				$s_D \leq 1,5 \cdot \sigma_0 \cdot k_v$				$ D_{sr}  \leq \frac{t_{0,95;(N-1)} \cdot s_D}{\sqrt{N}} + \sigma_0$			
$a_{QAL2}$	$b_{QAL2}$	$a_0$	$a_1$	$s_D$	$\sigma_0$	$k_v$	$1,5 \cdot \sigma_0 \cdot k_v$	$ D_{sr} $	$t_{0,95;(N-1)}$	$\frac{t_{0,95;(N-1)} \cdot s_D}{\sqrt{N}} + \sigma_0$	
mg/m³isp	-	mg/m³isp	mg/m³isp	0,04	3,06	0,92	4,21	0,67	2,13	3,10	
0	1,3194	0	0,008	Zadovoljava				Zadovoljava			

Kao što se vidi iz tab. 26, AMS uređaj DURAG D-R 320 za mjerjenje masene koncentracije krutih čestica (PM) u mjernom presjeku nakon REA uspješno prolazi testove varijabilnosti i valjanosti linearne regresije. Postojeći regresijski pravac je valjan u rasponu od 0 mg/m³ref do 4,2 mg/m³ref. Ovaj raspon, utvrđen tijekom prošlog umjeravanja (QAL2), veći je od valjanog raspona mjerjenja utvrđenog tijekom AST-a.

### 3.2.5. Mjerenje NO<sub>x</sub> uređajem Siemens ULTRAMAT 23

Na sl. 19 je prikazan odnos idealnog regresijskog pravca (AMS = SRM) i korelacije utvrđene na temelju rezultata pet (M1-M5) valjanih paralelnih mjerenja i jedne dodatne, tzv. surogat točke. U tab. 27 su dani rezultati testova varijabilnosti i valjanosti linearne regresije.



Sl. 19: Odnos utvrđene AST korelacijske i idealnog regresijskog pravca AMS uređaja Siemens ULTRAMAT 23 za mjerenje NO<sub>x</sub> u suhim dimnim plinovima mjernog presjeka nakon REA

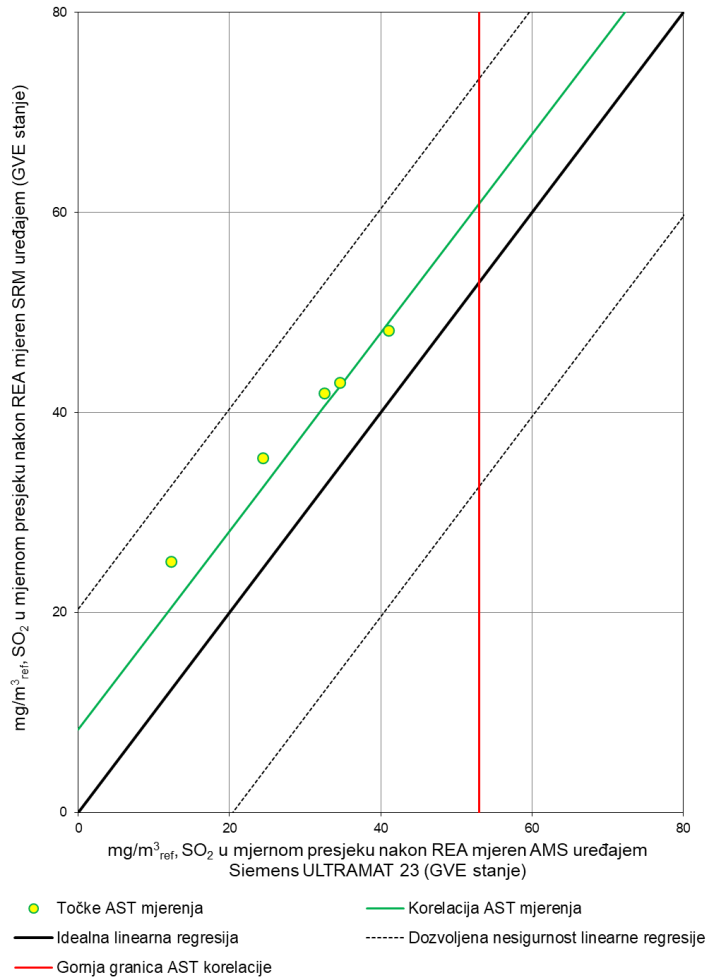
Tab. 27: Test varijabilnosti i test valjanosti linearne regresije AMS uređaja Siemens ULTRAMAT 23 za mjerenje NO<sub>x</sub> u suhim dimnim plinovima mjernog presjeka nakon REA

AMS = $a_{QAL2} + b_{QAL2} \cdot \text{AMS}_{\text{old}}$				AST test varijabilnosti				AST test valjanosti linearne regresije		
AMS = $\min + \frac{\max - \min}{16 \text{ mA}} \cdot (x - 4 \text{ mA})$				$s_D \leq 1,5 \cdot \sigma_0 \cdot k_v$				$ D_{sr}  \leq \frac{t_{0,95;(N-1)} \cdot s_D}{\sqrt{N}} + \sigma_0$		
$a_{QAL2}$	$b_{QAL2}$	$\min$	$\max$	$s_D$	$\sigma_0$	$k_v$	$1,5 \cdot \sigma_0 \cdot k_v$	$ D_{sr} $	$t_{0,95;(N-1)}$	$\frac{t_{0,95;(N-1)} \cdot s_D}{\sqrt{N}} + \sigma_0$
mg/m <sup>3</sup> <sub>sdp</sub>	-	mg/m <sup>3</sup> <sub>sdp</sub>	mg/m <sup>3</sup> <sub>sdp</sub>	0,81	20,41	0,92	28,04	6,71	2,13	21,18
0	1	0	2 000	Zadovoljava				Zadovoljava		

Kao što se vidi iz tab. 27, AMS uređaj Siemens ULTRAMAT 23 za mjerenje NO<sub>x</sub> kao NO u suhim dimnim plinovima mjernog presjeka nakon REA uspješno prolazi testove varijabilnosti i valjanosti linearne regresije. Postojeći regresijski pravac je valjan u rasponu od 0 mg/m<sup>3</sup><sub>ref</sub> do 178 mg/m<sup>3</sup><sub>ref</sub>. Ovaj raspon, utvrđen tijekom prošlog umjeravanja (QAL2), veći je od valjanog raspona mjerenja utvrđenog tijekom AST-a.

### 3.2.6. Mjerenje SO<sub>2</sub> uređajem Siemens ULTRAMAT 23

Na sl. 20 je prikazan odnos idealnog regresijskog pravca (AMS = SRM) i korelacije utvrđene na temelju rezultata pet (M1-M5) valjanih paralelnih mjerena i jedne dodatne, tzv. surogat točke. U tab. 28 su dani rezultati testova varijabilnosti i valjanosti linearne regresije.



Sl. 20: Odnos utvrđene AST korelacije i idealnog regresijskog pravca AMS uređaja Siemens ULTRAMAT 23 za mjerjenje SO<sub>2</sub> u suhim dimnim plinovima mjernog presjeka nakon REA

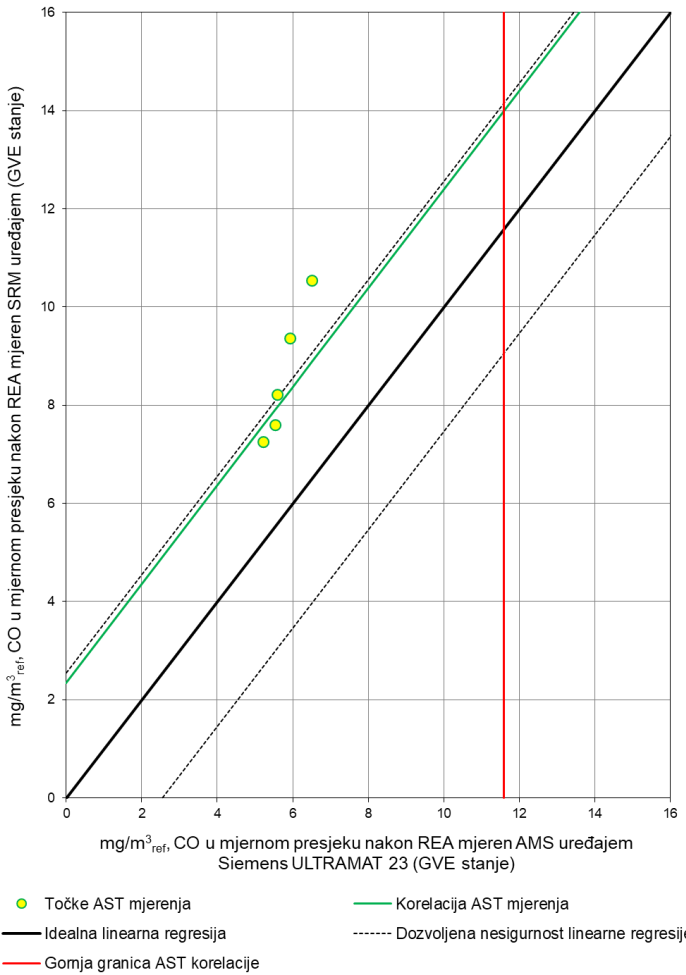
Tab. 28: Test varijabilnosti i test valjanosti linearne regresije AMS uređaja Siemens ULTRAMAT 23 za mjerjenje SO<sub>2</sub> u suhim plinovima mjernog presjeka nakon REA

$AMS = a_{QAL2} + b_{QAL2} \cdot AMS_{old}$				AST test varijabilnosti				AST test valjanosti linearne regresije			
				$s_D \leq 1,5 \cdot \sigma_0 \cdot k_v$				$ D_{sr}  \leq \frac{t_{0,95;(N-1)} \cdot s_D}{\sqrt{N}} + \sigma_0$			
$a_{QAL2}$	$b_{QAL2}$	$min$	$max$	$s_D$	$\sigma_0$	$k_v$	$1,5 \cdot \sigma_0 \cdot k_v$	$ D_{sr} $	$t_{0,95;(N-1)}$	$\frac{t_{0,95;(N-1)} \cdot s_D}{\sqrt{N}} + \sigma_0$	
mg/m <sup>3</sup> <sub>sdp</sub>	-	mg/m <sup>3</sup> <sub>sdp</sub>	mg/m <sup>3</sup> <sub>sdp</sub>	2,21	20,41	0,92	28,04	9,78	2,13	22,52	
0	1,4158	0	2 832	Zadovoljava				Zadovoljava			

Kao što se vidi iz tab. 28, AMS uređaj Siemens ULTRAMAT 23 za mjerjenje SO<sub>2</sub> u suhim dimnim plinovima mjernog presjeka nakon REA uspješno prolazi testove varijabilnosti i valjanosti linearne regresije. Postojeći regresijski pravac je valjan u rasponu od 0 mg/m<sup>3</sup><sub>ref</sub> do 116 mg/m<sup>3</sup><sub>ref</sub>. Ovaj raspon, utvrđen tijekom prošlog umjeravanja (QAL2), veći je od valjanog raspona mjerjenja utvrđenog tijekom AST-a.

### 3.2.7. Mjerenje CO uređajem Siemens ULTRAMAT 23

Na sl. 21 je prikazan odnos idealnog regresijskog pravca (AMS = SRM) i korelacije utvrđene na temelju rezultata pet (M1-M5) valjanih paralelnih mjerenja i jedne dodatne, tzv. surogat točke. U tab. 29 su dani rezultati testova varijabilnosti i valjanosti linearne regresije.



Sl. 21: Odnos utvrđene AST korelacije i idealnog regresijskog pravca AMS uređaja Siemens ULTRAMAT 23 za mjerjenje CO u suhim dimnim plinovima mjernog presjeka nakon REA

Tab. 29: Test varijabilnosti i test valjanosti linearne regresije AMS uređaja Siemens ULTRAMAT 23 za mjerjenje CO u suhim dimnim plinovima mjernog presjeka nakon REA

AMS = $a_{QAL2} + b_{QAL2} \cdot \text{AMS}_{\text{old}}$				AST test varijabilnosti				AST test valjanosti linearne regresije		
AMS = $\min + \frac{\max - \min}{16 \text{ mA}} \cdot (x - 4 \text{ mA})$				$s_D \leq 1,5 \cdot \sigma_0 \cdot k_v$				$ D_{sr}  \leq \frac{t_{0,95;(N-1)} \cdot s_D}{\sqrt{N}} + \sigma_0$		
$a_{QAL2}$	$b_{QAL2}$	$\min$	$\max$	$s_D$	$\sigma_0$	$k_v$	$1,5 \cdot \sigma_0 \cdot k_v$	$ D_{sr} $	$t_{0,95;(N-1)}$	$\frac{t_{0,95;(N-1)} \cdot s_D}{\sqrt{N}} + \sigma_0$
mg/m³_sdp	-	mg/m³_sdp	mg/m³_sdp	0,88	2,55	0,92	3,51	2,84	2,13	3,39
0	1	0	1 000	Zadovoljava				Zadovoljava		

Kao što se vidi iz tab. 29, AMS uređaj Siemens ULTRAMAT 23 za mjerjenje CO u suhim dimnim plinovima mjernog presjeka nakon REA uspješno prolazi testove varijabilnosti i valjanosti linearne regresije. Postojeći regresijski pravac je valjan u rasponu od 0 mg/m³\_ref do 8,6 mg/m³\_ref. Ovaj raspon, utvrđen tijekom AST postupka, veći je od raspona mjerjenja (0 mg/m³\_ref do 7,8 mg/m³\_ref) utvrđenog tijekom prošlog umjeravanja (QAL2).

## 4. ZAKLJUČAK

Godišnja provjera uređaja za kontinuirano mjerjenje emisija u zrak TE Plomin 2 (AMS prije i AMS nakon REA) provedena je sukladno postupku AST norme HRN EN 14181:2014. Kako bi se osigurala potrebna kvaliteta mjerjenja AST postupak obuhvaća: funkcionalnu provjeru mjernih uređaja, test varijabilnosti i test valjanosti linearne regresije temeljem rezultata paralelnih mjerjenja.

Temeljna zadaća godišnje provjere kvalitete mjerjenja AST postupkom zasniva se na provođenju testa valjanosti linearne regresije kojim se utvrđuje zadovoljava li utvrđena korelacija mjerjenja zakonom propisano odstupanje od idealnog regresijskog pravca (AMS = SRM) i provođenju testa varijabilnosti kojim se utvrđuje zadovoljava li AMS uređaj zakonom propisanu mjernu nesigurnost.

Rezultati godišnje provjere uređaja automatskog mjernog sustava prije REA dani su u tab. 30, a rezultati godišnje provjere uređaja automatskog mjernog sustava nakon REA dani su u tab. 31.

Tab. 30: Rezultati godišnje provjere uređaja AMS prije REA

Mjerena veličina	Postojeće postavke sustava AMS prije REA	Napomena
Ugljikov monoksid <b>CO</b>	Minimum: 0 mg/m <sup>3</sup> Maksimum: 1 000 mg/m <sup>3</sup>	Uređaj zadovoljava AST.
Sumporov dioksid <b>SO<sub>2</sub></b>	Minimum: 0 mg/m <sup>3</sup> Maksimum: 2 149 mg/m <sup>3</sup>	Uređaj zadovoljava AST.
Dušikovi oksidi <b>NO<sub>x</sub> kao NO</b>	Minimum: 0 mg/m <sup>3</sup> Maksimum: 2 150 mg/m <sup>3</sup>	Uređaj zadovoljava AST.
Krute čestice <b>PM</b>	Minimum: 0 mg/m <sup>3</sup> Maksimum: 200 mg/m <sup>3</sup>  $PM = a_0 + a_1 \cdot SL$ $a_0:$ 0 mg/m <sup>3</sup> $a_1:$ 0,00723 mg/m <sup>3</sup>	Uređaj zadovoljava AST.  Kalibracijski koeficijenti $a_0$ i $a_1$ upisani su u postavke mjernog uređaja DURAG D-R 320.
Kisik <b>O<sub>2</sub></b>	Minimum: 0 % Maksimum: 21 %	Uređaj zadovoljava AST.
Temperatura dimnih plinova <b>θ</b>	Minimum: 0 °C Maksimum: 200 °C	Uređaj zadovoljava AST.
Protok dimnih plinova <b>Q</b>	Minimum: 0 m <sup>3</sup> /h Maksimum: 1 500 000 m <sup>3</sup> /h  $Q = v_{\text{cal}} \cdot A$ $v_{\text{cal}} = a_0 + a_1 \cdot v + a_2 \cdot v^2 + a_3 \cdot v^3$ $A:$ 15,504 m <sup>2</sup> $a_0:$ 0 m/s $a_1:$ 1,0886 $a_2:$ 0 s/m $a_3:$ 0 s <sup>2</sup> /m <sup>2</sup>	Uređaj zadovoljava AST.  Površina poprečnog mjernog presjeka $A$ i kalibracijski koeficijenti $a_0$ , $a_1$ , $a_2$ i $a_3$ upisani su u postavke mjernog uređaja DURAG D-FL 220.
Protok dimnih plinova (sekundarni) <b>Q sekundarni</b>	-	Uređaj nije bio funkcionalan.
Vlažnost plinova <b>H<sub>2</sub>O</b>	Konstanta: 8,4 %	Postojeća konstanta se može zadržati.

Tab. 31: Rezultati godišnje provjere uređaja AMS nakon REA

Mjerena veličina	Postojeće postavke sustava AMS nakon REA	Napomena
Ugljikov monoksid $CO$	Minimum: 0 mg/m <sup>3</sup> Maksimum: 1 000 mg/m <sup>3</sup>	Uređaj zadovoljava AST.
Sumporov dioksid $SO_2$	Minimum: 0 mg/m <sup>3</sup> Maksimum: 2 832 mg/m <sup>3</sup>	Uređaj zadovoljava AST.
Dušikovi oksidi $NO_x$ kao $NO$	Minimum: 0 mg/m <sup>3</sup> Maksimum: 2 000 mg/m <sup>3</sup>	Uređaj zadovoljava AST.
Krute čestice $PM$	Minimum: 0 mg/m <sup>3</sup> Maksimum: 200 mg/m <sup>3</sup> $PM = a_0 + a_1 \cdot SL$ $a_0:$ 0 mg/m <sup>3</sup> $a_1:$ 0,008 mg/m <sup>3</sup>	Uređaj zadovoljava AST. Kalibracijski koeficijenti $a_0$ i $a_1$ upisani su u postavke mjernog uređaja DURAG D-R 320.
Kisik $O_2$	Minimum: 0 % Maksimum: 21 %	Uređaj zadovoljava AST.
Temperatura dimnih plinova $\vartheta$	Minimum: 0 °C Maksimum: 200 °C	Uređaj zadovoljava AST.
Vlažnost plinova $H_2O$	Konstanta: 10 %	Postojeća konstanta se može zadržati.

## **KRATICE I INDEKSI**

AMS	engl. <i>Automated Measuring System</i> , Automatski Mjerni Sustav ili sustav za kontinuirano mjerjenje emisije u zrak, isto što i CEMS.
CEMS	sustav za kontinuirano mjerjenje emisija u zrak (engl. <i>Continuous Emissions Monitoring System</i> ), isto što i AMS.
$C_{ref}$	emisija (općenito, bilo koja emisijska veličina) svedena na volumen suhih plinova kod referentnog udjela $O_2$ u suhim plinovima pri 0 °C i 1013,25 hPa.
HAA	Hrvatska Akreditacijska Agencija.
$m^3$	metar kubni.
$m^3_{isp}$	normi $m^3$ koji se odnosi na stanje u ispustu, odnosno $m^3$ kod tlaka i temperature u ispustu.
$m_n^3$	normirani $m^3$ , predstavlja količinu (broj molekula) idealnog plina koja kod 273,15 K (0 °C) i 1013,25 hPa bar zauzima volumen od 1 $m^3$ .
$m_n^3_{sdp}$	normirani $m^3$ koji se odnosi na suhe plinove pri sadržaju $O_2$ mjerrenom u ispustu.
$m_n^3_{vdp}$	normirani $m^3$ koji se odnosi na vlažne plinove pri sadržaju $O_2$ mjerrenom u ispustu.
$m^3_{vdp}$	$m^3$ koji se odnosi na vlažne plinove pri sadržaju $O_2$ mjerrenom u ispustu.
$m^3_{ref}$	normirani $m^3$ koji se odnosi na suhe plinove pri referentnom sadržaju $O_2$ - odnosno $m^3$ sveden na referentne uvjete plinova prema <i>Uredbi o graničnim vrijednostima emisija onečišćujućih tvari u zrak iz nepokretnih izvora</i> („Narodne novine“ 87/2017). Na primjer, za oba mjerna presjeka TE Plomin 2 $m^3$ pri referentnom stanju ( $m^3_{ref}$ ) se odnosi na volumen suhih plinova kod referentnog $O_2$ od 6 % pri 0 °C i 1013,25 hPa.
%	volumni udio iskazan u postotku.
% <sub>sdp</sub>	volumni udio u suhom plinu pri sadržaju $O_2$ mjerrenom u ispustu iskazan u postotku.
% <sub>vdp</sub>	volumni udio u vlažnom plinu pri sadržaju $O_2$ mjerrenom u ispustu iskazan u postotku.
ppm	engl. <i>parts per million</i> , udio u milijun, ovdje se radi o volumnom udjelu, $1 \text{ ppm} = 10^{-4} \%$ .
SL	engl. <i>scattered light</i> , raspršena svjetlost.
SRM	engl. <i>Standard Reference Method</i> , Standardna Referentna Metoda.

in-situ	lat. <i>in situ</i> ; engl. <i>in place</i> , na samom mjestu, analiza otpadnih plinova pri kojoj je analizator smješten na mjestu uzorkovanja (na kanalu, ispustu) a mjerjenje se provodi direktno u mjerenoj tvari, bilo u točki, liniji ili djelu volumena unutar kanala (ispusta).
$s_D$	standardna devijacija razlika vrijednosti izmjerenih AMS i SRM uređajima.
$\sigma_0$	mjerna nesigurnost iskazana kao standardna devijacija.
$k_v$	$k_v = \sqrt{\frac{\chi^2_{0,5;(N-1)}}{N-1}}$ , gdje je $\chi^2_{0,5;(N-1)}$ varijabla hi-kvadrat razdiobe za vjerojatnost 50 % i $N-1$ stupnjeva slobode, a $N$ je broj paralelnih mjerjenja (AMS i SRM).
$D_{sr}$	srednja vrijednost razlika između vrijednosti izmjerenih AMS i SRM uređajima.
$t_{0,95;(N-1)}$	varijabla (jednostrane) Studentove razdiobe za vjerojatnost 95 % i $N-1$ stupnjeva slobode, gdje je $N$ broj paralelnih mjerjenja (AMS i SRM).

## **POJMOVNIK**

umjeravanje	Prema <i>Međunarodnom mjeriteljskom rječniku (International vocabulary of metrology - Basic and general concepts and associated terms (VIM), Joint Committee for Guides on Metrology-200:2008)</i> umjeravanje je radnja kojom se pod određenim uvjetima u prvome koraku uspostavlja odnos između vrijednosti veličine s mjernim nesigurnostima koje daju mjerni etalon i odgovarajućih pokazivanja kojima su pridružene mjerne nesigurnosti, a u drugome koraku ti se podatci upotrebljavaju za uspostavljanje odnosa za dobivanje mjernog rezultata iz pokazivanja. Umjeravanje je pojam koji se povezuje s pojmom mjerne sljedivosti, budući da se ona ostvaruje neprekinutim lancem umjeravanja. Prema međunarodnoj normi HRN EN ISO/IEC 17025, sva oprema koja se upotrebljava za ispitivanja i/ili umjeravanja, uključujući opremu za pomoćna mjerjenja (npr. okolišnih uvjeta) koja ima važan učinak na točnost ili valjanost rezultata ispitivanja, umjeravanja ili uzorkovanja mora se prije stavljanja u rad umjeriti. Umjeravanje mjerila provodi se mjernim etalonima, tj. mjerilima koja služe kao referenca za utvrđivanje vrijednosti veličina i pridružene mjerne nesigurnosti za dodjelu mjernih rezultata druge veličine iste vrste, uspostavljajući mjeriteljsku sljedivost. Mjerni etalon precizniji je od mjerila, na višoj je razini hijerarhijske ljestvice sljedivosti i ima manju mjeru nesigurnost od mjerila koja se njime umjeravaju. Umjeravanjem mjerila se dobije informacija koliko uređaj odstupa od vrijednosti koja bi se dobila mjerenjem s primarnim etalonom (etalon prema kojemu se ostvaruje sljedivost, tj. kojemu je merna nesigurnost jednaka nuli), a ovisno o uređaju i druge važne informacije za utvrđivanje kako se pokazivanje mjerila može dovesti u vezu s primarnim etalonom (npr. informacija o otklonu termometra). Laboratorijski koji provode umjeravanja nazivaju se umjernim laboratorijima (engl. <i>calibration laboratories</i> ), a razlikuju se nacionalni umjerni laboratorijski, koji su dužni osigurati sljedivost mjernih veličina na nacionalnoj razini, i ostali umjerni laboratorijski kojima je glavna uloga ostvarivanje sljedivosti za mjerena koja provode Laboratorijski za mjerjenje emisija.
ugađanje	Ugađanje ne treba brkati s umjeravanjem. Ugađanje se često pogrešno naziva samoumjeravanjem (engl. <i>self-calibration</i> ) ili ovjeravanjem umjeravanja (engl. <i>verification of calibration</i> ). Događa se da je neke instrumente prije puštanja u pogon potrebno postaviti kako bi se uopće moglo provesti mjerjenje. U tom smislu, uobičajeno se u govoru kaže da se instrument „kalibrira“ (ponekad se čak koristi i riječ „baždari“). Međutim, ovakvo postavljanje instrumenta u rad nije umjeravanje, budući da nema uspostavljanja nikakvog odnosa između vrijednosti veličine s mjernim nesigurnostima. Ponekad se pri takvom postavljanju koriste odgovarajući (certificirani) referentni materijali, ali ni u tom slučaju nije riječ o umjeravanju, nego o nužnom postupku postavljanja instrumenta u rad, da bi se on mogao pripremiti za mjerena koja daju primjerene rezultate.
varijabilnost	Varijabilnost je standardna devijacija razlika između umjerenih vrijednosti AMS uređaja i SRM uređajem izmjerena vrijednosti. Varijabilnost se računa samo za parove vrijednosti izmjerena tijekom paralelnih mjerena, a surogat točke ili druge vrijednosti korištene tijekom određivanja funkcije umjeravanja ne uzimaju se u obzir.

# **PRILOG A**

Izvještaj o mjerenu emisija iz mjernih presjeka prije i nakon postrojenja za odsumporavanje dimnih plinova TE Plomin 2, EKONERG - Laboratorij za mjerene emisije, izvještaj L1-I-02-2218\_28/24, 31. listopad 2024.

**IZVJEŠTAJ O MJERENJU EMISIJA  
IZ MJERNIH PRESJEKA PRIJE I  
NAKON POSTROJENJA ZA  
ODSUMPORAVANJE DIMNIH  
PLINOVA TE PLOMIN 2**



**Zagreb, 2024.**





**EKONERG d.o.o.** ♦ Odjel za mjerjenja i analitiku  
**Laboratorij za mjerjenje emisija, Koranska 5, HR-10000 Zagreb**  
**Tel: +385 (0)1 6000-111; Faks: +385 (0)1 6171-560**



Naručitelj:

**HEP PROIZVODNJA d.o.o.**  
Sektor za termoelektrane  
Pogon TE Plomin  
Plomin luka 50  
52234 Plomin Luka

Ugovor br.:

U2700-43/22

Radni nalog:

I-02-2218\_28/24

Oznaka izvještaja:

L1-I-02-2218\_28/24

Plan mjerena:

L1-I-02-2218\_28/24-P

Naslov:

**IZVJEŠTAJ O MJERENJU EMISIJA IZ MJERNIH PRESJEKA PRIJE I NAKON  
POSTROJENJA ZA ODSUMPORAVANJE DIMNIH PLINOVA TE PLOMIN 2**

Ispitivanja proveli:

Andrej Slavica, mag. ing. mech.  
Borna Glückselig, mag. ing. agr.  
Darko Glückselig, teh.  
Antonije Škvorić, teh.

Izvještaj izradio:

Andrej Slavica, mag. ing. mech.

Voditelj Laboratorija za mjerjenje emisija:

Mato Papić, dipl. ing. univ. spec.

Direktor Odjela za mjerjenje i analitiku:

Bojan Abramović, dipl. ing. stroj.

Direktor:

Elvis Cukon, dipl. ing. stroj., MBA

Zagreb, 31. 10. 2024.





## **SADRŽAJ**

<b>1.</b>	<b>OSNOVNI PODATCI O IZVOĐAČU MJERENJA.....</b>	<b>2</b>
<b>2.</b>	<b>OSNOVNI PODATCI I TEHNIČKE ZNAČAJKE IZVORA ONEČIŠĆENJA .....</b>	<b>2</b>
<b>3.</b>	<b>OPSEG MJERENJA .....</b>	<b>3</b>
<b>4.</b>	<b>PRIMIJENJENE METODE I MJERNI UREĐAJI .....</b>	<b>4</b>
4.1.	MJERENJE SASTAVA PLINOVA.....	4
4.2.	MJERENJE VOLUMNOG UDJELA VODENE PARE .....	5
4.3.	MJERENJE MASENE KONCENTRACIJE KRUTIH ČESTICA.....	6
4.4.	MJERENJE BRZINE PLINOVA .....	6
4.5.	MJERENJE TEMPERATURE PLINOVA .....	6
4.6.	TLAK PLINOVA U ISPUSTU .....	7
4.7.	BAROMETARSKI TLAK I TEMPERATURA OKOLINE .....	7
<b>5.</b>	<b>REŽIMI RADA ZA VRIJEME MJERENJA.....</b>	<b>7</b>
5.1.	MJERNI PRESJEK PRIJE REA.....	8
5.2.	MJERNI PRESJEK NAKON REA .....	9
<b>6.</b>	<b>REZULTATI MJERENJA .....</b>	<b>9</b>
6.1.	MJERNI PRESJEK PRIJE REA.....	9
6.2.	MJERNI PRESJEK NAKON REA .....	11

## **PRILOG**

- B. Plan mjerena.



## 1. OSNOVNI PODATCI O IZVOĐAČU MJERENJA

Mjerjenje emisija u dimovodnim kanalima prije i nakon postrojenja za odsumporavanje dimnih plinova TE Plomin 2 proveo je *Laboratorij za mjerjenje emisija* tvrtke EKONERG d.o.o.

EKONERG d.o.o., *Odjel za mjerjenja i analitiku, Laboratorij za mjerjenje emisija* akreditirani je ispitni laboratorij prema normi HRN EN ISO/IEC 17025:2017 od strane *Hrvatske akreditacijske agencije* u području opisanom u prilogu *Potvrde o akreditaciji br. 1194*. Rješenjem *Ministarstva zaštite okoliša i energetike*<sup>1</sup> od 12. lipnja 2019. godine, EKONERG-u je dozvoljeno obavljanje provjere ispravnosti mjernih sustava za kontinuirano mjerjenje emisija onečišćujućih tvari u zrak iz nepokretnih izvora sukladno zahtjevima norme HRN EN 14181 za 10 referentnih metoda ([mingor.gov.hr](http://mingor.gov.hr)).

## 2. OSNOVNI PODATCI I TEHNIČKE ZNAČAJKE IZVORA ONEČIŠĆENJA

TE Plomin 2 je postrojenje za proizvodnju električne energije koje se sastoji od sljedećih tehnoloških cjelina: glavnog dijela za proizvodnju električne energije (kotao ložen ugljenom prašinom s parnom turbinom, kondenzatorom i električnim generatorom), sustava odvođenja i pročišćavanja otpadnih dimnih plinova (SCR DeNOx uređaj, elektrostatski filter i postrojenje za mokro odsumporavanje), sustava za dobavu, skladištenje i pripremu ugljena, sustava otpreme šljake i pepela, sustava pripreme tehnološke vode s vodozahvatom Bubić jama, postrojenja za obradu otpadnih voda, protočnog rashladnog sustava s morskom vodom i pomoćnog parnog kotla (oznake PK 2) koji kao gorivo koristi plinsko ulje.

Ugljen se u Plominski zaljev doprema brodom, iskrčava pomoću zatvorenog pužnog transportera te otprema transportnim trakama na skladište (deponiju) ugljena ili u bunkere kotla. Iz bunkera se ugljen kontinuirano odvodi na mlinove gdje se melje i suši. Dobivena ugljena prašina se u ložiste kotla uvodi zračnim transportnim sustavom.

Parni kotao TE Plomin 2 (protočni kotao s prisilnom cirkulacijom tipa Sulzer) ima 24 plamenika (izvedba plamenika s niskom emisijom dušikovih oksida - engl. *Low NO<sub>x</sub>*) za izgaranje ugljene prašine raspoređenih u šest ravnina. Para proizvedena u kotlu provodi se do visokotlačnog dijela parne turbine gdje se nakon ekspanzije ponovno zagrijava u kotlu u međupregrijaćima te potom vraća u srednjetlačni dio turbine, a zatim u niskotlačni dio parne turbine. Energija pregrijane i međupregrijane pare pretvara se u parnoj turbini u mehaničku energiju koja služi za pogon generatora i proizvodnju električne energije. Para iz niskotlačnog djela parne turbine kondenzira u kondenzatoru koji je hlađen rashladnom morskom vodom u protočnom rashladnom sustavu.

Izgaranjem ugljena kao nusprodukti nastaju šljaka i pepeo. Šljaka iz vodom hlađenog odšljakivača se transportnim trakama otprema do ukrcaja u kamione. Unutarnji transport pepela obavlja se zračnim koritim i ejektorima, a vanjski kamionima cisternama ili zatvorenim trakama te mokrim deponiranjem. Šljaka i pepeo predaju se na oporabu ili se zbrinjavaju na odlagalištu šljake i pepela. Pročišćavanje dimnih plinova provodi se u sustavu za smanjenje emisija dušikovih oksida (DeNOx uređaj; *high-dust* izvedba) metodom selektivne katalitičke redukcije (engl. *Selective Catalytic Reduction - SCR*), zatim u elektrostatskom filtru gdje se plinovi oslobođaju od nesagorivih sastojaka i pepela, a prije ispuštanja u atmosferu iz dimnih plinova se uklanja veći dio sumporovih oksida u postrojenju za mokro odsumporavanje (njem. *Rauchgasentschwefelungsanlagen* - REA) vodenom

<sup>1</sup> Temeljem članka 34. i članka 35. *Zakona o ustrojstvu i djelokrugu tijela državne uprave* („Narodne novine“, broj 85/20), od 22. srpnja 2020. *Ministarstvo zaštite okoliša i energetike* nastavlja s radom kao *Ministarstvo gospodarstva i održivog razvoja*. Temeljem članka 15. *Zakona o ustrojstvu i djelokrugu tijela državne uprave* („Narodne novine“, broj 57/2024), od 16. svibnja 2024. *Ministarstvo zaštite okoliša i zelene tranzicije* preuzima poslove iz djelokruga dosadašnjeg *Ministarstva gospodarstva i održivog razvoja*.



suspensijom vapnenca. Pročišćeni dimni plinovi ispuštaju se kroz unutarnju šamotnu cijev dimnjaka (visine 340 m) koji je zajednički ispust dimnih plinova elektrane TE Plomin 1 i TE Plomin 2.

Osnovni podatci i tehničke značajke izvora onečišćenja dobiveni su od osoblja postrojenja TE Plomin, odnosno navedeni su prema *Stručnoj podlozi zahtjeva za izmjenu i dopunu uvjeta okolišne dozvole za postojeće postrojenje TE Plomin 2 (rujan 2019.)*.

### 3. OPSEG MJERENJA

Svrha mjerjenja emisija onečišćujućih tvari u zrak je godišnja provjera uređaja automatskih mjernih sustava koji u dimovodnim kanalima prije i nakon postrojenja za odsumporavanje dimnih plinova (AMS prije REA i AMS nakon REA) mjere: masenu koncentraciju krutih čestica,  $NO_x$ ,  $O_2$ ,  $SO_2$ ,  $CO$  i temperaturu plinova. Kontinuirano mjerjenje protoka (brzine) dimnih plinova vrši se samo u mjernom presjeku prije postrojenja za odsumporavanje dimnih plinova (AMS prije REA).

Godišnja provjera AMS uređaja provodi se sukladno normi HRN EN 14181:2014 prema postupku AST (engl. *Annual Surveillance Test*) na temelju usporedbe rezultata paralelnih mjerjenja AMS uređaja i kontrolnih mjerena *Laboratorija za mjerjenje emisija* koja su provedena standardnim referentnim metodama (engl. *Standard Reference Method - SRM*).

Pregled provedenih mjerena *Laboratorija za mjerjenje emisija* u mjernom presjeku prije postrojenja za odsumporavanje dimnih plinova (nadajte: **mjerni presjek prije REA**) dan je u tab. 1. Kod stanja u ispustu mjerena je: temperatura plinova ( $\vartheta$ , °C), tlak plinova ( $p$ , hPa), brzina plinova ( $v$ , m/s), volumni sadržaj vodene pare ( $H_2O$ , %) i masena koncentracija krutih čestica ( $PM$ , mg/m<sup>3</sup>), a u suhim plinovima je mjerena: volumni udio kisika ( $O_2$ , %), volumni udio ugljikovog dioksida ( $CO_2$ , %), volumni udio ugljikovog monoksida ( $CO$ , ppm), volumni udio dušikovih oksida ( $NO_x$ , ppm) i volumni udio sumporovog dioksida ( $SO_2$ , ppm).

Tab. 1: Mjerena u mjernom presjeku prije REA

Oznaka mjerena	Datum i bruto periodi mjerena			Radna snaga generatora	Relativno opterećenje bloka	Stanje okoline	
	datum	od	do			p	θ
				MW	%	hPa	°C
M1	15. 10. 2024.	12:35	13:35	203,5	93,8	1 014	21
M2		13:45	14:45	204,1	94,1	1 013	20
M3		14:52	15:52	204,0	94,0	1 013	20
M4		15:58	16:58	214,3	98,8	1 013	19
M5		17:04	18:04	216,8	99,9	1 013	17

Pregled provedenih mjerena *Laboratorija za mjerjenje emisija* u mjernom presjeku nakon postrojenja za odsumporavanje dimnih plinova (nadajte: **mjerni presjek nakon REA**) dan je u tab. 2. Kod stanja u ispustu mjerena je: temperatura plinova ( $\vartheta$ , °C), tlak plinova ( $p$ , hPa), brzina plinova ( $v$ , m/s), volumni sadržaj vodene pare ( $H_2O$ , %) i masena koncentracija krutih čestica ( $PM$ , mg/m<sup>3</sup>), a u suhim plinovima je mjerena: volumni udio kisika ( $O_2$ , %), volumni udio ugljikovog dioksida ( $CO_2$ , %), volumni udio ugljikovog monoksida ( $CO$ , ppm), volumni udio dušikovih oksida ( $NO_x$ , ppm) i volumni udio sumporovog dioksida ( $SO_2$ , ppm).



Tab. 2: Mjerenja u mjernom presjeku nakon REA

Oznaka mjerjenja	Datum i bruto periodi mjerjenja			Radna snaga generatora	Relativno opterećenje bloka	Stanje okoline	
	datum	od	do			p	°
M1	16. 10. 2024.	10:12	11:19	210,9	97,2	1 016	18
M2		11:24	12:31	209,1	96,3	1 016	19
M3		12:34	13:41	206,6	95,2	1 015	20
M4		13:44	14:51	206,4	95,1	1 015	20
M4		14:54	16:01	204,9	94,4	1 015	20

#### 4. PRIMIJENJENE METODE I MJERNI UREĐAJI

Metode i oprema korištena tijekom mjerjenja emisija onečišćujućih tvari u zrak dani su u tab. 3. Mjerna mjesta, mjerni presjeci i mjerni priključci u kojima su provedena mjerjenja zadovoljavaju zahtjeve norme HRN EN 15259. Izgled mjernih mjesta i priključaka za kontrolna mjerjenja, oblik i dimenzije mjernog presjeka, broj mjernih linija te raspored mjernih točki po mjernoj ravnini ispusta dimnih plinova dan je u **Prilogu B**.

Tab. 3: Metode i glavna oprema korištena pri mjerenu

Mjerena veličina	Metoda uzorkovanja	Metoda mjerjenja	Glavna korištena oprema
$O_2^*$	HRN EN 15259:2008	HRN EN 14789:2017	Grijana glava sa sondom za uzorkovanje i grijano crijevo (lab. oznaka E.U. 29.2), hladnjak M&C PSS-5 (lab. oznake E.U. 29.3 i E.U. 25.3),
$SO_2^*$		HRN ISO 7935:1997	analizator HORIBA PG-350E (lab. oznaka E.U. 29.1),
$CO^*$		HRN EN 15058:2017	analizator HORIBA PG-350EU (lab. oznaka E.U. 31.1).
$CO_2^*$		HRN ISO 12039:2020	
$NO_x^*$		HRN EN 14792:2017	
$H_2O^*$	HRN EN 14790:2017	HRN EN 14790:2017	Sustav za uzorkovanje Paul Gothe (pumpa, grijano crijevo, hladnjak) (lab. oznake od E.U. 20.1 do E.U. 20.5), plinomjer (lab. oznaka E.U. 20.12), NTC temperaturni osjetnici (lab. oznaka E.U. 20.7 i E.U. 20.8), komplet ispiralica za uzorkovanje vlage (lab. oznaka E.U. 20.9), ALMEMO 2590-4S (lab. oznaka E.U. 21.1), precizna vaga (lab. oznaka E.U. 18.1).
krute čestice*	HRN EN 13284-1:2017	HRN EN 13284-1:2017	SICK GRAVIMAT SHC 501 (lab. oznaka E.U. 3.1).
brzina i protok*		HRN EN ISO 16911-1:2013	SICK GRAVIMAT SHC 501 (lab. oznaka E.U. 3.1).
temperatura*		interna metoda eLAB-PE-106	Otporni Pt100 osjetnik u sklopu SICK GRAVIMAT-a SHC 501 (lab. oznaka E.U. 3.1).
temperatura okoline		interna metoda eLAB-PE-106	ALMEMO 2590-4S (lab. oznaka E.U. 21.1) i NTC temperaturni osjetnik (lab. oznaka E.U. 21.7).
tlak			Osjetnici tlaka u sklopu SICK GRAVIMAT-a SHC 501 (lab. oznaka E.U. 3.1).

\* Akreditirane metode Laboratorija za mjerjenje emisija

##### 4.1. MJERENJE SASTAVA PLINOVА

Mjerenje sastava suhih dimnih plinova u presjeku prije REA provedeno je pomoću analizatora HORIBA PG-350EU, a za mjerjenje sastava suhih dimnih plinova u presjeku nakon REA korišten je analizator HORIBA PG-350E.



Analizatori PG-350E (lab. oznaka E.U. 29.1) i PG-350EU (lab. oznaka E.U. 31.1) mjere volumne udjele  $CO$ ,  $CO_2$  i  $SO_2$  metodom nedisperzivne infracrvene apsorpcije. Mjerjenje volumnog udjela  $NO$  i  $NO_x$  provodi se metodom kemijske luminiscencije, a mjerjenje volumnog udjela  $O_2$  paramagnetskom metodom.

Provjera analizatora plinova HORIBA PG-350E i PG-350EU referentnim plinovima vršena je dva puta dnevno, prije i nakon serije mjerena.

Prema rezultatima prethodnih mjerena sastav plinova u mjernom presjeku prije i nakon REA je bio homogen<sup>2</sup> te su sva mjerena volumnog sastava suhih dimnih plinova vršena u jednoj (reprezentativnoj) točki.

Umjesto mjerena koncentracije  $SO_2$  referentnom metodom (metoda određivanja HRN EN 14791:2017; takozvana „mokra“ metoda), volumni udio  $SO_2$  u dimnim plinovima mjernog presjeka prije i nakon REA mjerjen je višekomponentnim analizatorom dimnih plinova metodom nedisperzivne infracrvene apsorpcije (metoda određivanja HRN ISO 7935:1997). Razlog tome je prisutnost slobodnog amonijaka ( $NH_3$ ) u dimnim plinovima nastalog kao nusproizvod katalitičkog postupka smanjenja emisije dušikovih oksida ubrizgavanjem amonijačne vode. Amonijak je lako topiv u vodi te bi kod primjene referentne metode u ispiralicama s vodenom otopinom vodikovog peroksida reagirao sa otopljenim sumpornim dioksidom tvoreći amonijev sulfit  $(NH_4)_2SO_3$  i/ili amonijev bisulfit  $NH_4HSO_3$  koji u otopini disociraju na sulfitne  $SO_3^{2-}$  i/ili bisulfitne  $HSO_3^{1-}$  ione, a ne na očekivane sulfatne  $SO_4^{2-}$  ione.

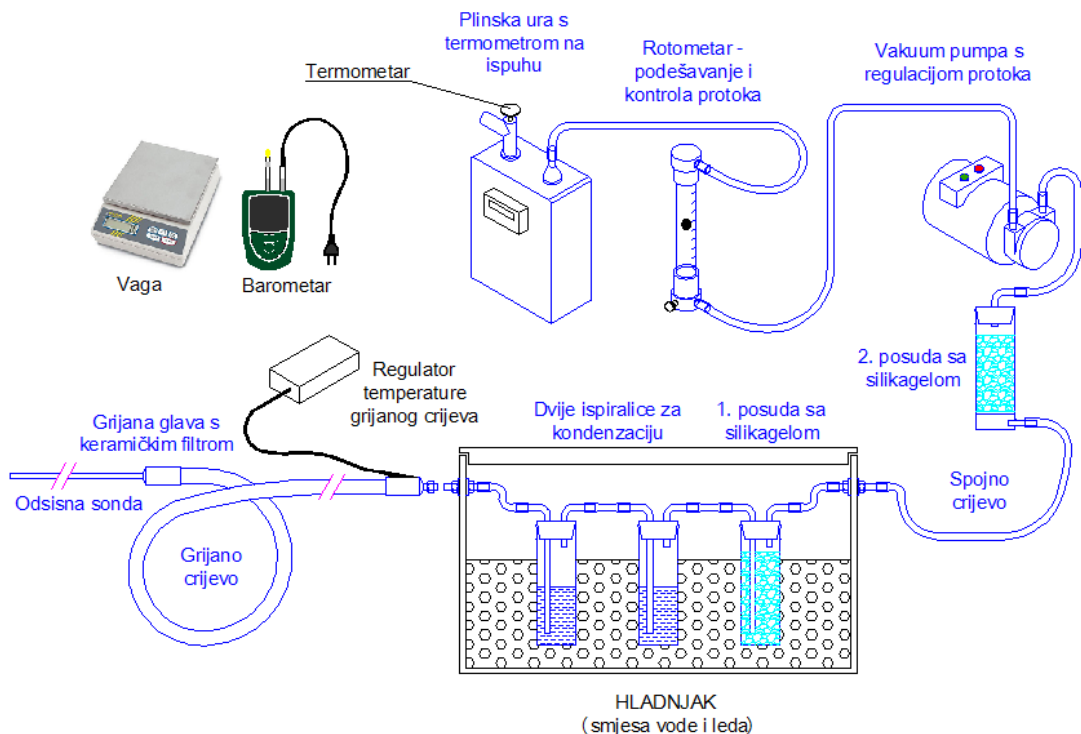
#### 4.2. MJERENJE VOLUMNOG UDJELA VODENE PARE

Mjerena volumnog udjela vodene pare u dimnim plinovima ( $H_2O$ ) provedena su prema normi HRN EN 14790:2017 (prema akreditiranoj internoj metodi eLAB-PE-107 - *Mjerjenje vlage u otpadnom plinu*) opremom proizvođača Paul Gothe shematski prikazanoj na sl. 1.

Volumni udio vodene pare u dimnim plinovima ( $H_2O$ ) izračunat je temeljem izmjerenoj (vaganjem) prirasta mase kondenzata u tri hlađene ispiralice i plinskom urom izmjerenoj protoka suhih dimnih plinova. Temperature dimnih plinova na izlasku iz hladnjaka i plinske ure mjerene su univerzalnim mjernim uređajem AHLBORN ALMEMO 2590-4S (lab. oznaka E.U. 21.1) opremljenim NTC osjetnicima (otporni temperaturni osjetnici s negativnim temperaturnim koeficijentom; lab. oznaka E.U. 20.7 i lab. oznaka E.U. 20.8). Barometarski tlak ( $p_0$ ) je mjerjen uređajem SICK GRAVIMAT SHC 501 (lab. oznaka E.U. 3.1).

Mjerena volumnog udjela vodene pare u mjernom presjeku prije i nakon REA provedena su u reprezentativnoj točki jer je prema rezultatima prethodnih mjerena sastav plinova bio homogen<sup>2</sup>.

<sup>2</sup> Izvještaj *Ispitnog laboratorija*, studeni 2019. godine (L/I-02-2190\_3).



Sl. 1: Shematski prikaz sustava za uzorkovanje  $H_2O$

#### 4.3. MJERENJE MASENE KONCENTRACIJE KRUTIH ČESTICA

Mjerenja masenih koncentracija krutih čestica u 20 točaka poprečnog mjernog presjeka prije i nakon REA provedena su prema normi HRN EN 13284-1:2017 uređajem SICK GRAVIMAT SHC 501 (lab. oznaka E.U. 3.1).

Prije i nakon mjerjenja provedeno je sušenje i vaganje mjernih sisaljki s filtarskim papirom u istim uvjetima (temperatura sušenja  $180^{\circ}\text{C}$ , temperiranje u eksikatoru). Pored sisaljki s filtarskim papirom koje su korištene za mjerjenje, svaki put su sušene i vagane dodatne tri sisaljke s filtarskim papirom koje služe kao etalon za određivanje točnosti postupka sušenja i vaganja.

U sklopu svake serije mjerjenja u ispustima vršene su i tzv. slijepе probe. Slijepa proba se provodi radi procjene sistematske pogreške nastale onečišćenjem uzorka tijekom manipulacije (dva vaganja, transport, umetanje i vađenje sisaljke i filtra).

#### 4.4. MJERENJE BRZINE PLINOVA

Mjerenja brzine plinova u 20 točaka poprečnog mjernog presjeka prije i nakon REA provedena su prema normi HRN EN ISO 16911-1:2013 uređajem SICK GRAVIMAT (lab. oznaka E.U. 3.1) u čijoj sondi je integrirana Pitot sonda sa tri otvora za određivanje brzine strujanja i kuta nastrujavanja.

#### 4.5. MJERENJE TEMPERATURE PLINOVA

Mjerenja temperature plinova u 20 točaka poprečnog mjernog presjeka prije i nakon REA provedena su prema akreditiranoj internoj metodi eLAB-PE-106 *Mjerenje temperature u kanalu otpadnih plinova* otpornim osjetnikom Pt100 koji je sastavni dio uređaja SICK GRAVIMAT SHC 501 (lab. oznaka E.U. 3.1).



#### 4.6. TLAK PLINOVA U ISPUSTU

Tlak plinova ( $p$ , hPa) u mjernom presjeku prije i nakon REA određen je prema sljedećoj jednadžbi:

$$p = (p_{10} + p_0) - \frac{\rho \cdot v^2}{200}, \quad (1)$$

gdje je:

- $v$ , m/s; brzina dimnih plinova u ispustu mjerena SICK GRAVIMAT-om SHC 501,
- $p_{10}$ , hPa; totalni prettlak mjerен SICK GRAVIMAT-om SHC 501,
- $p_0$ , hPa; barometarski tlak mjerен SICK GRAVIMAT-om SHC 501,
- $\rho$ , kg/m<sup>3</sup>; gustoća vlažnih dimnih plinova kod stanja u ispustu. Gustoća je funkcija od sastava vlažnih dimnih plinova te tlaka ( $p$ ) i temperature ( $\vartheta$ ) u ispustu.

Gustoća vlažnih dimnih plinova u oba mjerna presjeka određena je na temelju izmjerениh veličina ( $p_{10}$ ,  $p_0$ ,  $\vartheta$ ) SICK GRAVIMAT-om SHC 501, analizatorom PG-350E ili PG-350EU izmjerenoj volumnog sastava suhih dimnih plinova ( $O_2$ ,  $CO_2$ , ostatak  $N_2$ ) i izmjerenoj volumnog udjela vodene pare u dimnim plinovima ( $H_2O$ ).

#### 4.7. BAROMETARSKI TLAK I TEMPERATURA OKOLINE

Barometarski tlak ( $p_0$ ) je mjerjen uređajem SICK GRAVIMAT SHC 501 (lab. oznaka E.U. 3.1), a temperatura okoline mjerena je NTC osjetnikom (lab. oznaka E.U. 21.7) spojenim na univerzalni mjerni instrument AHLBORN ALMEMO 2590-4S (lab. oznaka E.U. 21.1).

### 5. REŽIMI RADA ZA VRIJEME MJERENJA

Emisijska mjerjenja u oba mjerna presjeka (prije i nakon REA) provedeni su kod uobičajenih pogonskih parametara pri gotovo stacionarnom režimu rada.

Prema dogovoru s rukovodećim osobljem TE Plomin 2, čišćenje ogrjevnih površina kotla (parnim ispuhivačima) i regenerativnog zagrijivača dimnih plinova (njem. *Regenerativer Gasvorwärmer* - REGAVO) je obavljano prije početka provedbe mjerjenja (tijekom noći ili rano ujutro) kako ti postupci ne bi utjecali na rezultate emisijskih mjerjenja.

Gorivo kojim je kotao bio ložen tijekom provedbe paralelnih emisijskih mjerjenja u oba mjerna presjeka je kameni ugljen (engl. *steam coal*). Rezultati analize sastava uzorka dopremljenog ugljena (kompozitni uzorak pripremljen prema ASTM D 2013) dani su u tab. 4.



Tab. 4: Rezultati analize sastava i svojstava kompozitnog uzorka dopremljenog ugljena

Veličina	Mjerna jedinica	Vrijednost		Metoda ispitivanja
		Dostavno stanje	Suho stanje	
Ukupna vлага	%mas	11,89	-	ASTM D 3302
Ukupan ugljik	%mas	62,63	71,08	ASTM D 5373
Vodik	%mas	4,41	5,01	ASTM D 5373
Dušik	%mas	1,45	1,64	ASTM D 5373
Kisik	%mas	13,55	15,39	ASTM D 3176
Pepeo	%mas	5,51	6,25	ASTM D 3174
Sumpor	%mas	0,56	0,63	ASTM D 4239-A
Hlapljive tvari	%mas	37,85	42,96	ASTM D 3175
Gornja ogrjevna vrijednost	MJ/kg	25,95	29,45	ASTM D 5865
Donja ogrjevna vrijednost	MJ/kg	24,71	-	
Emisijski faktor ugljikovog dioksida	t/TJ	92,9 ±2,0		Sukladno direktivi 2003/87/EC

## 5.1. MJERNI PRESJEK PRIJE REA

Mjerena u mjernom presjeku prije REA (M1-M5) provedena su 15. listopada 2024. godine (vidi tab. 1). Glavni parametri koji opisuju režime rada parnog kotla i bloka TE Plomin 2 tijekom provedenih paralelnih emisijskih mjerena dani su u tab. 5, a glavni parametri rada uređaja za pročišćavanje dimnih plinova tijekom mjerena dani su u tab. 6.

Tab. 5: Režimi rada parnog kotla i bloka TE Plomin 2 tijekom provedenih mjerena u presjeku prije REA (15. listopada 2024.)

Oznaka mjerena	Parni kotao			Blok		
	Protok svježe pare	Tlak svježe pare	Temperatura svježe pare	Toplinska snaga goriva	Radna snaga generatora	Relativno opterećenje
	kg/s	bar(g)	°C	MW	MW	%
M1	166,5	146,8	538,5	500,4	203,5	93,8
M2	165,6	146,8	537,6	497,7	204,1	94,1
M3	164,3	146,8	536,3	494,5	204,0	94,0
M4	179,3	147,0	534,2	533,9	214,3	98,8
M5	178,3	147,0	537,3	533,7	216,8	99,9

Tab. 6: Režimi rada uređaja za pročišćavanje dimnih plinova TE Plomin 2 tijekom provedenih mjerena u presjeku prije REA (15. listopada 2024.)

Oznaka mjerena	SCR DeNOx uređaj		Elektrostatski filter	Postrojenje za odsumporavanje dimnih plinova (REA)		
	Protok reagensa	NO <sub>x</sub> prije uređaja		Protok suspenzije vapna	pH vrijednost u apsorberu	Optočne pumpe u radu
	m <sup>3</sup> /h	mg/m <sup>3</sup> <sub>ref</sub>	-	m <sup>3</sup> /h	-	-
M1	0,26	462,0	8	4,54	5,5	1., 2., 3. i 4.
M2	0,26	459,9	8	5,94	5,4	1., 2., 3. i 4.
M3	0,28	485,3	8	5,84	5,5	1., 2., 3. i 4.
M4	0,11	364,0	8	5,37	5,5	1., 2., 3. i 4.
M5	0,08	357,9	8	5,24	5,5	1., 2., 3. i 4.



## 5.2. MJERNI PRESJEK NAKON REA

Mjerenja u mjernom presjeku nakon REA (M1-M5) provedena su 16. listopada 2024. godine (vidi tab. 2). Glavni parametri koji opisuju režime rada parnog kotla i bloka TE Plomin 2 tijekom provedenih paralelnih emisijskih mjerjenja dani su u tab. 7, a glavni parametri rada uređaja za pročišćavanje dimnih plinova tijekom mjerjenja dani su u tab. 8.

Tab. 7: Režimi rada parnog kotla i bloka TE Plomin 2 tijekom provedenih mjerjenja u presjeku nakon REA (16. listopada 2024.)

Oznaka mjerjenja	Parni kotao			Blok		
	Protok svježe pare	Tlak svježe pare	Temperatura svježe pare	Toplinska snaga goriva	Radna snaga generatora	Relativno opterećenje
	kg/s	bar(g)	°C	MW	MW	%
M1	168,6	147,0	540,0	509,8	210,9	97,2
M2	166,7	147,0	539,0	504,6	209,1	96,3
M3	164,9	147,0	538,5	500,1	206,6	95,2
M4	165,6	147,0	538,4	503,1	206,4	95,1
M5	164,1	147,0	538,9	499,9	204,9	94,4

Tab. 8: Režimi rada uređaja za pročišćavanje dimnih plinova TE Plomin 2 tijekom provedenih mjerjenja u presjeku nakon REA (16. listopada 2024.)

Oznaka mjerjenja	SCR DeNOx uređaj		Elektrostatski filter	Postrojenje za odsumporavanje dimnih plinova (REA)		
	Protok reagensa	$NO_x$ prije uređaja		Broj polja filtra u radu	Protok suspenzije vapna	pH vrijednost u apsorberu
	m³/h	mg/m³ <sub>ref</sub>		-	m³/h	-
M1	0,15	389,9	8	3,31	5,7	1., 2., 3. i 4.
M2	0,18	406,8	8	0,01	5,4	1., 2., 3. i 4.
M3	0,19	420,5	8	2,75	5,1	1., 2., 3. i 4.
M4	0,18	413,0	8	3,27	5,1	1., 2., 3. i 4.
M5	0,20	438,5	8	3,25	5,1	1., 2., 3. i 4.

## 6. REZULTATI MJERENJA

### 6.1. MJERNI PRESJEK PRIJE REA

15. listopada 2024. godine u mjernom presjeku prije REA izvršeno je pet mjerjenja (M1-M5): temperature ( $\vartheta$ ), tlaka ( $p$ ), brzine dimnih plinova ( $v$ ), volumnog udjela vodene pare ( $H_2O$ ), masene koncentracije krutih čestica ( $PM$ ) te volumnih udjela  $SO_2$ ,  $CO_2$ ,  $CO$ ,  $NO_x$  i  $O_2$  u suhim dimnim plinovima.

Rezultati mjerjenja veličina u ispustu dani su u tab. 9, a rezultati mjerjenja sastava suhih dimnih plinova dani su u tab. 10. Uz vrijednosti svih izmjerenih veličina iskazana je proširena mjerna nesigurnost (uz razinu pouzdanosti od 95 %).

U tab. 11 su dani rezultati mjerjenja i mjerna nesigurnost rezultata (nivo pouzdanosti 95 %) svedeni na referentne ili tzv. GVE uvjete, odnosno rezultati i mjerna nesigurnost su iskazani za suhe dimne plinove kod normiranog stanja (1013,25 hPa i 0 °C) i 6 % kisika u suhim dimnim plinovima. Svođenje na referentne ili tzv. GVE uvjete vrši se na sljedeći način:

$$C_{\text{ref}} = C_{n,\text{sdp}} \cdot \frac{21 \% - 6 \%}{21 \% - O_2}, \quad (2)$$



$$Q = v \cdot A_{VR}, \quad (3)$$

$$Q_{ref} = Q \cdot \frac{273,15}{\vartheta + 273,15} \cdot \frac{p}{1013,25} \cdot \frac{100 \% - H_2O}{100 \%} \cdot \frac{21 \% - O_2}{21 \% - 6 \%}, \quad (4)$$

$$PM_{ref} = PM \cdot \frac{\vartheta + 273,15}{273,15} \cdot \frac{1013,25}{p} \cdot \frac{100 \%}{100 \% - H_2O} \cdot \frac{21 \% - 6 \%}{21 \% - O_2}, \quad (5)$$

gdje je:

- $C_{n,sdp}$ ; mg/m<sup>3</sup>; izmjerena masena koncentracija emisije ( $SO_2$ ,  $CO$  ili  $NO_x$ ) u suhim dimnim plinovima kod (približno) normiranog stanja (0 °C i 1013,25 hPa),
- $C_{ref}$ ; mg/m<sup>3</sup>; masena koncentracija emisije ( $SO_2$ ,  $CO$  ili  $NO_x$ ) po jedinici volumena suhih dimnih plinova ( $H_2O = 0 \%$ ) kod normiranog stanja (0 °C i 1013,25 hPa) i referentnog volumnog udjela kisika u suhim dimnim plinovima od 6 %,
- $Q$ ; m<sup>3</sup>/s; izmjereni volumni protok vlažnih dimnih plinova ( $H_2O$ ) kod temperature ( $\vartheta$ ), tlaka ( $p$ ) i volumnog udjela kisika ( $O_2$ ) u ispustu,
- $Q_{ref}$ ; m<sup>3</sup>/s; volumni protok suhih dimnih plinova ( $H_2O = 0 \%$ ) kod normiranog stanja (0 °C i 1013,25 hPa) i volumnog udjela kisika u suhim dimnim plinovima od 6 %,
- $PM$ ; mg/m<sup>3</sup>; izmjerena masena koncentracija krutih čestica u vlažnim dimnim plinovima ( $H_2O$ ) kod temperature ( $\vartheta$ ), tlaka ( $p$ ) i volumnog udjela kisika ( $O_2$ ) u ispustu,
- $PM_{ref}$ ; mg/m<sup>3</sup>; masena koncentracija krutih čestica po jedinici volumena suhih dimnih plinova ( $H_2O = 0 \%$ ) kod normiranog stanja (0 °C i 1013,25 hPa) i referentnog volumnog udjela kisika u suhim dimnim plinovima od 6 %,
- $v$ ; m/s; izmjerena brzina dimnih plinova u ispustu,
- $A_{VR}$ ; 16 m<sup>2</sup>; površina poprečnog mjernog presjeka prije REA.

Tab. 9: Rezultati mjerjenja u mjernom presjeku prije REA

Mjerenje	$\vartheta^*$	$p$	$v^*$	$PM^*$	$H_2O^*$
	°C	hPa	m/s	mg/m <sup>3</sup>	%
M1	136 ±1	1 044 ±6	19,0 ±0,2	8,8 ±0,1	9,67 ±0,67
M2	136 ±1	1 044 ±6	19,0 ±0,2	9,5 ±0,1	8,81 ±0,63
M3	137 ±1	1 046 ±6	19,5 ±0,2	11,6 ±0,1	7,93 ±0,60
M4	138 ±1	1 046 ±6	19,6 ±0,2	10,0 ±0,1	8,23 ±0,61
M5	138 ±1	1 046 ±6	19,6 ±0,2	10,2 ±0,1	8,16 ±0,61

\* Akreditirane metode Laboratorija za mjerjenje emisija

Tab. 10: Rezultati mjerjenja sastava suhih dimnih plinova

Mjerenje	$O_2^*$	$CO_2^*$	$CO^*$	$NO_x^* \text{ kao } NO_2$	$SO_2^*$
	%	%	mg/m <sup>3</sup>	mg/m <sup>3</sup>	mg/m <sup>3</sup>
M1	6,54 ±0,64	13,15 ±0,53	10,6 ±1,4	139 ±5	1 553 ±43
M2	6,49 ±0,64	13,16 ±0,53	11,8 ±1,4	135 ±5	1 609 ±44
M3	6,91 ±0,64	12,81 ±0,53	12,8 ±1,4	137 ±5	1 556 ±43
M4	6,22 ±0,64	13,43 ±0,53	15,0 ±1,4	113 ±5	1 560 ±43
M5	6,19 ±0,64	13,39 ±0,53	16,9 ±1,4	130 ±5	1 571 ±43

\* Akreditirane metode Laboratorija za mjerjenje emisija



Tab. 11: Rezultati mjerjenja svedeni na referentne uvjete

Mjerenje	$Q_{ref}$	$PM_{ref}$	$CO_{ref}$	$NO_x\text{ ref}$	$SO_2\text{ ref}$
	$\text{m}^3/\text{s}$	$\text{mg}/\text{m}^3$	$\text{mg}/\text{m}^3$	$\text{mg}/\text{m}^3$	$\text{mg}/\text{m}^3$
M1	182,1 $\pm 9,3$	14,8 $\pm 0,7$	11,0 $\pm 1,5$	144 $\pm 8$	1 610 $\pm 84$
M2	184,2 $\pm 9,4$	15,6 $\pm 0,7$	12,1 $\pm 1,6$	140 $\pm 8$	1 664 $\pm 86$
M3	186,0 $\pm 9,7$	19,4 $\pm 0,9$	13,6 $\pm 1,6$	145 $\pm 8$	1 656 $\pm 88$
M4	194,9 $\pm 9,8$	16,2 $\pm 0,7$	15,2 $\pm 1,6$	115 $\pm 7$	1 584 $\pm 81$
M5	195,4 $\pm 9,8$	16,4 $\pm 0,7$	17,1 $\pm 1,6$	132 $\pm 8$	1 591 $\pm 81$

Slijepa proba za mjerena masene koncentracije krutih čestica M1-M5 u mjernom presjeku prije REA provedena 15. listopada 2024. iznosi  $0,04 \text{ mg}/\text{m}^3$  ( $0,07 \text{ mg}/\text{m}^3$  pri referentnom stanju). Vrijednost slijepje probe zadovoljava uvjete propisane poglavljem 9.7 norme HRN EN 13284-1:2017.

## 6.2. MJERNI PRESJEK NAKON REA

16. listopada 2024. godine u mjernom presjeku nakon REA izvršeno je pet mjerjenja (M1-M5): temperature ( $\vartheta$ ), tlaka ( $p$ ), brzine dimnih plinova ( $v$ ), volumnog udjela vodene pare ( $H_2O$ ), masene koncentracije krutih čestica ( $PM$ ) te volumnih udjela  $SO_2$ ,  $CO_2$ ,  $CO$ ,  $NO$ ,  $NO_x$  i  $O_2$  u suhim dimnim plinovima.

Rezultati mjerjenja veličina u ispustu dani su u tab. 12, a rezultati mjerjenja sastava suhih dimnih plinova dani su u tab. 13. Uz vrijednosti svih izmjerenih veličina iskazana je proširena mjerna nesigurnost (uz razinu pouzdanosti od 95 %).

U tab. 14 su dani rezultati mjerjenja i mjerna nesigurnost rezultata (nivo pouzdanosti 95 %) svedeni na referentne ili tzv. GVE uvjete, odnosno rezultati i mjerna nesigurnost su iskazani za suhe dimne plinove kod normiranog stanja ( $1013,25 \text{ hPa}$  i  $0^\circ\text{C}$ ) i 6 % kisika u suhim dimnim plinovima. Svođenje na referentne ili tzv. GVE uvjete vrši se na sljedeći način:

$$C_{ref} = C_{n,sdp} \cdot \frac{21 \% - 6 \%}{21 \% - O_2}, \quad (6)$$

$$Q = v \cdot A_{NR}, \quad (7)$$

$$Q_{ref} = Q \cdot \frac{273,15}{\vartheta + 273,15} \cdot \frac{p}{1013,25} \cdot \frac{100 \% - H_2O}{100 \%} \cdot \frac{21 \% - O_2}{21 \% - 6 \%}, \quad (8)$$

$$PM_{ref} = PM \cdot \frac{\vartheta + 273,15}{273,15} \cdot \frac{1013,25}{p} \cdot \frac{100 \%}{100 \% - H_2O} \cdot \frac{21 \% - 6 \%}{21 \% - O_2}, \quad (9)$$

gdje je:

$C_{n,sdp}$ ;  $\text{mg}/\text{m}^3$ ; izmjerena masena koncentracija emisije ( $SO_2$ ,  $CO$  ili  $NO_x$ ) u suhim dimnim plinovima kod (približno) normiranog stanja ( $0^\circ\text{C}$  i  $1013,25 \text{ hPa}$ ),

$C_{ref}$ ;  $\text{mg}/\text{m}^3$ ; masena koncentracija emisije ( $SO_2$ ,  $CO$  ili  $NO_x$ ) po jedinici volumena suhih dimnih plinova ( $H_2O = 0 \%$ ) kod normiranog stanja ( $0^\circ\text{C}$  i  $1013,25 \text{ hPa}$ ) i referentnog volumnog udjela kisika u suhim dimnim plinovima od 6 %,

$Q$ ;  $\text{m}^3/\text{s}$ ; izmjereni volumni protok vlažnih dimnih plinova ( $H_2O$ ) kod temperature ( $\vartheta$ ), tlaka ( $p$ ) i volumnog udjela kisika ( $O_2$ ) u ispustu,

$Q_{ref}$ ;  $\text{m}^3/\text{s}$ ; volumni protok suhih dimnih plinova ( $H_2O = 0 \%$ ) kod normiranog stanja ( $0^\circ\text{C}$  i  $1013,25 \text{ hPa}$ ) i volumnog udjela kisika u suhim dimnim plinovima od 6 %,



$PM$ ; mg/m <sup>3</sup> :	izmjerena masena koncentracija krutih čestica u vlažnim dimnim plinovima ( $H_2O$ ) kod temperature ( $t$ ), tlaka ( $\vartheta$ ) i volumnog udjela kisika ( $O_2$ ) u ispustu,
$PM_{ref}$ ; mg/m <sup>3</sup> :	masena koncentracija krutih čestica po jedinici volumena suhih dimnih plinova ( $H_2O = 0\%$ ) kod normiranog stanja (0 °C i 1013,25 hPa) i referentnog volumnog udjela kisika u suhim dimnim plinovima od 6 %,
$v$ ; m/s:	izmjerena brzina dimnih plinova u ispustu,
$A_{NR}$ ; 14 m <sup>2</sup> :	površina poprečnog mjernog presjeka nakon REA.

Tab. 12: Rezultati mjerjenja u mjernom presjeku nakon REA

Mjerenje	$\vartheta^*$	$p$	$v^*$	$PM^*$	$H_2O^*$
	°C	hPa	m/s	mg/m <sup>3</sup>	%
M1	88 ±1	1 022 ±6	19,8 ±0,2	1,4 ±0,1	9,88 ±0,67
M2	89 ±1	1 022 ±6	19,4 ±0,2	1,5 ±0,1	11,27 ±0,72
M3	89 ±1	1 022 ±6	19,8 ±0,2	1,4 ±0,1	10,03 ±0,67
M4	93 ±1	1 021 ±6	20,1 ±0,2	1,5 ±0,1	10,26 ±0,68
M5	94 ±1	1 022 ±6	20,3 ±0,2	1,6 ±0,1	10,40 ±0,68

\* Akreditirane metode Laboratoriј za mjerjenje emisija

Tab. 13: Rezultati mjerjenja sastava suhih dimnih mjernog presjeka nakon REA

Mjerenje	$O_2^*$	$CO_2^*$	$CO^*$	$NO_x^* \text{ kao } NO_2$	$SO_2^*$
	%	%	mg/m <sup>3</sup>	mg/m <sup>3</sup>	mg/m <sup>3</sup>
M1	6,42 ±0,64	13,29 ±0,52	10,2 ±1,3	126 ±4	24 ±3
M2	6,52 ±0,64	13,29 ±0,52	9,0 ±1,3	121 ±4	34 ±3
M3	6,64 ±0,64	13,15 ±0,52	7,9 ±1,2	124 ±4	46 ±3
M4	6,56 ±0,64	13,13 ±0,52	7,3 ±1,2	122 ±4	41 ±3
M5	6,73 ±0,64	12,91 ±0,52	6,9 ±1,2	138 ±5	40 ±3

\* Akreditirane metode Laboratoriј za mjerjenje emisija

Tab. 14: Rezultati mjerjenja svedeni na referentne uvjete

Mjerenje	$Q_{ref}$	$PM_{ref}$	$CO_{ref}$	$NO_x \text{ ref}$	$SO_2 \text{ ref}$
	m <sup>3</sup> /s	mg/m <sup>3</sup>	mg/m <sup>3</sup>	mg/m <sup>3</sup>	mg/m <sup>3</sup>
M1	185,5 ±9,5	2,1 ±0,2	10,5 ±1,4	129 ±7	25 ±3
M2	176,9 ±9,1	2,2 ±0,2	9,4 ±1,4	126 ±7	35 ±4
M3	182,0 ±9,4	2,1 ±0,2	8,2 ±1,4	130 ±7	48 ±4
M4	182,4 ±9,4	2,3 ±0,2	7,6 ±1,3	126 ±7	43 ±4
M5	181,5 ±9,4	2,5 ±0,2	7,3 ±1,3	145 ±8	42 ±4

Slijepa proba za mjerjenja masene koncentracije krutih čestica M1-M5 u mjernom presjeku nakon REA provedena 16. listopada 2024. iznosi 0,06 mg/m<sup>3</sup> (0,09 mg/m<sup>3</sup> pri referentnom stanju). Vrijednost slijepе probe zadovoljava uvjete propisane poglavljem 9.7 norme HRN EN 13284-1:2017.



# PRILOG

## B. Plan mjerenja



**EKONERG**♦Laboratoriј za mjerjenje emisija♦Koranska 5, HR-10000 Zagreb  
Tel: +385 (0)1 6000-111; Faks: +385 (0)1 6171-560



**PLAN MJERENJA EMISIJA IZ MJERNIH PRESJEKA PRIJE I  
NAKON POSTROJENJA ZA ODSUMPORAVANJE DIMNIH  
PLINOVA TE PLOMIN 2**

Oznaka plana mjerenja: L1-I-02-2218\_28/24-P

Zagreb, 8. 10. 2024.



Naručitelj: **HEP PROIZVODNJA d.o.o.**  
**Sektor za termoelektrane**  
**Pogon TE Plomin**  
Plomin luka 50  
52234 Plomin Luka

Radni nalog: I-02-2218\_28

Vlasnik izvora: Hrvatska elektroprivreda d.d.  
Ulica grada Vukovara 37  
10000 Zagreb

Objekt: TE Plomin 2

Lokacija: Plomin luka 50, 52234 Plomin Luka

Vrsta mjerjenja: emisijska

Svrha: Mjerenja emisija onečišćujućih tvari u zrak iz mjernih presjeka prije i nakon postrojenja za odsumporavanje dimnih plinova radi godišnje provjere uređaja za kontinuirano mjerjenje emisija prema normi HRN EN 14181:2014.



## **SADRŽAJ**

<b>1. SVRHA MJERENJA.....</b>	<b>18</b>
1.1. NARUČITELJ.....	18
1.2. ODGOVORNE OSOBE NARUČITELJA / VLASNIKA.....	18
1.3. LOKACIJA MJERENJA .....	19
1.4. MJERENA POSTROJENJA .....	19
1.5. PLANIRANI TERMIN I UVJETI MJERENJA .....	19
1.6. OSOBE KOJE ĆE SUDJELOVAT NA MJERENJU .....	21
<b>2. POSTROJENJE.....</b>	<b>22</b>
2.1. OPIS POSTROJENJA.....	22
2.2. SASTAV GORIVA.....	23
2.3. UREĐAJI ZA ODVOĐENJE I SMANJIVANJE EMISIJE OTPADNIH PLINOVA.....	23
<b>3. MJERNA MJESTA.....</b>	<b>23</b>
3.1. MJERNO MJESTO PRIJE REA.....	24
3.1.1 Mjerni presjek prije REA .....	27
3.2. MJERNO MJESTO NAKON REA .....	27
3.2.1 Mjerni presjek nakon REA .....	30
<b>4. MJERNE METODE I INSTRUMENTI .....</b>	<b>30</b>
4.1. ODREĐIVANJE STANJA OTPADNIH PLINOVA.....	31
4.1.1 Emisija krutih čestica, brzina, tlak i temperatura dimnih plinova .....	31
4.1.2 Vlažnost plinova.....	32
4.2. MJERENJE EMISIJE PLINOVITIH TVARI.....	32



## 1. SVRHA MJERENJA

Svrha mjerjenja emisija onečišćujućih tvari u zrak iz mjernih presjeka prije i nakon postrojenja za odsumporavanje dimnih plinova TE Plomin 2 (mjerni presjeci prije i nakon REA) je godišnja provjera uređaja automatskih mjernih sustava (engl. *Automated Measuring System - AMS*) prema postupku AST (engl. *Annual Surveillance Test*) norme HRN EN 14181:2014. Pregled AMS uređaja dan je u tab. P 1 i tab. P 2.

Tab. P 1: Pregled AMS uređaja TE Plomin 2 - mjerni presjek prije postrojenja za odsumporavanje dimnih plinova (AMS prije REA)

Mjerena veličina	AMS uređaj
Vlažni plinovi (stanje u ispustu)	protok (brzina), $Q$ DURAG D-FL 220 (serijski broj: 1265313) DURAG D-FL 220 (serijski broj: 1291403 <sup>1)</sup>
	temperatura, $\vartheta$ termometar Pt100
	krute čestice, $PM$ DURAG D-R 320 (serijski broj: 1253255)
	vlažnost plinova, $H_2O$ konstanta (8.4 %) u algoritmu emisijskog računala DURAG D-EMS 2000
Suhi plinovi (normirano stanje)	ugljikov monoksid, $CO$
	dušikov monoksid, $NO$
	sumporov dioksid, $SO_2$
	kisik, $O_2$ ekstraktivni višekomponentni analizatorski sustav Siemens ULTRAMAT 23 (serijski broj: N1H9453)

Tab. P 2: Pregled AMS uređaja TE Plomin 2 - mjerni presjek nakon postrojenja za odsumporavanje dimnih plinova (AMS nakon REA)

Mjerena veličina	AMS uređaj
Vlažni plinovi (stanje u ispustu)	temperatura, $\vartheta$ termometar Pt100
	krute čestice, $PM$ DURAG D-R 320 (serijski broj: 1247031)
	vlažnost plinova, $H_2O$ konstanta (10 %) u algoritmu emisijskog računala DURAG D-EMS 2000
Suhi plinovi (normirano stanje)	ugljikov monoksid, $CO$
	dušikov monoksid, $NO$
	sumporov dioksid, $SO_2$
	kisik, $O_2$ ekstraktivni višekomponentni analizatorski sustav Siemens ULTRAMAT 23 (serijski broj: N1K9381)

### 1.1. NARUČITELJ

HEP PROIZVODNJA d.o.o.

Sektor za termoelektrane

Pogon TE Plomin

Plomin luka 50

52234 Plomin Luka

### 1.2. ODGOVORNE OSOBE NARUČITELJA / VLASNIKA

kontakt osoba: Ivana Laković, dipl. ing. kem.

ured: Plomin luka 50, 52234 Plomin Luka

telefon: 052/866167 ili 091/5680378

e-pošta: [ivana.lakovic@hep.hr](mailto:ivana.lakovic@hep.hr)



### 1.3. LOKACIJA MJERENJA

TE Plomin 2, Plomin luka 50, 52234 Plomin Luka.

### 1.4. MJERENA POSTROJENJA

Emisije iz mjernih presjeka prije i nakon postrojenja za odsumporavanje dimnih plinova (mjerni presjeci prije i nakon REA).

### 1.5. PLANIRANI TERMIN I UVJETI MJERENJA

Prema dogovoru s *Naručiteljem* paralelna mjerena iz mjernih presjeka prije i nakon REA provesti će se u periodu od 14. 10. 2024. do 18. 10. 2024. godine.

Prije provedbe godišnje provjere (AST) uređaja automatskih mjernih sustava *Naručitelj* treba uspostaviti nivo osiguranja kvalitete QAL3 (engl. *Quality Assurance Level 3*) kojim dokazuje da održava zahtijevanu kvalitetu mjernih rezultata AMS uređaja. *Naručitelj* mora osigurati provedbu provjere funkcionalnosti svih AMS uređaja prije provođenja godišnje provjere. Tijekom provjere funkcionalnosti potrebno je provesti aktivnosti navedene u tab. P 3.

Tab. P 3: Aktivnosti prilikom ispitivanja funkcionalnosti prije QAL2 ili AST

Aktivnost	Ekstraktivni AMS	Ne-ekstraktivni AMS
1. Centriranost i čistoća		X
2. Sistem za uzorkovanje	X	
3. Dokumentacija i zapisi	X	X
4. Lakoća održavanja	X	X
5. Provjera nepropusnosti	X	
6. Provjera nule i raspona	X	X
7. Linearnost	X	X
8. Interferencije	X	X
9. Klizanje nule i raspona (QAL3)	X	X
10. Vrijeme odziva	X	X
11. Izvještaji	X	X

Koordinaciju između *Izvođača* i ovlaštenog servisera na sebe preuzima *Naručitelj*, a zapise o provedenim radovima dati će na raspolaganje *Izvođaču* mjerena. *Naručitelj* će osigurati i *Izvođaču* dati na raspolaganje podatke o stanju i podešenosti svih mjernih krugova uređaja koji su predmet godišnje provjere (uređaji navedeni u tab. P 1 i tab. P 2).

Paralelna mjerena emisija će se provesti pri zatečenim režimima rada pojedinih podsustava (npr. elektrostatskog filtera i postrojenja za odsumporavanje dimnih plinova) i zatečenom opterećenju koje ovisi o potražnji električne energije, ali prije provođenja svakog pojedinačnog mjerena *Naručitelj* mora osigurati rad izvora onečišćenja s pretežno nepromjenjivim uvjetima rada.

Prilikom planiranja provedbe paralelnih mjerena potrebno je od rukovodećeg osoblja TE Plomin 2 zatražiti da se čišćenje ogrjevnih površina kotla (parnim ispuhivačima) i regenerativnog zagrijivača dimnih plinova (njem. *Regenerativer Gasvorwärmer - REGAVO*) obavi prije ili nakon početka provedbe mjerena (tijekom noći ili rano ujutro) kako ti postupci ne bi utjecali na stacionarnost rada postrojenja.



Za svako provedeno mjerjenje *Naručitelj* će *Izvođaču* predati minutne vrijednosti svih mjerenih veličina u elektroničkoj formi prikladnoj za daljnju obradu u MS Excel-u (npr. txt ili csv). Podatci koje treba dostaviti iz baze podataka emisijskog računala (DURAG D-EMS 2000) za oba automatska mjerna sustava (veličine **AMS prije REA** u emisijskom računalu imaju oznaku **VR**, a veličine **AMS nakon REA** imaju oznaku **NR**) su sljedeći:

1. minutne prosječne vrijednosti analognog signala:

- a) O<sub>2</sub>, mA,
- b) CO, mA,
- c) NO, mA,
- d) SO<sub>2</sub>, mA,
- e) Q, mA (samo **VR**),
- f) PM, mA,
- g) θ, mA.

2. „sirove“ minutne prosječne vrijednosti:

- h) O<sub>2</sub>, %,
- i) CO, mg/m<sup>3</sup>,
- j) NO, mg/m<sup>3</sup>,
- k) SO<sub>2</sub>, mg/m<sup>3</sup>,
- l) Q, m<sup>3</sup>/h (samo **VR**),
- m) PM, mg/m<sup>3</sup>,
- n) H<sub>2</sub>O, % (konstante upisane u algoritam emisijskog računala; izbornik *UDF Momt*),
- o) θ, °C.

3. „normirane“ minutne prosječne vrijednosti:

- p) CO, mg/m<sup>3</sup><sub>ref</sub>,
- q) NO<sub>x</sub>, mg/m<sup>3</sup><sub>ref</sub>,
- r) SO<sub>2</sub>, mg/m<sup>3</sup><sub>ref</sub>,
- s) Q, m<sup>3</sup><sub>ref</sub>/h (samo **VR**),
- t) PM, mg/m<sup>3</sup><sub>ref</sub>.

Također, za svako provedeno mjerjenje *Naručitelj* će *Izvođaču* predati prosječne minutne vrijednosti iz sustava Siemens SPPA-T3000 u elektroničkoj formi prikladnoj za daljnju obradu u Excel-u (npr. txt ili csv). Podaci koje treba dostaviti dani su u tab. P 4.

Pored veličina navedenih u tab. P 4, ručno je potrebno zapisati sljedeće:

- optočne pumpe vavnene suspenzije REA koje su u radu,
- polja elektrostatskog filtra koja su u radu (od ukupno 8 polja).



Tab. P 4: Popis veličina iz procesnog sustava Siemens SPPA-T3000

Naziv zapisa	KKS oznaka	Opis mjerena	Mjerna jedinica
EMI_SNAGA	2 HHY00 CE001  ZQ02	Toplinska snaga	MW
	2 HNA31 CQ004  XQ01	SO2 u DP iza VDP	mg/m <sub>n</sub> <sup>3</sup>
	2 HTA40 CP001  XQ01	Tlak cist pl ispr dimnj	mbar
	2 MKA01 CE006  XQ02	Radna snaga	MW
EMI_KOTAO	2 HNA12 CQ001  XQ01	O2 u dimnom plinu iza LJ1	%
	2 HNA22 CQ001  XQ01	O2 u dimnom plinu iza LJ2	%
	2 HNA31 CQ001  XQ01	O2 u DP iza VDP	%
	2 HNA31 CT901  ZQ01	Temp DP iza VDP	°C
	2 LBA10 CF901  ZQ01	Protok SP na izlazu kotla	kg/s
	2 LBA10 CP901  ZQ01	Tlak SP na izlazu kotla	bar
	2 LBA10 CT001  ZQ01	Temp SP na izlazu kotla	°C
EMI_DENOX	2 HTA40 CQ944  ZQ02	NOx iza REA korigiran	mg/m <sub>n</sub> <sup>3</sup>
	BHSA10CT901  XQ02	Temperatura ulaznog dima 2v3	°C
	BHSA15CQ001  XQ50C	Analizator NOx ulaz	mg/m <sub>n</sub> <sup>3</sup>
	BHSA15CQ004  XQ50C	Analizator NOx izlaz	mg/m <sub>n</sub> <sup>3</sup>
	BHSK25CF001  XQ50	Protok reagensa za injekciju	m <sup>3</sup> /h
EMI_REA	2 HTA20 CT001  XQ01	Temp sir pl iza GAVOa	°C
	2 HTA30 CP001  XQ01	Dif tlak cist pl GAVOa	
	2 HTA30 CT001  XQ01	Temp cist pl ispr GAVOa	°C
	2 HTA40 CQ003  XQ01	O2 u cist pl ispr dimnj	%
	2 HTA40 CT001  XQ02	Temp cist pl ispr dimnj	°C
	2 HTD30 CQ901  ZQ01	Mjer pH vr apsorbera 1,2	pH
	2 HTK20 CF001  XQ01	Protok susp vapn ispr ads	m <sup>3</sup> /h
EMI_ProtokDP <sup>1)</sup>	2 HNA31 CF002  XQ01 OUT	Output Value	m <sup>3</sup> /h
	2 HNA31 CF002  ZQ02	Protok DP iza VDP	m <sup>3</sup> /h

<sup>1)</sup> sekundarni uređaj za mjerjenje protoka (brzine) dimnih plinova

Podatke o donjoj ogrjevnoj vrijednosti i sastavu ugljena kojim je kotao ložen za vrijeme mjerjenja treba prikupiti od *Naručitelja*.

Radi smještaja dijela mjerne opreme, pripreme i obrade rezultata mjerjenja od *Naručitelja* se može zatražiti korištenje dvorane (sale) smještene nasuprot restorana. Eventualno, od *Naručitelja* se može zatražiti i korištenje kemijskog laboratorija (analitička vaga, sušionik i eksikator).

*Naručitelj* će osigurati pristup mjernim priključcima, osigurati izvore električnog napajanja (220 V, 16 A) te osigurati odgovarajuću rasvjetu na lokacijama mjerjenja u slučaju provedbe mjerjenja noću. *Naručitelj* će osigurati uvjete za rad *Izvođaču* i van redovnog radnog vremena.

## 1.6. OSOBE KOJE ĆE SUDJELOVAT NA MJERENJU

Voditelj tima za mjerjenje: Andrej Slavica, mag. ing. mech.  
Borna Glückselig, mag. ing. agr.  
Darko Glückselig, teh.  
Antonije Škvorić, teh.



## 2. POSTROJENJE

### 2.1. OPIS POSTROJENJA

TE Plomin 2 je postrojenje za proizvodnju električne energije koje se sastoji od sljedećih tehnoloških cjelina: glavnog dijela za proizvodnju električne energije (kotao ložen ugljenom prašinom s parnom turbinom, kondenzatorom i električnim generatorom), sustava odvođenja i pročišćavanja otpadnih dimnih plinova (SCR DeNOx uređaj, elektrostatski filter i postrojenje za mokro odsumporavanje), sustava za dobavu, skladištenje i pripremu ugljena, sustava otpreme šljake i pepela, sustava pripreme tehnološke vode s vodozahvatom Bubić jama, postrojenja za obradu otpadnih voda, protočnog rashladnog sustava s morskom vodom i pomoćnog parnog kotla (oznake PK 2) koji kao gorivo koristi plinsko ulje.

Parni kotao TE Plomin 2 (protočni kotao s prisilnom cirkulacijom tipa Sulzer ulazne toplinske snage goriva 544 MW) ima 24 plamenika (izvedba plamenika s niskom emisijom dušikovih oksida - engl. Low NO<sub>x</sub>) za izgaranje ugljene prašine raspoređenih u šest ravnina. Para proizvedena u kotlu provodi se do visokotlačnog dijela parne turbine gdje se nakon ekspanzije ponovno zagrijava u kotlu u međupregrijačima te potom vraća u srednjetlačni dio turbine, a zatim u niskotlačni dio parne turbine. Energija pregrijane i međupregrijane pare pretvara se u parnoj turbini u mehaničku energiju koja služi za pogon generatora i proizvodnju električne energije. Para iz niskotlačnog djela parne turbine kondenzira u kondenzatoru koji je hlađen rashladnom morskom vodom u protočnom rashladnom sustavu. Glavne tehničke značajke bloka TE Plomin 2 dane su u tab. P 5.

Tab. P 5: Tehničke značajke TE Plomin 2

Blok TE Plomin 2	godina puštanja u rad:	1999.
	instalirana električna snaga generatora:	217 MW <sub>e</sub>
	minimalna trajna električna snaga generatora:	126 MW <sub>e</sub>
	snaga vlastitog potroška električne energije <sup>3</sup> :	18,8 MW <sub>e</sub>
Parni kotao	nazivna ulazna toplinska snaga goriva:	544 MW <sub>tg</sub>
	nazivni stupanj djelovanja kotla:	92,9 %
	nazivni tlak svježe pare:	147 bar(g)
	nazivna temperatura svježe pare:	535 °C
	nazivni tlak međupregrijane pare:	38 bar(g)
	nazivna temperatura međupregrijane pare:	535 °C
SCR DeNOx uređaj	broj sekacija katalizatora:	3 po visini (3. sekcija je pričuvna)
	materijali katalitičkog sloja	TiO <sub>2</sub> i V <sub>2</sub> O <sub>5</sub>
	konzentracija NH <sub>3</sub> u reagensu za ubrizgavanje (amonijačna voda):	najviše 24,5 %
	temperatura dimnih plinova na ulazu u uređaj:	320 °C do 400 °C
	najmanja ostvariva koncentracija NO <sub>x</sub> na izlazu iz uređaja:	80 mg/m <sup>3</sup> <sub>ref</sub>
Elektrostatski filter	broj elektrostatskih polja:	8 (4 polja u dvije linije)
	nazivni stupanj otprašivanja dimnih plinova:	99,5 %
REA	reagens za odsumporavanje:	vodena suspenzija vapnenca Ca(OH) <sub>2</sub>
	nazivna potrošnja vapnenca (CaCO <sub>3</sub> ):	4 t/h
	nazivni stupanj odsumporavanja dimnih plinova	97 %
	nazivni stupanj otprašivanja dimnih plinova:	80,5 %
	temperatura dimnih plinova na ulazu u REGAVO:	145 °C do 160 °C
	temperatura dimnih plinova na ulazu u absorber REA:	~ 95 °C
	temperatura dimnih plinova na izlazu iz absorbera REA:	~ 40 °C
	temperatura dimnih plinova na izlazu iz REGAVO:	90 °C

<sup>3</sup> Uz iskrcaj broda za dopremu ugljena.



## 2.2. SASTAV GORIVA

Gorivo kojim je ložen parni kotao TE Plomin 2 je uvozni ugljen koji se u Plominski zaljev doprema brodom. Dopremljeni ugljen se iz luke otprema transportnim trakama na skladište (deponiju) ugljena ili u bunkere kotla. Iz bunkera se ugljen kontinuirano odvodi na mlinove gdje se melje i suši nakon čega se dobivena ugljena prašina uvodi u ložište kotla.

## 2.3. UREĐAJI ZA ODVOĐENJE I SMANJIVANJE EMISIJE OTPADNIH PLINOVA

Pročišćavanje dimnih plinova TE Plomin 2 provodi se u sustavu za smanjenje emisija dušikovih oksida (DeNOx uređaj; *high-dust* izvedba) metodom selektivne katalitičke redukcije (engl. *Selective Catalytic Reduction - SCR*).

Nakon prolaska dimnih plinova kroz SCR DeNOx uređaj, u elektrostatskom filtru se vrši otprašivanje dimnih plinova čime se smanjuje koncentracija krutih čestica (nesagorive tvari i pepeo).

Prije ispuštanja u atmosferu iz dimnih plinova se uklanja veći dio sumporovih oksida u postrojenju za odsumporavanje (njem. *Rauchgasentschwefelungsanlagen* - REA). Neposredno prije absorbera za odsumporavanje dimnih plinova nalazi se regenerativni zagrijivač dimnih plinova (njem. *Regenerativer Gasvorwärmer* - REGAVO).

Sirovi dimni plinovi (nakon prolaska kroz SCR DeNOx uređaj i elektrostatski filter) ulaze u regenerativni izmjenjivač topline pri temperaturi od približno 140 °C gdje predaju dio topline. Ohlađeni sirovi dimni plinovi (temperature približno 95 °C) potom prolaze kroz absorber gdje se vrši odsumporavanje te iz njega izlaze pri temperaturi od približno 40 °C. Pročišćeni dimni plinovi zatim ponovo prolaze kroz regenerativni izmjenjivač topline gdje se zagrijavaju (do temperature od približno 90 °C) nakon čega se ispuštaju kroz dimnjak visine 340 m koji je zajednički isput dimnih plinova elektrane TE Plomin 1 i TE Plomin 2.

## 3. MJERNA MJESTA

Mjerno mjesto prije postrojenja za odsumporavanje dimnih plinova (**mjerno mjesto prije REA** na sl. P 1) smješteno je na segmentu horizontalnog dimovodnog kanala između ventilatora dimnih plinova i regenerativnog zagrijivača dimnih plinova (REGAVO). Mjerni priključci (4 mjerna priključka) pristupačni su s platforme koja je izvedena je na dimovodnom kanalu. Dodatni mjerni priključci (4 mjerna priključka) izvedeni su na bočnoj strani dimovodnog kanala i pristupačni su s natkrivene mjerne platforme (vidi sl. P 1) koja se nalazi između dimovodnih kanala.

Mjerno mjesto nakon postrojenja za odsumporavanje dimnih plinova (**mjerno mjesto nakon REA** na sl. P 1) nalazi se na segmentu horizontalnog dimovodnog kanala između regenerativnog zagrijivača dimnih plinova (REGAVO) i ulaza dimnih plinova u dimnjak visine 320 m. Mjerni priključci (4 mjerna priključka i dodatni središnji priključak) pristupačni su s bočne platforme, a sa suprotne strane dimovodnog kanala izvedeni su dodatni priključci (5 mjernih priključaka) kojima se također pristupa s natkrivene mjerne platforme.



Sl. P 1: Pogleda na mjerno mjesto prije i nakon REA te natkrivenu mjernu platformu između dimovodnih kanala

### 3.1. MJERNO MJESTO PRIJE REA

Platforma mjernog mjeseta prije REA i pristup natkrivenoj mjernoj platformi koja je smještena između dimovodnih kanala prikazani su na sl. P 2.

Mjernoj platformi na dimovodnom kanalu pristupa se putem vertikalnih penjalica. Iznad mjerne platforme nalazi se pomoćna platforma u sklopu koje je postavljen nosač s koloturama. Pomoćna platforma i postavljene kolture služe kako bi se pomoću užeta olakšala manipulacija mjernom sondom (duljine približno 4,5 m).

Na sl. P 3 prikazani su dodatni mjerni priključci koji su postavljeni s bočne strane dimovodnog kanala unutar prostora natkrivene mjerne platforme. Ovi priključci mogu poslužiti za mjerjenje volumnog udjela vlage i volumnog sastava dimnih plinova, ali zbog relativno malog raspoloživog prostora unutar natkrivene mjerne platforme nije moguće vršiti uzorkovanje po svim točkama mjernih osi.

Mjerno mjesto zadovoljava zahtjeve norme HRN EN 15259:2008 i izvedeno je tako da omogućava sigurno i nesmetano mjerjenje (ali samo kod povoljnih vremenskih uvjeta).



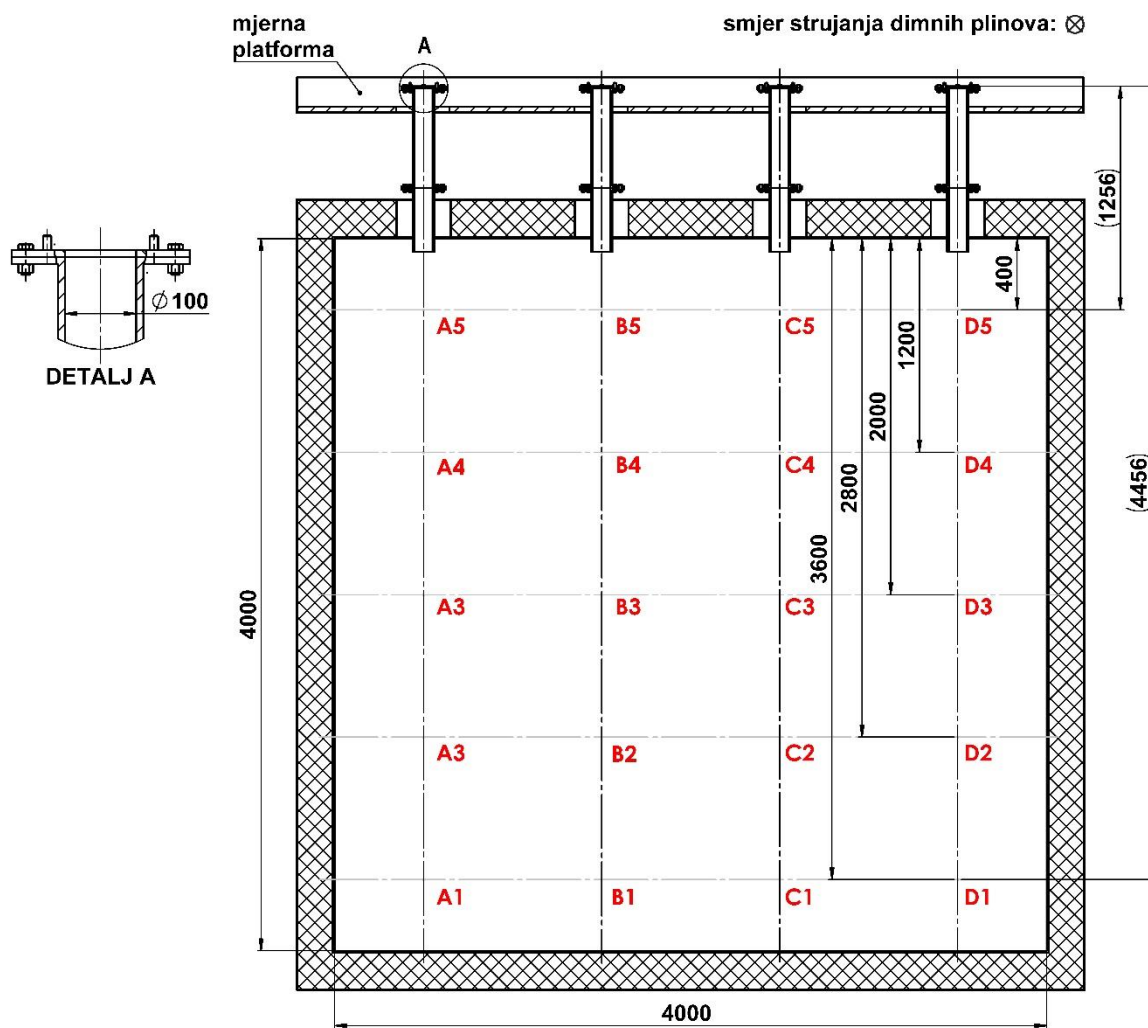
Sl. P 2: Mjerno mjesto prije REA i natkrivena mjerna platforma između dimovodnih kanala



Sl. P 3: Dodatni mjerni priključci mjernog mjesta prije REA

### 3.1.1 Mjerni presjek prije REA

Mjerni presjek prije REA je pravokutnog oblika visine 4 m i širine 4 m. Predloženi raspored mjernih osi i mjernih točaka dan je na sl. P 4.



Sl. P 4: Dimenziije i predloženi raspored mjernih točki po mjernom presjeku prije REA

Homogenost sastava dimnih plinova nije nužno provjeriti jer je tijekom prethodnih mjerjenja utvrđen homogen sastav plinova. Ovo omogućava mjerenje plinovitih tvari u jednoj (reprezentativnoj) točki.

Masenu koncentraciju krutih čestica i brzinu potrebno je mjeriti po presjeku u svim mjernim točkama (20 mjernih točaka).

Kao što se vidi na sl. P 4, mjerni priključci su izvedeni u skladu sa zahtjevima normi HRN EN 15259:2008, HRN ISO 9096:2017 i HRN EN 13284-1:2017.

### 3.2. MJERNO MJESTO NAKON REA

Pogled na platforme mjernog mjesto nakon REA prikazan je na sl. P 5. Glavna mjerna platforma, s koje su pristupačna 4 mjerna priključka (od ukupno 5) izvedena je u sklopu bočne platforme dimovodnog kanala. Na gornju platformu se dolazi putem vertikalnih penjalica, a ona služi kako bi se pristupilo petom mjernom priključku.



Sl. P 5: Mjerno mjesto nakon REA

Na sl. P 6 prikazani su dodatni mjerni priključci koji su postavljeni s bočne strane dimovodnog kanala unutar prostora natkrivene mjerne platforme. Ovi dodatni priključci mogu poslužiti za mjerjenje volumnog udjela vlage i volumnog sastava dimnih plinova, ali također zbog relativno malog raspoloživog prostora unutar natkrivene mjerne platforme nije moguće vršiti uzorkovanje po svim točkama mjernih osi.

Alternativno, za mjerjenje volumnog udjela vlage i volumnog sastava dimnih plinova mogu poslužiti i mjerni priključci starih AMS uređaja (vidi sl. P 5).

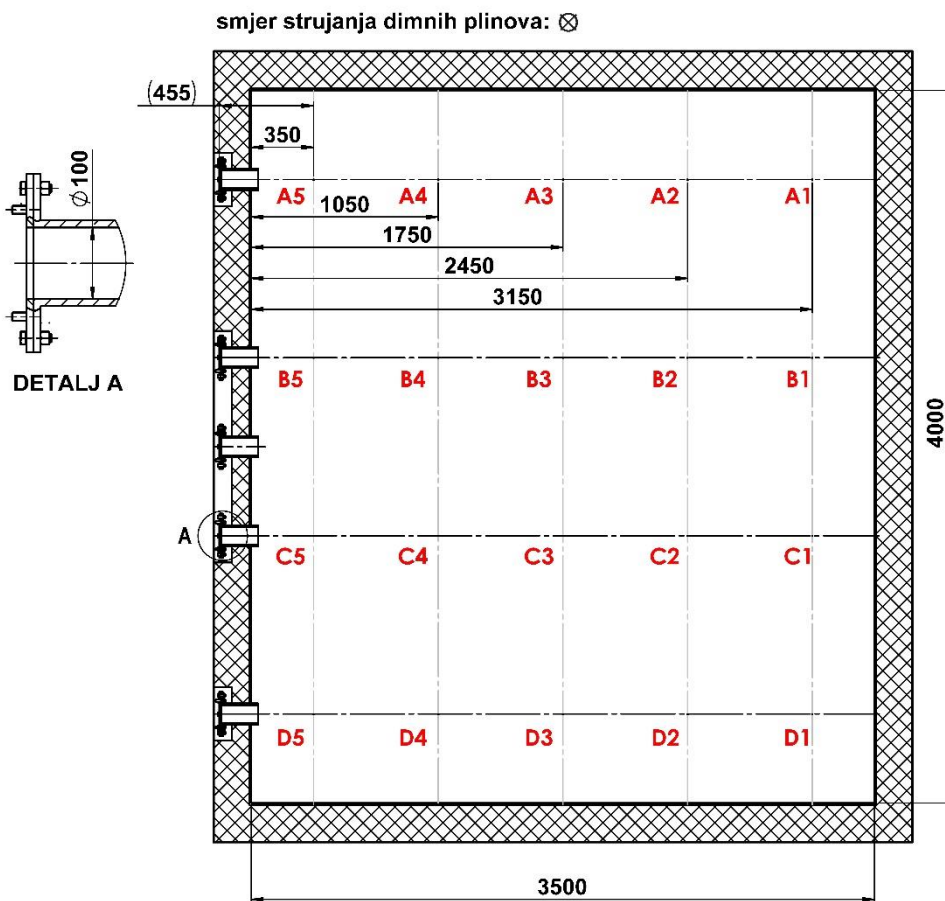
Mjerno mjesto zadovoljava zahtjeve norme HRN EN 15259:2008 i izvedeno je tako da omogućava sigurno i nesmetano mjerjenje (ali samo kod povoljnih vremenskih uvjeta).



Sl. P 6: Dodatni mjerni priključci mjernog mjesto nakon REA

### 3.2.1 Mjerni presjek nakon REA

Mjerni presjek nakon REA je pravokutnog oblika visine 4 m i širine 3,5 m. Predloženi raspored mjernih osi i mjernih točaka dan je na sl. P 7.



Sl. P 7: Dimenzije i predloženi raspored mjernih točki po mjernom presjeku prije REA

Homogenost sastava dimnih plinova nije nužno provjeriti jer je tijekom prethodnih mjerjenja utvrđen homogen sastav plinova. Ovo omogućava mjerjenje plinovitih tvari u jednoj (reprezentativnoj) točki.

Masenu koncentraciju krutih čestica i brzinu potrebno je mjeriti po presjeku u svim mjernim točkama (20 mjernih točaka).

Kao što se vidi na sl. P 7, mjerni priključci su izvedeni u skladu sa zahtjevima normi HRN EN 15259:2008, HRN ISO 9096:2017 i HRN EN 13284-1:2017.

## 4. MJERNE METODE I INSTRUMENTI

Godišnja provjera AMS uređaja pojedinačnog mjernog presjeka (AMS prije REA i AMS nakon REA) provodit će se u trajanju do najviše mjesec dana. Minimalno neto vrijeme svih mjerjenja po jednom ispustu iznosit će 2,5 sati, što je jednako ukupnom trajanju od 5 ispravnih mjerena po 30 minuta tj. minimalnim zahtjevima prema normi HRN EN 14181:2014. U ovisnosti o onečišćujućoj tvari i njenoj koncentraciji, očekivano (bruto) trajanje pojedinog mjerena je 1 h i 10 minuta. Mjerne metode i instrumenti koji će biti korišteni za provedbu kontrolnih mjerena navedene su u tab. P 6.



Tab. P 6: Metode i oprema za mjerjenje

Mjerena veličina	Metoda uzorkovanja	Metoda mjerena	Glavna korištena oprema
$O_2$	HRN EN 15259:2008	HRN EN 14789:2017	Grijana glava sa sondom za uzorkovanje i grijano crijevo (lab. oznaka E.U. 29.2), hladnjak M&C PSS-5 (lab. oznake E.U. 29.3 i E.U. 25.3), analizator HORIBA PG-350E (lab. oznaka E.U. 29.1), analizator HORIBA PG-350EU (lab. oznaka E.U. 31.1).
$SO_2$		HRN ISO 7935:1997	
$CO$		HRN EN 15058:2017	
$CO_2$		HRN ISO 12039:2020	
$NO_x$		HRN EN 14792:2017	
$H_2O$	HRN EN 14790:2017	HRN EN 14790:2017	Sustav za uzorkovanje Paul Gothe (pumpa, grijano crijevo, hladnjak) (lab. oznake od E.U. 20.1 do E.U. 20.5), plinomjer (lab. oznaka E.U. 20.12), NTC temperaturni osjetnici (lab. oznaka E.U. 20.7 i E.U. 20.8), komplet ispiralica za uzorkovanje vlage (lab. oznaka E.U. 20.9), ALMEMO 2590-4S (lab. oznaka E.U. 21.1), precizna vaga (lab. oznaka E.U. 18.1).
krute čestice	HRN EN 13284-1:2017	HRN EN 13284-1:2017	SICK GRAVIMAT SHC 501 (lab. oznaka E.U. 26.1 ili E.U. 3.1).
brzina		HRN EN ISO 16911-1:2013	SICK GRAVIMAT SHC 501 (lab. oznaka E.U. 26.1 ili E.U. 3.1).
temperatura		interna metoda eLAB-PE-106	Pt100 osjetnik u sklopu SICK GRAVIMAT-a SHC 501 (lab. oznaka E.U. 26.1 ili E.U. 3.1), termoelement tipa K u sklopu sonde za uzorkovanje otpadnih plinova (lab. oznaka E.U. 1.3.5) spojen na ALMEMO 2590-4S (lab. oznaka E.U. 21.1).
tlak u ispustu			Osjetnici tlaka u sklopu SICK GRAVIMAT-a SHC 501 (lab. oznaka E.U. 26.1 ili E.U. 3.1).

## 4.1. ODREĐIVANJE STANJA OTPADNIH PLINOVA

### 4.1.1 Emisija krutih čestica, brzina, tlak i temperatura dimnih plinova

Najmanje 5 mjerjenja koncentracije krutih čestica, brzine strujanja dimnih plinova, tlaka i temperature plinova provesti će se istovremeno u 20 točaka mjernog presjeka u neto trajanju od 60 minuta (3 minute po točki) uređajem SICK GRAVIMAT SHC 501 prema radnom postupku *eLAB-PE-105 - Mjerenje emisija krutih čestica GRAVIMAT-om*.

Tlak plinova ( $p$ , hPa) u mjernom presjeku prije i nakon REA biti će određen prema sljedećoj jednadžbi:

$$p = (p_{10} + p_0) - \frac{\rho \cdot v^2}{200}, \quad (10)$$

gdje je:

- $v$ , m/s; brzina dimnih plinova u ispustu mjerena SICK GRAVIMAT-om SHC 501,  
 $p_{10}$ , hPa; totalni prettlak mjerjen SICK GRAVIMAT-om SHC 501,  
 $p_0$ , hPa; barometarski tlak mjerjen SICK GRAVIMAT-om SHC 501,  
 $\rho$ , kg/m<sup>3</sup>; gustoća vlažnih dimnih plinova kod stanja u ispustu. Gustoća je funkcija od sastava vlažnih dimnih plinova te tlaka ( $p$ ) i temperature ( $\vartheta$ ) u ispustu.

Gustoća vlažnih dimnih plinova u oba mjerna presjeka odrediti će se na temelju izmjerениh veličina ( $p_{10}$ ,  $p_0$ ,  $\vartheta$ ) SICK GRAVIMAT-om SHC 501, analizatorom PG-350E ili PG-350EU izmjerenoj



volumnog sastava suhih dimnih plinova ( $O_2$ ,  $CO_2$ , ostatak  $N_2$ ) i izmjerenoj volumnoj udjeli vodene pare u dimnim plinovima ( $H_2O$ ).

Mjerjenje temperature dimnih plinova biti će provedeno otpornim osjetnikom Pt100 koji je sastavni dio uređaja SICK GRAVIMAT SHC 501 ili termoelementom tipa K ugrađenim u sondu za uzorkovanje otpadnih plinova. Mjerena temperatura plinova potrebno je provesti prema akreditiranoj internoj metodi eLAB-PE-106 *Mjerjenje temperature u kanalu otpadnih plinova*.

Provjeru funkcionalnosti sustava SICK GRAVIMAT SHC 501 potrebno je provesti na licu mjesta, prije i poslije svake serije mjerjenja. Nepropusnost sustava za uzorkovanje potrebno je provesti prije svakog pojedinačnog mjerjenja. Slijepu probu potrebno je provesti prije ili poslije svake serije mjerjenja.

#### 4.1.2 Vlažnost plinova

Potrebno je provesti najmanje 5 mjerjenja (paralelno s mjerenjima emisije krutih čestica i sastava suhih dimnih plinova) vlažnosti plinova u ispustima prema radnom postupku: eLAB-PE-107 - *Mjerjenje vlage u otpadnom plinu* (gravimetrijska metoda).

### 4.2. MJERENJE EMISIJE PLINOVITIH TVARI

Potrebno je provesti najmanje 5 mjerjenja  $CO_2$ ,  $O_2$ ,  $CO$ ,  $NO_x$  i  $SO_2$  u neto trajanju od 60 minuta (paralelno s mjerenjima emisije krutih čestica i vlažnosti plinova) prema radnom postupku: eLAB-PE-101 - *Uzorkovanje plinova radi određivanja koncentracije*.

Za provjeru analizatora plinova treba koristiti dušik klase 5,0 (provjera nule) i plinske mješavine koje što bliže odgovaraju sastavu plinova u ispustu (za mjerni presjek prije REA očekivane koncentracije su  $O_2 \cong 6\%$ ,  $CO \cong 10 \text{ mg/m}_n^3$ ,  $SO_2 \cong 1500 \text{ mg/m}_n^3$  i  $NO_x \cong 100 \text{ mg/m}_n^3$ ; za mjerni presjek nakon REA očekivane koncentracije su  $O_2 \cong 6\%$ ,  $CO \cong 10 \text{ mg/m}_n^3$ ,  $SO_2 \cong 50 \text{ mg/m}_n^3$  i  $NO_x \cong 100 \text{ mg/m}_n^3$ . Očekivane koncentracije  $SO_2$  u mjernom presjeku prije REA su iznad mjernog raspona analizatora PG-350E pa je za mjerjenja u tom presjeku potrebno koristiti analizator PG-350EU.

Homogenost sastava dimnih plinova nije nužno provjeriti jer je tijekom prethodnih mjerjenja utvrđen homogen sastav plinova. Ovo omogućava mjerjenje plinovitih tvari u jednoj (reprezentativnoj) točki.

Koncentracija  $SO_2$  u dimnom plinu odrediti će se prema radnom postupku: eLAB-PE-101 - *Uzorkovanje plinova radi određivanja koncentracije (metoda određivanja HRN ISO 7935)*, a ne prema radnom postupku za referentnu metodu određivanja  $SO_x$ : eLAB-PE-102 - *Uzorkovanje sumporovih oksida (tzv. mokra metoda, HRN EN 14791:2005)*. Razlog tome je prisutnost slobodnog amonijaka ( $NH_3$ ) u dimnim plinovima. Amonijak je lako topiv u vodi te u ispiralicama s vodenom otopinom vodikovog peroksida reagira sa sumpornim dioksidom tvoreći amonijev sulfit ( $(NH_4)_2SO_3$ ) i/ili amonijev bisulfit  $NH_4HSO_3$  koji u otopini disociraju na sulfitne  $SO_3^{2-}$  i/ili bisulfitne  $HSO_3^{1-}$  ione, a ne na očekivane sulfatne  $SO_4^{2-}$  ione.

Tehnički odgovorna osoba:

Andrej Slavica, mag. ing. mech.